

16814 <sup>м</sup> МИНИСТЕРСТВО ТРАНСПОРТНОГО СТРОИТЕЛЬСТВА СССР  
ГЛАВНОЕ УПРАВЛЕНИЕ ПРОЕКТИРОВАНИЯ И КАПИТАЛЬНОГО СТРОИТЕЛЬСТВА

ТЕХНИЧЕСКАЯ БИБЛИОТЕКА  
РТФ «Мостострой-10»  
Инв. №

- ФЕВ 2006

БЕЗБАЛЛАСТНОЕ МОСТОВОЕ ПОЛОТНО НА ЖЕЛЕЗО-  
БЕТОННЫХ ПЛИТАХ ДЛЯ МЕТАЛЛИЧЕСКИХ ПРОЛЕТНЫХ  
СТРОЕНИЙ ЖЕЛЕЗНОДОРОЖНЫХ МОСТОВ.

ВЫПУСК 0.

МАТЕРИАЛЫ ДЛЯ ПРОЕКТИРОВАНИЯ.  
ШИФР 897

РАЗРАБОТАНЫ  
ЛЕНГИПРОТРАНСМОСТОМ

ГЛАВНЫЙ ИНЖЕНЕР ИНСТИТУТА

НАЧАЛЬНИК ОТДЕЛА  
ТИПОВОГО ПРОЕКТИРОВАНИЯ

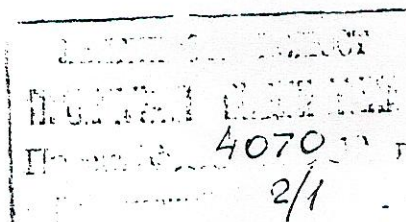
ГЛАВНЫЙ ИНЖЕНЕР ПРОЕКТА

А.К. ВАСИН

С.С. ТКАЧЕНКО

Р.С. КЛЕЙНЕР

УТВЕРЖДЕНЫ УКАЗАНИЕМ  
МПС СССР 18.02.91 Г №А-304У



| Обозначение документа | Наименование                                                                                        | Стр. |
|-----------------------|-----------------------------------------------------------------------------------------------------|------|
| 897.0-00173           | Пояснительная записка                                                                               | 3    |
| 897.0-01              | Плиты из предварительно напряженного железобетона.<br>Номенклатура.                                 | 11   |
| 897.0-02              | Плиты из обычного железобетона с арматурой из стали класса А-III<br>марки 25Г2С.<br>Номенклатура.   | 12   |
| 897.0-03              | Плиты из обычного железобетона с арматурой из стали класса Ас-II<br>марки 10ГТ.<br>Номенклатура.    | 13   |
| 897.0-04              | Расчетный лист.<br>Плиты из предварительно напряженного железобетона.                               | 14   |
| 897.0-05              | Расчетный лист.<br>Плиты из обычного железобетона с арматурой из стали класса А-III<br>марки 25Г2С. | 17   |
| 897.0-06              | Расчетный лист.<br>Плиты из обычного железобетона с арматурой из стали класса Ас-II<br>марки 10ГТ.  | 20   |
| 897.0-07              | Раскладка плит на пролетных строениях с ездой понизу.<br>Панель 5,5 м.                              | 23   |

| Обозначение документа | Наименование                                                                          | Стр. |
|-----------------------|---------------------------------------------------------------------------------------|------|
| 897.0-08              | Раскладка плит на пролетных строениях с ездой понизу.<br>Панель 8,25м.                | 24   |
| 897.0-09              | Раскладка плит на пролетных строениях с ездой понизу.<br>Панель 11,0м.                | 25   |
| 897.0-10              | Раскладка плит на пролетных строениях с ездой поверху (балки со сплошной стенкой).    | 27   |
| 897.0-11              | Раскладка плит на пролетных строениях с ездой поверху.<br>Панель 5,5м.                | 28   |
| 897.0-12              | Узлы опирания плит.<br>Древесно-резиновые опоры.                                      | 29   |
| 897.0-13              | Узлы опирания плит.<br>Опоры из металлических обойм с заполнением монолитным бетоном. | 30   |
| 897.0-14              | Ведомость расхода материалов на мостовое полотно.                                     | 31   |

| Лиц № подп | Подпись и дата | Взаммнв.№ |
|------------|----------------|-----------|
|            |                |           |

Документ № 1  
Номер документа 4070  
Проект № 4070  
2/2

|          |          |      |  |          |
|----------|----------|------|--|----------|
|          |          |      |  | 897.0-00 |
| Нач.гр.  | Коен     | Лицо |  |          |
| Ближ.пр. | Клейнер  | Лицо |  |          |
| Н.контр. | Миронова | Лицо |  |          |
| Нач.отд. | Глоченко | Лицо |  |          |

Проектная документация "Безбалластное мостовое полотно на железобетонных плитах для металлических пролетных строений железнодорожных мостов" разработана в соответствии с координационным планом научно-исследовательских, проектно-конструкторских и опытных работ на 1980-1990 годы по проблеме "Создание надежной и технологичной конструкции безбалластного мостового полотна на железобетонных плитах", на основании задания, утвержденного ЦД МКС 30 июня 1989 г. с учетом изменений и дополнений, изложенных в письме МКС от 01.03.91 в ЦПИ-5/2.

## I. СОСТАВ ДОКУМЕНТАЦИИ

Проектная документация разработана в следующем составе:  
Выпуск 0 - Материалы для проектирования.

Выпуск I-0 - Плиты из обычного и предварительно напряженного железобетона. Технические условия.

Выпуск I-1 - Плиты безбалластного мостового полотна из предварительно напряженного железобетона для умеренных и суровых климатических условий. Рабочие чертежи.

Выпуск I-2 - Плиты безбалластного мостового полотна из обычного железобетона для умеренных и суровых климатических условий. Рабочие чертежи.

Выпуск I-3 - Плиты безбалластного мостового полотна из обычного железобетона для особо суровых климатических условий. Рабочие чертежи.

## 2. ОБЛАСТЬ ПРИМЕНЕНИЯ

2.1. Безбалластное мостовое полотно на железобетонных плитах предназначено для применения на металлических пролетных строениях эксплуатируемых и вновь строящихся железнодорожных мостов в районах с расчетной сейсмичностью не более 6 баллов на прямых участках пути с уклонами 0,004 и менее.

2.2. Применение безбалластного мостового полотна на железобетонных плитах для вновь строящихся железнодорожных мостов предусмотрено для пролетных строений, которые изготавливаются по типовой документации серии 3.501-103 (инв. № 1062), серии 3.501.2-139 и документации инв. № 821ИИ ЛГТМ

2.3. Область применения разработанных в документации конструкций плит безбалластного мостового полотна в зависимости от

\* инвентарные номера документации по кодификации ОРПИ

Мосгипротранса

типа пролетного строения (расстояния между осями главных или продольных балок) и климатических условий района эксплуатации приведена в табл. I и прил. I.

Таблица I

| Тип мостового полотна                                                             | Климатические условия эксплуатации | Расстояние между осями главных (продольных) балок пролетного строения, мм |      |      |      |      |           |
|-----------------------------------------------------------------------------------|------------------------------------|---------------------------------------------------------------------------|------|------|------|------|-----------|
| С плитами из предварительно напряженного железобетона (выпуск I-1)                | умеренные суровые                  | 1800                                                                      | 1900 | 2000 | 2100 | 2200 | —         |
| С плитами из обычного железобетона с арматурой из стали класса А-II (выпуск I-2)  | умеренные суровые                  | 1800                                                                      | 1900 | 2000 | 2100 | 2200 | 2300 2400 |
| С плитами из обычного железобетона с арматурой из стали класса Ас-II (выпуск I-3) | особо суровые                      | 1800                                                                      | 1900 | 2000 | 2100 | 2200 | 2300 —    |

Умеренные климатические условия - районы со средней температурой наружного воздуха наиболее холодного месяца минус 10°C и выше; суровые климатические условия - районы со средней температурой наиболее холодного месяца ниже минус 10°C; особо суровые климатические условия - районы со средней температурой наиболее холодной пятидневки ниже минус 40°C с обеспеченностью 0,92.

## 3. ОСНОВНЫЕ ПОЛОЖЕНИЯ

3.1. В документации разработана конструкция безбалластного мостового полотна на железобетонных плитах (из обычного и предварительно напряженного железобетона) для металлических пролетных строений железнодорожных мостов, в которых расстояние между осями главных (продольных) балок не более 2400мм, без включения мостового полотна в совместную работу с главными (продольными) балками.

3.2. Плиты разработаны их ступеней несущей способности:

- для пролетных строений расстояниями между осями главных (продольных) балок 18; 1900 и 2000мм;

- для пролетных строений расстояниями между осями главных (продольных) балок 21; 2200; 2300 и 2400мм;

(для плит из предварительно напряженного железобетона, соответственно 1800, 1900 и 2000; 2100; 2200мм).

3.3. Габаритные размеры и принят одинаковыми для всего рассматриваемого диапазона пролетных строений и равны:

|              |          |
|--------------|----------|
| Лицензия     | Номер    |
| Гл. инж. пр. | Клейнер  |
| Н. констр.   | Миронова |
| Нач. отд.    | Ткаченко |
| Лицензия     | 2/3      |

- поперек оси пути 3200мм;
- вдоль оси пути 1390; 1490; 1890 и 1990мм.

Толщина плиты в сечении под осью рельса между опорными площадками - 160мм, на опорных площадках - 175мм.

Опалубочные размеры плит унифицированы для плит из обычного и предварительно напряженного железобетона, а также для всех рассматриваемых в документации пролетных строений.

3.4. Временная вертикальная нагрузка С-14, с динамическим коэффициентом  $I+M=I,5$  и коэффициентом надежности по нагрузке  $\gamma_f = 1,3$ .

3.5. Изготовление плит предусматривается из конструкционного тяжелого бетона (средняя плотность от 2200 до 2500 кг/м³), отвечающего по качеству требованиям ГОСТ 26633-85.

Класс бетона по прочности на сжатие принят:

B40 - для плит из обычного железобетона, предназначенных для пролетных строений с расстоянием между осями главных (продольных) балок 1800; 1900 и 2000мм;

B60 - для плит из обычного железобетона, предназначенных для пролетных строений с расстоянием между осями главных (продольных) балок 2100; 2200; 2300 и 2400мм;

B40 - для плит из предварительно напряженного железобетона.

Коэффициент вариации прочности бетона принят 0,09.

Марка бетона по водонепроницаемости не ниже  $V_6$ , по коррозийности - в зависимости от климатических условий района эксплуатации:

F200 - для умеренных климатических условий;

F300 - для суровых и особо суровых климатических условий.

3.6. Для армирования плит из предварительно напряженного железобетона в качестве рабочей применяется высокопрочная проволока периодического профиля по ГОСТ 7348-81 из стали класса

Br и арматура периодического профиля по ГОСТ 5781-82 из стали класса А-II марки Стбсп. Допускается также применение арматуры периодического профиля из стали класса А-II марки Ст5лс.

3.7 Для армирования плит из обычного железобетона в качестве рабочей арматуры применяются стержни периодического профиля по ГОСТ 5781-82 следующих марок сталей:

класса А-II марки 25Г2С - для районов со средней температурой наружного воздуха наиболее холодной пятидневки минус 40°C и выше обеспеченностью 0,92.

класса Ас-II марки 10Г7 - для районов со средней температурой наружного воздуха наиболее холодной пятидневки ниже минус 40°C обеспеченностью 0,92.

897.0-0073

Пояснительная  
записка

Стадия Лист Листов  
Р 1 8

Ленгипротрансмост

Для районов со средней температурой наружного воздуха наиболее холодной пятидневки минус 40°C и выше допускается применение арматуры периодического профиля из стали класса А-П марки Стбсп по ГОСТ 5781-82. В этом случае конструкция арматурного каркаса (количество, расположение и диаметры стержней рабочей арматуры) принимается как для каркаса из арматуры класса Ас-П марки ЙОГТ (выпуск I-3).

3.8. В качестве монтажной арматуры и хомутов применяются гладкие стержни по ГОСТ 5781-82 из стали класса А-1 марки СтЗсп, а для районов со средней температурой наружного воздуха наиболее холодной пятидневки минус 30°C и выше также и из стали марки СтЗсп и СтЭсп.

3.9 Качество и точность изготовления плит должны отвечать требованиям технических условий на изготовление плит безбалластного мостового полотна (выпуск I-0).

3.10. При разработке документации учтены результаты опытного применения безбалластного мостового полотна и результаты экспериментальных и научно-исследовательских работ, изложенные в работах ЦНИИС Минтрансстроя по теме ИС-88-2-75-04 "Технологическая конструкция безбалластного мостового полотна на железобетонных плитах", НИИ мостов МПС (тема № 08.01.45 приказа МПС от 6.11.87 № 2543, шифр 143) "Конструкция безбалластного мостового полотна на железобетонных плитах" и ВНИИМТ МПС по работе шифр 08.01.45.87.88.89 "Конструкция безбалластного мостового полотна на железобетонных плитах".

#### 4. СТАТИЧЕСКИЕ РАСЧЕТЫ

4.1. Постоянная нагрузка на плиту принята в виде равномерно распределенной нагрузки от собственного веса плиты и двухполосной от собственного веса рельсов со скреплениями и контргуолков.

Нагрузка от подвижного состава принята в виде двух полос, расположенных по оси рельсов, интенсивностью 2К на 1пм пути равны 1,5 и коэффициентом (К - класс нагрузки) с динамическим коэффициентом надежности по нагрузке, равным 1,3.

4.2. Величина отрицательного изгибающего момента в сечении над опорой принимается с учетом частичного защемления концов плит за счет прикрепления их высокопрочной шпилькой и принимается равной  $0,2M_0$ , здесь  $M_0$  - величина изгибающего момента по оси пути.

Величина отрицательного изгибающего момента в сечении по оси рельса, с учетом влияния жесткости рельса и контргуолка на усилия в плите в момент схода и в момент вступления нагрузки на плиту, принимается равной  $0,2M_0$ .

4.3. Изгибающий момент в сечении под осью рельса принят равным произведению интенсивности полосовой нагрузки на расстояние между осью рельса и осью балки, без учета распределения ее по

подошве рельса (в запас прочности).

4.4. Несущая способность плит рассчитана по первой группе предельных состояний на прочность и выносливость и по второй группе предельных состояний на трещиностойкость.

4.5. Величина изгибающего момента в сечении плиты под осью рельса, в соответствии с заданием, принимается без учета влияния частичного защемления концов плиты на опоре за счет прикрепления высокопрочной шпилькой.

Результаты расчетов приведены на листах 04, 05, 06.

4.6. Усилия натяжения высокопрочных шпилек, их количество, размеры элементов опирания плит на пояса главных (продольных) балок пролетных строений приняты по конструктивным требованиям.

4.7. Как показал опыт эксплуатации безбалластного мостового полотна на железобетонных плитах и результаты испытаний этих плит, проведенные НИИ мостов (см.отчеты по теме И-16 за 1976-1978 годы), фактическая прочность плит больше, чем усилия от воздействия подвижного состава во время схода его с рельсов. Поэтому специальных расчетов плит на усилия от схода в документации не производилось.

#### 5. КОНСТРУКЦИИ МОСТОВОГО ПОЛОТНА

5.1. Безбалластное мостовое полотно на железобетонных плитах состоит из отдельных плит, опирающихся через специальные конструкции на верхние пояса главных (продольных) балок металлических пролетных строений. Плиты прикрепляются к верхним поясам балок при помощи высокопрочных шпилек. Для шпилек в верхних поясах балок сверлятся отверстия диаметром 24мм. Непосредственно к плитам с помощью стандартных скреплений прикрепляются рельсы и охранные приспособления (контргуолки), расположенные внутри колеи.

5.2. Верхняя поверхность плит выполнена двухскатной с уклонами, направленными попрек оси пути, что улучшает условия отвода воды с поверхности мостового полотна. Для прикрепления плит к верхним поясам балок пролетного строения и элементов рельсового пути к плитам, в их конструкции предусмотрены специальные опорные площадки, гнезда и отверстия для установки крепежных деталей.

5.3. В документации разработаны плиты четырех (см.п.3.3) размеров вдоль оси пути, обеспечивающие устройство мостового полотна (раскладку) на новых и подавляющем большинстве существующих металлических пролетных строений без монолитных вставок.

Швы между плитами назначаются величиной от 5 до 20мм. Пример раскладки плит на одну панель пролетного строения, изготавливаемого по действующей типовой документации, приведен в табл.2

Таблица 2

| Серия типо-вой документации | Положение панели | Длина панели, мм | Размер плиты вдоль оси пути, мм |      |      |      | Суммарная длина плит, мм | Размер шва, мм |  |
|-----------------------------|------------------|------------------|---------------------------------|------|------|------|--------------------------|----------------|--|
|                             |                  |                  | 1390                            | 1490 | 1890 | 1990 |                          |                |  |
|                             | Кол. на пачель   |                  |                                 |      |      |      |                          |                |  |
| 3.501.2-139 вып.0-1         | средняя          | 5500             | -                               | I    | -    | 2    | 5470                     | 10             |  |
|                             | крайняя          | 5895             | -                               | -    | I    | 2    | 5870                     | ~8,5           |  |
|                             | крайняя          | 6295             | 2                               | I    | -    | I    | 6260                     | ~8,8           |  |
| 3.501.2-139 вып.0-3         | средняя          | 8250             | 3                               | -    | -    | 2    | 8150                     | 20             |  |
|                             | крайняя          | 8730             | 2                               | -    | I    | 2    | 8650                     | 16             |  |
| 3.501.2-139 вып.0-2         | средняя          | 11000            | -                               | 2    | -    | 4    | 10940                    | 10             |  |
|                             | средняя          | 10760            | 2                               | -    | I    | 3    | 10640                    | 20             |  |
|                             | крайняя          | 11570            | -                               | -    | 4    | 2    | 11540                    | 10             |  |

Укладка мостового полотна на пролетное строение производится с учетом требований, приведенных в "Инструкции по применению безбалластного мостового полотна на железобетонных плитах на металлических пролетных строениях железнодорожных мостов" НПМС, Москва, Транспорт, 1980.

2 типа

5.4. В документации разработаны конструкции сопряжения плиты с верхними поясами балок:

Тип I - сплошное опирание:

- деревянные доски с резиновой накладкой.

Тип II - на отдельных опорах:

- металлические обоймы, заполненные мелкозернистым бетоном.

5.5. Сопряжение на деревянных досках с резиновой накладкой состоит из сосновой обрезной доски по ГОСТ 24454-80 толщиной не менее 25мм, шириной 250мм и длиной на плиту, т.е. 1390; 1490; 1890 и 1990мм соответственно, к верхней поверхности доски прикрепляется (укладывается) накладка толщиной не менее 5мм из полосовой резины марки ТМК-II по ГОСТ 7338-90. Ширина полосы резины принимается равной ширине доски (250мм). Выравнивание плиты с помощью отдельных деревянных подкладок или пластин толщиной менее 25мм не допускается.

5.5.1. Деревянные доски должны изготавливаться на специализированных участках и после окончания механической обработки пропитываться масляными антисептиками в соответствии с ГОСТ 20022.5-75. Норма поглощения защитных средств должна составлять не менее 79 кг/м<sup>3</sup> изделий.

6.6.1. Для предотвращения коррозии высокопрочных шпилек они должны быть смазаны консервационной смазкой.

6.6.2. При сопряжении плит с балками при помощи металлических обойм, заполняемых монолитным бетоном, на высокопрочные шпильки надеваются резиновые трубы по ГОСТ 5496-78, длина которых назначается равной расстоянию между верхом плиты и верхом пояса балки. Наибольшая длина трубы 230мм. Надеваются трубы до укладки монолитного бетона.

Допускается вместо резиновых трубок применение полиэтиленовой пленки по ГОСТ 25951-83.

6.7. Устройство безбалластного мостового полотна на опорах из деревянных досок с резиновой накладкой осуществляется в следующем порядке:

- после выполнения работ, предусмотренных п.6.3.1, на поверхность пояса наносится слой горячего битума и следом устанавливается опорная часть, затем укладываются плиты (звенья) мостового полотна с соблюдением требований п.6.6 и "Временных правил производства работ по укладке железобетонных плит безбалластного мостового полотна металлических пролетных строений железнодорожных мостов на прокладки из резины и антисептированной древесины" (приложение 2).

6.8. Сопряжение плит мостового полотна с балками пролетного строения с помощью отдельных опор в виде металлических обойм, заполняемых монолитным бетоном, может производиться только после выполнения работ по п.6.3.1.

На верхние пояса балок в соответствии с рабочими чертежами укладываются металлический обоймы (при этом отверстие под высокопрочную шпильку в поясе и планке обоймы должно совпадать), устанавливаются парные деревянные клинья.

Толщина клиньев назначается с учетом их положения по длине панели - на "рыбках" или вне их, и в соответствии с величиной строительного подъема с учетом действительного положения балок, которое определяется нивелировкой после установки пролетного строения в проектное положение.

Клины изготавливаются из сосновых брусьев, отвечающих по качеству требованиям ГОСТ 8486-86. Поперечное сечение брусьев принято равным 120x35мм. Длина клина 500мм. Из одного мерного бруска получают два клина сечением (по торцам) 120x30x120x5мм.

6.8.1. После укладки на верхние пояса балок обойм и парных клиньев производится укладка плит мостового полотна. С помощью подбивки клиньев добиваются плотного опирания плит на все клинья. Клины должны располагаться симметрично и перпендикулярно относительно вертикальной оси балки. Длина взаимного опирания клиньев должна быть не менее 25см. Подъем и опускание плит с помощью клиньев не допускается.

6.8.2. Производится нивелировка положения опорных площадок плит и установка плит в проектное положение с учетом строительного подъема при помощи специального подъемного устройства НИИмостов. В период опирания плит на специальное подъемное устройство производится установка высокопрочных шпилек и вручную навинчиваются гайки до плотного опирания на шайбы. После этого подбиваются нижние части клиньев, установленных вблизи торцов, а затем и в средней части плиты. После установки клиньев в проектное положение производится натяжение шпилек до усилия 80кН (8,0тс) двумя ключами одновременно с обеих сторон от оси пути начиная от середины плиты к противоположным торцам. Необходимо добиваться равномерного натяжения всех шпилек на плите. Пропуск нагрузки при опирании мостового полотна на клинья допускается со скоростью не более 25км/час при нагрузке на ось на более 21т.

6.8.3. Заполнение обойм бетоном производится при температуре наружного воздуха не ниже плюс 10°C. Перед укладкой бетона в обойму высокопрочные шпильки поочередно снимаются (в порядке, обратном их установке), отверстия в поясе балки закрываются деревянными пробками, проверяется положение плиты и обойм и, при необходимости, производятся работы, обеспечивающие их проектное положение. Болты рельсовых скреплений и контргаубок затягиваются на нормативное усилие.

Заполнение обойм производится бетоном класса В30 по прочности на сжатие с помощью специальных приспособлений НИИ мостов (см.приложение 3). Непосредственно после заполнения обоймы бетоном шпилька устанавливается в проектное положение. Перед установкой шпилька должна быть изолирована от соприкосновения со свежеуложенным бетоном, следует также избегать попадания раствора на резьбу шпильки. Шпилька натягивается на 30кН (3тс). После достижения бетоном заполнения обоймы проектной прочности, но не ранее, чем через 7 суток, убираются парные деревянные клинья, и шпильки натягиваются на 200кН (20тс).

Конструкция сопряжения плит с балками при помощи металлических обойм, заполняемых бетоном, приведена на листе I3, технология сооружения - в приложении 3.

6.8.4. В документации предусматривается установка высокопрочной шпильки по оси овального отверстия плиты. В случае необходимости допускается смещение шпильки, при этом смещение опорной части не допускается. Расстояние от оси стенки продольной балки до оси шпильки должно быть не более 75 мм.

## 7. ОХРАНА ТРУДА

7.1. При производстве работ по устройству безбалластного мостового полотна на железобетонных плитах на металлических пролетных строениях железнодорожных мостов необходимо выполнять

требования техники безопасности, изложенные в СНиП III-4-80 "Техника безопасности в строительстве" и "Правилах по охране труда при сооружении мостов", утвержденных Минтранстроем СССР 29.03.90г и Приказом ЦК профсоюза рабочих железнодорожного транспорта 06.04.90г.

7.2. При разработке проекта производства работ по устройству безбалластного мостового полотна должна разрабатываться инструкция по безопасному ведению работ на основании перечисленных в п.7.1 документов с учетом требований настоящей документации и местных условий.

## Пролетные строения с ездой поизу

| Серия<br>или<br>нр. № | Полная<br>длина<br>проецией<br>части<br>$\ell_p$ ,<br>м | Умеренные условия     |                   |                   |                   | Суровые условия     |                     |                     |                     | Особо суровые условия |                    |                    |         |
|-----------------------|---------------------------------------------------------|-----------------------|-------------------|-------------------|-------------------|---------------------|---------------------|---------------------|---------------------|-----------------------|--------------------|--------------------|---------|
|                       |                                                         | Количество плит марки |                   |                   |                   |                     |                     |                     |                     |                       |                    |                    |         |
|                       |                                                         | ПН1-190<br>П1-190     | ПН2-190<br>П2-190 | ПН3-190<br>П3-190 | ПН4-190<br>П4-190 | ПН1-190F<br>П1-190F | ПН2-190F<br>П2-190F | ПН3-190F<br>П3-190F | ПН4-190F<br>П4-190F | П1-190M<br>П2-190M    | П2-190M<br>П3-190M | П3-190M<br>П4-190M | П4-190M |
| серия<br>3.501.2-139  | 33,79                                                   | -                     | 4                 | 2                 | 12                | -                   | 4                   | 2                   | 12                  | -                     | 4                  | 2                  | 12      |
|                       | 34,59                                                   | 4                     | 6                 | -                 | 10                | 4                   | 6                   | -                   | 10                  | 4                     | 6                  | -                  | 10      |
|                       | 44,79                                                   | -                     | 6                 | 2                 | 16                | -                   | 6                   | 2                   | 16                  | -                     | 6                  | 2                  | 16      |
|                       | 45,59                                                   | 4                     | 8                 | -                 | 14                | 4                   | 8                   | -                   | 14                  | 4                     | 8                  | -                  | 14      |
|                       | 55,79                                                   | -                     | 8                 | 2                 | 20                | -                   | 8                   | 2                   | 20                  | -                     | 8                  | 2                  | 20      |
|                       | 66,96                                                   | 22                    | -                 | 2                 | 16                | 22                  | -                   | 2                   | 16                  | 22                    | -                  | 2                  | 16      |
|                       | 77,96                                                   | 22                    | 2                 | 2                 | 20                | 22                  | 2                   | 2                   | 20                  | 22                    | 2                  | 2                  | 20      |
|                       | 88,66                                                   | 4                     | 8                 | 12                | 24                | 4                   | 8                   | 12                  | 24                  | 4                     | 8                  | 12                 | 24      |
|                       | 89,14                                                   | -                     | 12                | 10                | 26                | -                   | 12                  | 10                  | 26                  | -                     | 12                 | 10                 | 26      |
|                       | 110,66                                                  | 4                     | 12                | 12                | 32                | 4                   | 12                  | 12                  | 32                  | 4                     | 12                 | 12                 | 32      |
| Инв.№<br>Б90К/6-7     | 111,14                                                  | -                     | 16                | 10                | 34                | -                   | 16                  | 10                  | 34                  | -                     | 16                 | 10                 | 34      |
|                       | 89,10                                                   | -                     | 12                | 10                | 26                | -                   | 12                  | 10                  | 26                  | -                     | 12                 | 10                 | 26      |
|                       | 111,10                                                  | -                     | 16                | 10                | 34                | -                   | 16                  | 10                  | 34                  | -                     | 16                 | 10                 | 34      |
| Масса плиты, т        |                                                         | 1,8                   | 1,9               | 2,5               | 2,6               | 1,8                 | 1,9                 | 2,5                 | 2,6                 | 1,8                   | 1,9                | 2,5                | 2,6     |

## Пролетные строения с ездой поверху

| Серия<br>или<br>нр. № | Полная<br>длина<br>проецией<br>части<br>$\ell_p$ ,<br>м | Умеренные условия     |                   |                   |                   | Суровые условия     |                     |                     |                     | Особо суровые условия |                    |                    |         |
|-----------------------|---------------------------------------------------------|-----------------------|-------------------|-------------------|-------------------|---------------------|---------------------|---------------------|---------------------|-----------------------|--------------------|--------------------|---------|
|                       |                                                         | Количество плит марки |                   |                   |                   |                     |                     |                     |                     |                       |                    |                    |         |
|                       |                                                         | ПН1-200<br>П1-200     | ПН2-200<br>П2-200 | ПН3-200<br>П3-200 | ПН4-200<br>П4-200 | ПН1-200F<br>П1-200F | ПН2-200F<br>П2-200F | ПН3-200F<br>П3-200F | ПН4-200F<br>П4-200F | П1-200M<br>П2-200M    | П2-200M<br>П3-200M | П3-200M<br>П4-200M | П4-200M |
| Инв.№<br>821-ЦЦ       | 18,8                                                    | 8                     | -                 | 4                 | -                 | 8                   | -                   | 4                   | -                   | 8                     | -                  | 4                  | -       |
|                       | 23,6                                                    | 6                     | -                 | 8                 | -                 | 6                   | -                   | 8                   | -                   | 6                     | -                  | 8                  | -       |
|                       | 27,6                                                    | -                     | 7                 | 9                 | -                 | -                   | 7                   | 9                   | -                   | -                     | 7                  | 9                  | -       |
|                       | 34,2                                                    | -                     | -                 | 18                | -                 | -                   | -                   | 18                  | -                   | -                     | -                  | 18                 | -       |
| Серия<br>3.501-103    | Количество плит марки                                   |                       |                   |                   |                   |                     |                     |                     |                     |                       |                    |                    |         |
|                       |                                                         | ПН1-190<br>П1-190     | ПН2-190<br>П2-190 | ПН3-190<br>П3-190 | ПН4-190<br>П4-190 | ПН1-190F<br>П1-190F | ПН2-190F<br>П2-190F | ПН3-190F<br>П3-190F | ПН4-190F<br>П4-190F | П1-190M<br>П2-190M    | П2-190M<br>П3-190M | П3-190M<br>П4-190M | П4-190M |
|                       | 45,02                                                   | 6                     | 6                 | 2                 | 12                | 6                   | 6                   | 2                   | 12                  | 6                     | 6                  | 2                  | 12      |
|                       | 56,02                                                   | 6                     | 8                 | 2                 | 16                | 6                   | 8                   | 2                   | 16                  | 6                     | 8                  | 2                  | 16      |
|                       | 67,02                                                   | 6                     | 10                | 2                 | 20                | 6                   | 10                  | 2                   | 20                  | 6                     | 10                 | 2                  | 20      |
| Масса плиты, т        |                                                         | 1,8                   | 1,9               | 2,5               | 2,6               | 1,8                 | 1,9                 | 2,5                 | 2,6                 | 1,8                   | 1,9                | 2,5                | 2,6     |

Раскладка плит безбортового мостового  
полотна на пролетных строениях приве-  
дена на листах 07; 08; 09; 10; 11.

Проект № 4070-12  
Вариант 7-2/7

5.5.2. В целях обеспечения плотного прилегания к поверхности пояса балки доски укладываются по слою битумной мастики на основе нефтяных битумов марок ВН-ІУ или ВНІ-ІУ по ГОСТ 5817-77, это предотвратит попадание влаги под доски, что повысит срок их службы.

5.5.3. Сложность изменения толщины (высоты) деревянной подкладки и невозможность укладки ее в местах крепления продольных балок к поперечным ограничивает применение этого типа сопряжения пролетными строениями, имеющими верхнюю поверхность верхнего пояса без ступеней и не требующих устройства строительного подъема.

Конструкция сопряжения приведена на листе I2.

5.6. Способ опирания плит на верхние пояса балок с помощью отдельных опор предусматривает установку четырех или шести опор (в зависимости от размера плиты вдоль оси пути) в местах установки высокопрочных шпилек при креплении плиты к балке.

5.6.1. Опорная часть в виде металлической обоймы, заполненной на монтаже монолитным бетоном, состоит из собственно металлической обоймы, которая выполнена из полосовой стали марки Ст3 по ГОСТ 535-88 и ГОСТ 103-76 толщиной 4мм. По торцевым поверхностям обоймы с помощью клея марок Момент-І или № 88 наклеиваются полоски поролона высотой 15мм, которые обеспечивают плотное прилегание обоймы к поверхности пояса балки и к опорной поверхности плиты. Поролоновые полоски служат также опалубкой для бетона заполнения в местах недостаточной высоты обоймы из условий устройства строительного подъема, неточности изготовления плиты и т.п.

Бетон заполнения обойм по качеству должен отвечать требованиям ГОСТ 26633-85, класс бетона по прочности на сжатие должен быть не менее В30.

Таким образом, разработанная конструкция опоры обеспечивает надежное сопряжение плиты с балкой пролетного строения в заданном поле допусков на изготовление плиты, изготовление и монтаж пролетного строения.

Конструкция мостового полотна приведена на листе I3.

5.7. Конструкция прикрепления плиты к верхнему поясу балок принята одинаковой для всех типов сопряжения плиты с пролетным строением и состоит из следующих элементов: высокопрочной шпильки, резиновой шайбы толщиной не менее 4мм, размеры которой в плане обеспечивают полное перекрытие площади овального отверстия (шайба укладывается на верхнюю поверхность плиты), металлической шайбы, которая укладывается на резиновую

шайбу. Шайба служит опорной поверхностью верхней гайки высокопрочной шпильки. Со стороны полки пояса под нижнюю гайку устанавливается стандартная одновитковая пружинная шайба, предназначенная для предотвращения ослабления натяжения высокопрочной шпильки под действием вибрационной нагрузки подвижного состава.

## 6. ПРОИЗВОДСТВО РАБОТ

6.1. Организация и производство работ по укладке мостового полотна должны осуществляться по специальному проекту, составленному для конкретного объекта с учетом местных условий и требований, изложенных в "Инструкции по применению безбалластного мостового полотна на железобетонных плитах на металлических пролетных строениях железнодорожных мостов" МПС СССР 1980г.

6.2. Допускается устройство мостового полотна на пролетном строении, смонтированном в стороне от оси пути. При этом мостовое полотно должно быть уложено на временные деревянные подкладки.

6.3. Укладка мостового полотна может производиться двумя способами:

- отдельными плитами;
- предварительно собранными звеньями.

6.3.1. Укладка плит на верхние пояса балок производится после очистки верха поясов от грязи, жавчины, остатков старой краски (при ее неудовлетворительном состоянии) и возобновлении окраски, разметки раскладки плит и определении положения отверстий для высокопрочных шпилек в поясах балок пролетного строения, раскладки опорных деревянных подкладок (в соответствии с эпюрай строительного подъема) или деревянных клиньев, в зависимости от принятого типа сопряжения плит с балками пролетного строения. Устанавливаются опорные части.

Производится гидроизоляция верхних поясов поперечных балок, части верхних поясов продольных балок за пределами площади опирания опорных частей, фасонок и элементов связей эпоксидной шпатлевкой с последующим покрытием противошумной мастикой № 579. Технология приготовления мастики приведена в "Инструкции по применению безбалластного мостового полотна..."

6.3.2. Укладка плит мостового полотна производится только после окончания работ по п.6.3.1

6.4. При технологии укладки мостового полотна звеньями сборка их должна производиться, как правило, с укладкой плиты на головки рельсов сборочного пути или стеллажа. При необходимости для этой цели укладываются дополнительные рельсы. Основание монтажной площадки перед сборкой звена должно быть выровнено по уровню.

6.4.1. В соответствии с эпюрай раскладки плит на пролетном строении, плиты укладываются на рельсы сборочного пути (стеллажа) с соблюдением точного расстояния между плитами. После укладки всех плит звена проверяется их общая длина, устанавливаются закладные болты, в целях предохранения попадания влаги в отверстия для закладных болтов они заполняются смазкой ПВК. Устанавливаются элементы прикрепления рельсов к плате и путевые рельсы, в начале шнуровой, а затем второй рельс по шаблону. Концы рельсов выравниваются в точном соответствии с рельсами пути, с которыми будет стыковаться монтируемое звено пути.

6.4.2. Собранные звено пути должно быть прямолинейно и не иметь отступлений по ширине колеи, так как выправка его на мосту затруднена. Выправка пути по ширине колеи и по направлению производится путем подбора рельсовых подкладок, а также сдвигкой отдельных плит относительно друг друга.

6.4.3. После сборки звена с помощью прибора Ц-315 дважды определяется его электрическое сопротивление. Второе измерение производят сразу после первого, переключив проводники с левого рельса на правый и наоборот. Принимается средняя из двух измерений величина электрического сопротивления.

Величина электрического сопротивления должна соответствовать требованиям, приведенным в "Инструкции по применению безбалластного мостового полотна..."

6.4.4. Транспортировка и укладка звеньев мостового полотна должна осуществляться при помощи траверсы. В швы между плитами устанавливаются временные распорки, исключающие возможность перекоса плит в период транспортировки и монтажа звеньев.

Монтаж мостового полотна должен производиться с учетом требований, изложенных в "Правилах и технология сплошной замены мостовых брусьев" ЦП МПС СССР. Транспорт, 1985г.

6.5. Способ укладки безбалластного мостового полотна на железобетонных плитах выбирается при составлении проекта организации строительства в зависимости от местных условий. Укладка мостового полотна производится только после окончания работ, указанных в п.6.3.1.

6.6. Плиты (звенья) укладываются в соответствии с разметкой и прикрепляются высокопрочными шпильками (не менее 2 на плиту), которые натягиваются на усилие не более 5кН (0,5тс) на шпильку. При монтаже отдельными плитами укладываются рельсовые нити, путь выравнивается в плане и профиле, устраняются неплотности опирания плит на деревянные подкладки (клинья). Выравненное мостовое полотно прикрепляется к балкам полным комплектом шпилек. Шпильки затягиваются на 80кН(8тс).

## Приложение 2

Копия

СОГЛАСОВАНО:

Зам.директора  
ВНИИМТп.п. В.Ф.Барабашин  
28 5 1987

УТВЕРЖДАЮ:

Зам.ЦП

п.п. А.Н.Яриз  
22 мая 1987

## ВРЕМЕННЫЕ ПРАВИЛА

производства работ по укладке железобетонных плит безбалластного мостового полотна металлических пролетных строений железнодорожных мостов на прокладки из резины и антисептированной древесины

1. Настоящие правила являются дополнением и развитием действующей "Инструкции по применению безбалластного мостового полотна на железобетонных плитах металлических пролетных строений железнодорожных мостов" (в дальнейшем "Инструкция") в части, касающейся укладки плит на сплошной прокладной слой из антисептированной древесины и резины.

2. Размеры плит, армирование, правила изготовления, приемки, хранения и перевозки определяются Инструкцией.

3. Временные правила устанавливают очередность и порядок выполнения работ при укладке и содержании железобетонных плит безбалластного мостового полотна на прокладной слой из сплошных по длине:

- антисептированных деревянных прокладок толщиной 30 и более 7мм;
- прокладок из резины или резинокорда (например, транспортерной ленты) толщиной не более 10мм; по ГОСТ 20-85, п.п.6 и 8.
- двухслойных прокладок, где верхний слой - резина толщиной 8-10мм, препятствующая проникновению влаги из бетона к дереву, а нижний - антисептированные доски или прессованная фанера.

Все три типа прокладок предназначены для укладки железобетонных плит безбалластного мостового полотна (БМП) на балочные сварные пролетные строения с ездой поверху, а также на сварные продольные балки пролетных строений с ездой понизу и посередине.

Рекомендуется применение прокладок из резины и комбинированых двухслойных из резины и древесины.

4. Все плиты, предназначенные к укладке на одном пролетном строении, должны быть предварительно измерены и рассортированы по толщинам в местах опирания на балки.

5. Сплошные по длине деревянные прокладки толщиной 3-4см заготавливаются заранее из сосновых досок шириной 20-24см (из условия работы дерева на смятие поперек волокон). Гнилой материал использовать запрещается. При необходимости создания строительно-го подъема, а также в местах изменения сечения поясов балок тол-

щина может быть переменной (см.рис.1 и 2).

В качестве резиновых прокладок может быть использована любая масло- и морозостойкая резина, нарезанная полосами шириной 16-20см, а в случае отсутствия таковой - транспортерная лента или рельсовые прокладки марки БШШЦИЗОД65.

6. Для компенсации деформаций обжатия деревянных прокладок после установки, их толщина при заготовке должна быть увеличена из расчета 1мм на каждый сантиметр.

7. Перед укладкой плит мостового полотна пояса обязательно должны быть очищены и прокрашены, а деревянные прокладки антисептированы, что достигается выдерживанием их в течение 48 часов в ванне с антисептиком (каменноугольное масло по ГОСТ 2770-74 или масло сланцевое по ГОСТ 10835-78).

8. В пролетных строениях с ездой понизу или посередине при необходимости укладки плит на поясе балок с расположенным на них головками высокопрочных болтов (например по "рыбкам" с расположением болтов в два или четыре ряда) и расстоянием между ними (или средними рядами) в частоте от 200 до 100мм, в качестве материала прокладок необходимо использовать дерево твердых пород - дуб, граб, ясень и др. В этом случае припуск на толщину не требуется.

9. После раскладки по частям прокладок с просверленными в них заранее отверстиями для пропуска шпилек каждую из них закрепляют временно от сдвига при последующей раскладке плит путем постановки в два отверстия маячных болтов без гаек.

10. Железобетонные плиты раскладывают по пролетному строению с учетом марок, обозначенных в монтажной схеме, с зазорами между ними, также в соответствии с проектом. Затем выверяют положение плит относительно оси пролетного строения и поясов продольных балок, а также визуально - плотность опирания плит на прокладки. При обнаружении зазоров между плитами и прокладками, последние должны быть заменены на более толстые, исключающие неплотное прилегание плит перед затяжкой шпилек.

11. После выверки положения плит через овальные отверстия в них, предназначенные для прикрепления последних к пролетным строениям, извлекают маячные болты и устанавливают шпильки прикрепления.

12. Затяжка шпилек производится в один этап с усилием 100-120 кН (10-12 тс).

13. Учитывая, что при укладке плит на деревянные или резиновые прокладки максимальные усилия в шпильках уменьшены до 120 кН (12тс), их можно изготавливать из круглой стали марки 09Г2 и 09Г2С диаметром 25-28мм. Допускается также использование шпилек из сырой (незакаленной) стали марки 40Х диаметром 22мм.

14. После укладки плит на сплошные деревянные антисептированные прокладки необходимо в течение первой недели ежедневно, а затем в течение первого месяца 1 раз в неделю контролировать величину натяжения шпилек и при их ослаблении ниже 100 кН доводить до 120 кН. После стабилизации величины натяжения усилия в шпильках необходимо проверять не реже одного раза в полгода.

В случае использования прокладок из резины ежедневный контроль максимального натяжения в шпильках в течение первой недели не требуется. Дальнейшие наблюдения проводятся как и при деревянных прокладках.

15. Гидроизоляция стыков между плитами осуществляется в соответствии с "Инструкцией". В случае затруднений с получением указанных там материалов допускается временно использовать для этой цели сухие деревянные рейки, которые забиваются плотно в пазы между плитами и покрываются затем битумом марок 2 или 3; одновременно с этим отверстия для шпилек также заполняются тиколовой мастикой или битумом.

16. Для укладки железобетонных плит безбалластного мостового полотна на сплошные деревянные антисептированные прокладки при замене мостовых брусьев или дефектных плит не требуется специальное согласование Главного управления пути. При этом организация-исполнитель обязана в месячный срок с момента укладки направить в ЦП и ВНИИМТ уведомление, где должны быть указаны следующие сведения:

- Расположение моста (дорога, дистанция, участок, километр);
- Количество пролетных строений, их тип и длина;
- Общее количество уложенных плит;
- Наличие строительного подъема;
- Материал прокладок. Сведения об антисептировании;
- Материал шпилек и установленное усилие натяжения в них;
- Конструкция гидроизоляции швов;
- Интенсивность движения поездов на данном участке;
- Дата укладки плит.

Аналогичные сведения необходимо направить в ЦП и ВНИИМТ при приемке новых мостов.

Зав.отделением  
путевого хозяйства

п.п. Н.Н.Путря

Зав.лабораторией  
искусственных сооружений

п.п. В.Г.Орлов

Младший научный сотрудник

п.п. М.А.Рожественский

Верно:

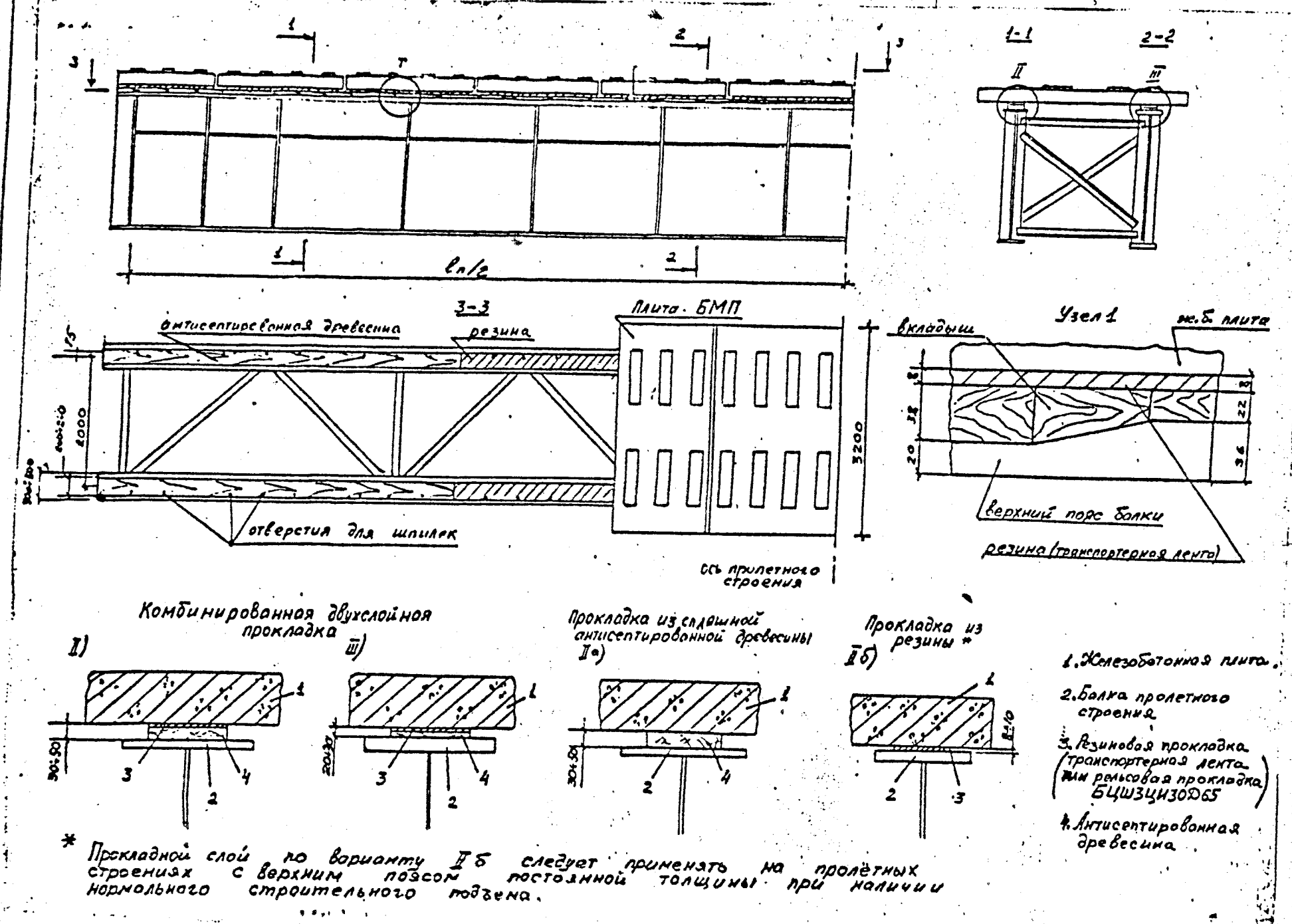


рис. I

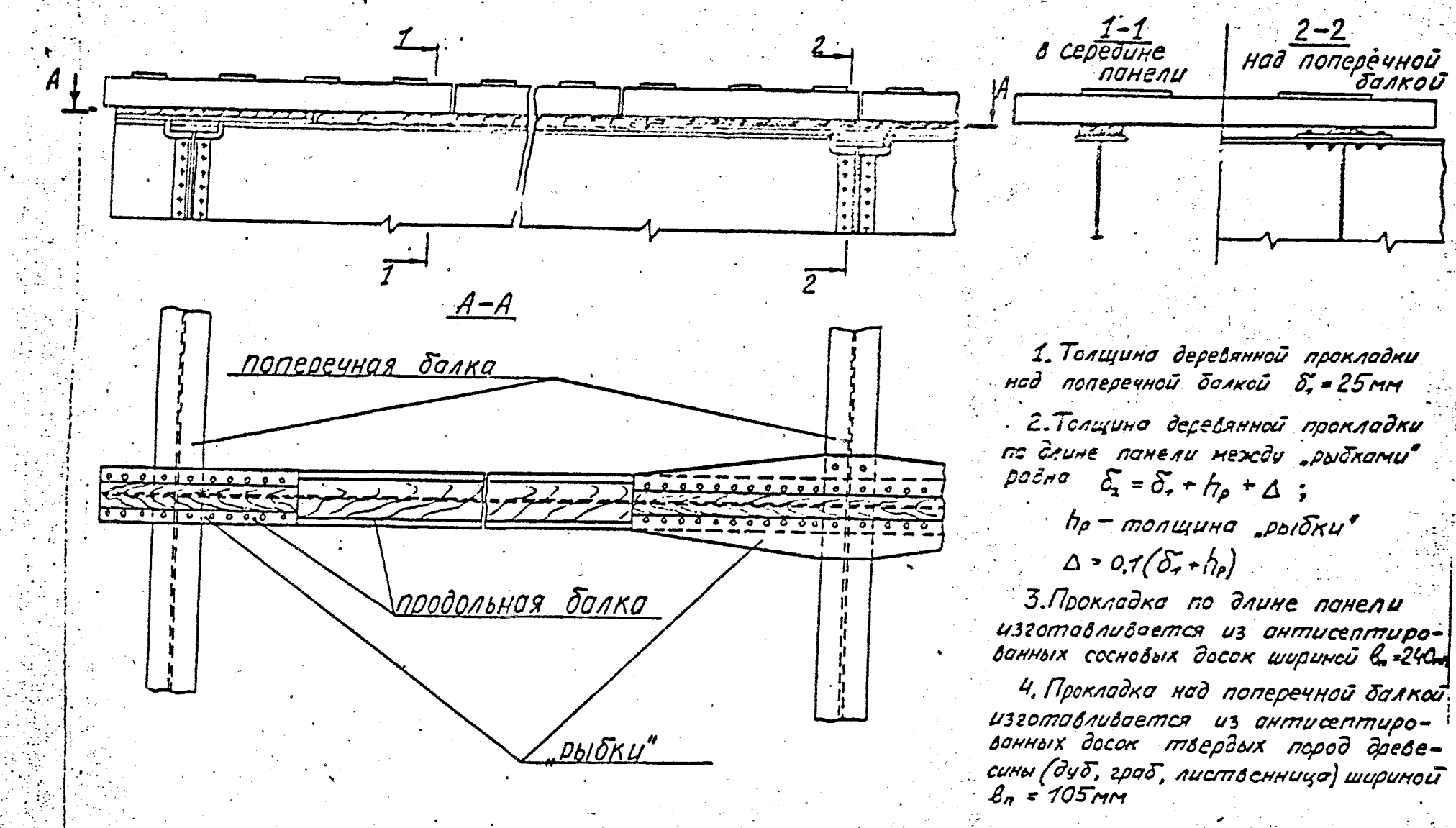


рис. 2

### Приложение 3

УТВЕРДИЛ:  
Директор НИИ мостов  
д.т.н. п.п. А.Г.Дорильницын  
26 марта 1986г.

### ВЫПИСКА ИЗ ВРЕМЕННЫХ УКАЗАНИЙ ПО УКЛАДКЕ БЕЗБАЛЛАСТНЫХ ЖЕЛЕЗОБЕТОННЫХ ПЛИТ МОСТОВОГО ПОЛОТНА НА ДИСКРЕТНЫЕ БЕТОННЫЕ ОПОРЫ В МЕТАЛЛИЧЕСКИХ ОБОЙМАХ И НА СПЛОШНЫЕ ДРЕВЕСИННЫЕ ДОСКИ

#### I. Общие положения

1.1. Прокладной слой в виде дискретных бетонных опор в металлических обоймах используется для укладки железобетонных плит безбалластного мостового полотна взамен сплошного армированного цементно-песчаного прокладного слоя, рекомендуемого "Инструкцией по применению безбалластного мостового полотна на железобетонных плитах на металлических пролетных строениях железнодорожных мостов", 1980г.

1.2. Применение прокладного слоя в виде дискретных бетонных опор в металлических обоймах обеспечивает необходимую прочность

сопряжения плит с балками, позволяет создать равномерное опирание железобетонных плит на пояса балок и установить плиты в проектное положение, обеспечивающее плавный профиль рельсового пути с заданным строительным подъемом. Применение такого прокладного слоя особенно эффективно на скоростных магистралях, где предъявляются повышенные требования к профилю рельсового пути.

2. Общие требования к конструкциям сопряжений плит на дискретных опорах в металлических обоймах и на прокладном слое из сплошных деревянных досок

2.1. Дискретные опоры состоят из металлических обойм, заполненных мелкозернистым бетоном, другими бетонами или растворами, обеспечивающими их удобоукладываемость. Форма опор в плане может быть прямоугольной с закругленными углами по радиусу 30мм.

При проектировании форму и размеры опор в плане следует согласовать с рисунком расположения заклепок или болтов на верхних поясах балок так, чтобы заклепки или болты не попадали под обойму.

Поперечный размер опоры должен быть не менее 200мм из условия размещения шпильки внутри слоя. Пролет в свету между опорами в продольном направлении должен быть не более 50см.

2.3. Прикрепление плит к балкам осуществляется стальными шпильками, пропускаемыми через отверстия в металлических поясах балок.

4. Изготовление дискретных опор в обоймах и рекомендации по правилам укладки на них безбалластных плит

4.1. Высоты дискретных опор определяются графическим или аналитическим способом как разность отметок низа плит, расположенных по проектному очертанию профиля пути, и отметок верхних поясов балок с учетом их прогиба от собственного веса безбалластного мостового полотна.

4.2. Обоймы изготавливаются из стальных полос толщиной не менее 4мм и шириной на 5-10мм меньше вычисленной высоты дискретной опоры. Ширина полос принимается кратной 10мм.

Полосы необходимой длины и ширины заготавливаются резкой полосового по ГОСТ 103-76 или листового по ГОСТ 19903-74 металла ножницами гильотинного типа.

Заготовленная полоса с помощью приспособления в виде диска с рычагом изгибается по форме обоймы, после чего концы полосы свариваются встык. Концы сварных швов зачищаются заподлицо с

торцевыми кромками обоймы. На торцы заготовленных обойм наклеивается kleem Момент-І или № 88 поролоновые полоски сечением 15x15мм и длиной равной контуру обоймы.

Для создания строительного подъема пути на пролетном строении длиной до 60м требуется следующий набор высот обойм: 20, 30, 40, 50 и 60мм. Для удобства монтажа обоймы каждой высоты окрашиваются в свой цвет. Окраску обойм следует производить как снаружи, так и изнутри.

**4.3.** При пропуске нагрузок до набора прочности бетонного заполнения обойм, а также на период временной эксплуатации до укладки бетона в обоймы, проектное положение плит и их плотное опирание на пояса следует осуществлять с помощью парных деревянных клиньев.

**4.4.** Клины рекомендуется изготавливать из сосновых брусков толщиной 35мм, шириной 120мм и длиной 500мм продольным распилом брусков по толщине на клин с уклоном около 1/25, так, чтобы по концам клина были высоты 5 и 25мм, с учетом 5мм на пропил. При другой ширине пропила толщина бруска должна быть соответственно скорректирована. Распил бруска рекомендуется производить на циркульной пиле. Таким образом, из одного бруска получается пара клиньев, обеспечивающих регулировку положения плит по высоте в пределах от 25 до 40мм. Для обеспечения регулировки плит по высотам от 40 до 85мм на верхний клин следует наклеивать дополнительные бруски толщиной 15, 30 или 45мм.

**4.5.** Установка парных клиньев и металлических обойм производится на очищенные и окрашенные пояса балок непосредственно перед укладкой плит. Клины располагаются вблизи каждой подрельсовой площадки. Установка клиньев производится так, чтобы нижний клин, лежащий на металлическом поясе, мог подбиваться с наружной стороны с тротуара пролетного строения.

**4.6.** Приведение плит в проектное положение должно осуществляться с помощью подъемного оборудования. Подъем или опускание плит с помощью парных клиньев не допускается.

Приведенная в проектное положение плита подклинивается следующим образом: в подвешенном состоянии на плитах завинчиваются без усилия гайки шпилек до плотного их опирания на шайбы, после этого подбиваются нижние половины клиньев, установленных под концами плиты, а затем - клины под средней частью плиты.

После подбивки клиньев, установленных под концами плиты, грузоподъемное устройство, удерживающее плиту, майнется.

Клины подбиваются через деревянную прокладку (кусок доски) с помощью молотка или средней кувалды массой 3-4кг. При подбивке нужно следить, чтобы нижняя половина клина не перекашивалась относительно верхней половины и чтобы весь клин по возможности располагался перпендикулярно к оси балки. Длина опирания нижней и верхней половин клиньев друг на друга должна быть не менее 25см. Клины должны располагаться симметрично относительно оси пояса балки. Подбивка каждого клина производится до плотного прижатия верхней его половины к плите. После плотной подбивки клиньев производится затяжка шпилек до усилия 80кН. Затяжку шпилек следует проводить двумя ключами одновременно по обеим сторонам плиты, начиная от середины и далее по диагоналям, подобно затяжке болтов головки блока цилиндров автомобиля. Необходимо добиться равномерной затяжки всех шпилек на плите, применяя при необходимости их повторную подтяжку.

Если монтаж безбалластного мостового полотна осуществляется без пропуска нагрузки, то плиты могут фиксироваться в проектном положении с помощью монтажных винтов, установленных по концам плит. При этом до набора прочности бетоном шпильки допускается не затягивать.

**4.7.** Для заполнения обойм применяется мелкозернистый бетон состава I:3. Приготавливается такой бетон из свежего портландцемента марки 600, крупнозернистого песка, при водоцементном отношении 0,65, с пластифицирующей добавкой СДБ и водорастворимой смолой № 89 в количестве 0,5-1% на сухое вещество от количества цемента.

Укладку бетона следует проводить с помощью ручных сверлильных машинок типов ИЭ-1013, Э-1022А или ИЭ-1035У2 для сверла до 15мм с частотой вращения до 700 об/мин и мощностью 420вт со специально оборудованной мешалкой. Мешалка изготавливается из стального прутка диаметром 10-12мм, длиной около 500мм. К одному концу прутка, вставляемого во внутренний конус шпинделя, приваривается конус сверла. Второй конец расплющивается на длине 50мм и загибается под прямым углом. Отогнутый конец в плоскости вращения изгибается по ходу вращения мешалки.

Бетон в обойму следует подавать небольшими порциями при непрерывно работающей мешалке. При невыполнении этого условия качество заполнения обоймы не обеспечивается.

Проверка заполнения обоймы бетоном в процессе укладки проводится по намоканию поролонового уплотнителя и с помощью щупа.

Перед укладкой бетона отверстие под шпильку в поясе закрывается деревянной пробкой.

Перед установкой шпильки через уложенный бетон она обрабатывается полиэтиленовой пленкой.

**4.8.** Укладку бетона в обоймы следует проводить в теплое время года с постоянной положительной температурой более +10°C.

Перед укладкой бетона следует проверить проектное положение плит и обойм и обеспечить затяжку болтов контрголоков и рельсовых скреплений нормируемыми крутящими моментами.

Непосредственно перед укладкой бетона и в процессе твердения в первые трое суток на всем пролетном строении затяжка шпилек должна быть уменьшена до 30кН. Скорость движения поездов в этот период должна быть ограничена до 25км/час.

**4.14.** Тело шпилек должно быть окрашено дважды, а резьба - смазана смазкой типа "литол" или "нигрол".

**4.15.** В процессе эксплуатации следует в каждый осенний и весенний осмотры проводить проверку натяжения шпилек и при необходимости их подтяжку.

**4.16.** Возможные неровности в профиле рельсового пути должны выправляться с помощью специально изготовленных металлических карточек необходимой толщины, укладывающихся под рельсовую подкладку.

Зав.отделом испытания  
мостов и конструкций

п.п.

В.Н.Савельев

Старший научный сотрудник п.п.

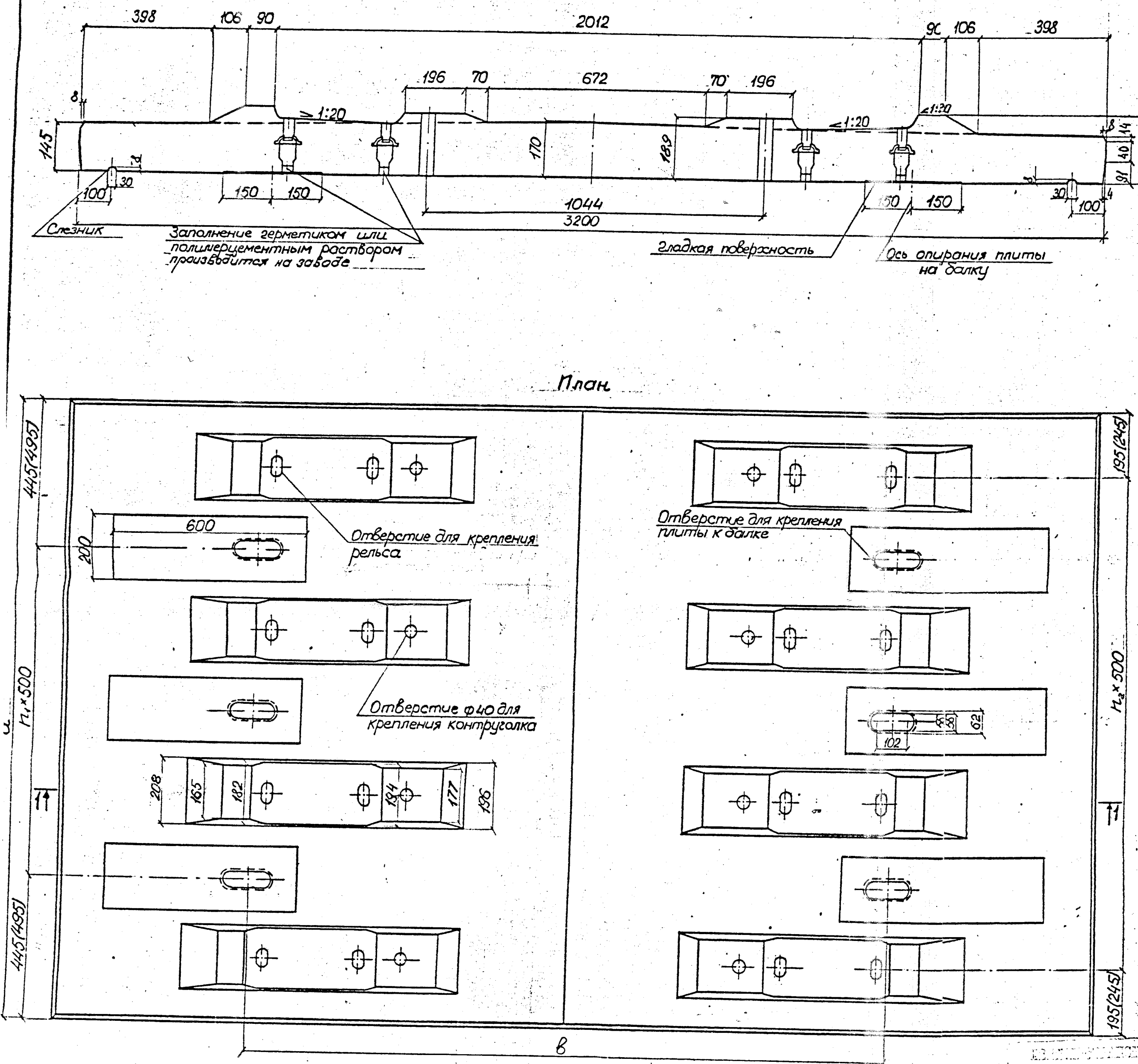
Е.М.Панин

Верно:

Л.И.Смирнов  
Г.И.Смирнов  
Печатано 4070 19 г.  
Московский 2/10

897.0-0073

1-1



То же для стальных клинкотипических условий (по бетона по морозостойкости не ниже F300) при

| Марка<br>плиты | Габаритные<br>размеры,<br>мм | a,<br>мм | B,<br>мм | n <sub>1</sub> ,<br>шт. | n <sub>2</sub> ,<br>шт. | Общая плиты,<br>шт. <sup>1</sup> | Расход арматуры,<br>кг |       |                |       | Заказчик шайб<br>пост. 23.557-73.шт | Классы плиты |
|----------------|------------------------------|----------|----------|-------------------------|-------------------------|----------------------------------|------------------------|-------|----------------|-------|-------------------------------------|--------------|
|                |                              |          |          |                         |                         |                                  | A-I                    | A-II  | B <sub>p</sub> | Всего |                                     |              |
| ПН1-180        | 3200x1390x213                | 1390     | 1900     | 1                       | 2                       | 0,72                             | 42,4                   | 83,0  | 23,0           | 148,4 | 12                                  | 1,8          |
| ПН1-190        |                              |          | 2000     |                         |                         |                                  |                        |       |                |       |                                     |              |
| ПН1-200        |                              |          | 2100     |                         |                         |                                  |                        |       |                |       |                                     |              |
| ПН1-210        |                              |          | 2200     |                         |                         |                                  | 41,0                   | 119,6 | 50,2           | 210,8 |                                     |              |
| ПН1-220        |                              |          | 2300     |                         |                         |                                  |                        | 119,9 |                | 211,1 |                                     |              |
| ПН2-180        | 3200x1490x213                | 1490     | 1900     | 1                       | 2                       | 0,77                             | 43,6                   | 86,9  | 23,0           | 153,5 | 12                                  | 1,9          |
| ПН2-190        |                              |          | 2000     |                         |                         |                                  |                        |       |                |       |                                     |              |
| ПН2-200        |                              |          | 2100     |                         |                         |                                  |                        |       |                |       |                                     |              |
| ПН2-210        |                              |          | 2200     |                         |                         |                                  | 42,2                   | 129,7 | 54,3           | 226,2 |                                     |              |
| ПН2-220        |                              |          | 2300     |                         |                         |                                  |                        | 130,0 |                | 226,5 |                                     |              |
| ПН3-180        | 3200x1890x213                | 1890     | 1900     | 2                       | 3                       | 0,98                             | 56,0                   | 110,7 | 29,3           | 196,0 | 16                                  | 2,5          |
| ПН3-190        |                              |          | 2000     |                         |                         |                                  |                        |       |                |       |                                     |              |
| ПН3-200        |                              |          | 2100     |                         |                         |                                  |                        |       |                |       |                                     |              |
| ПН3-210        |                              |          | 2200     |                         |                         |                                  | 54,6                   | 157,5 | 66,9           | 279,0 |                                     |              |
| ПН3-220        |                              |          | 2300     |                         |                         |                                  |                        | 158,1 |                | 279,6 |                                     |              |
| ПН4-180        | 3200x1990x213                | 1990     | 1900     | 2                       | 3                       | 1,03                             | 57,2                   | 114,7 | 31,4           | 203,3 | 16                                  | 2,6          |
| ПН4-190        |                              |          | 2000     |                         |                         |                                  |                        |       |                |       |                                     |              |
| ПН4-200        |                              |          | 2100     |                         |                         |                                  |                        |       |                |       |                                     |              |
| ПН4-210        |                              |          | 2200     |                         |                         |                                  | 55,8                   | 173,2 | 69,0           | 298,0 |                                     |              |
| ПН4-220        |                              |          | 2300     |                         |                         |                                  |                        | 175,2 |                | 300,0 |                                     |              |

1. Размеры в скобках приведены для типов ПН2- $(180 \div 220)$  и ПН4- $(180 \div 220)$ .

2. В ведомости основных показателей приведены геометрические параметры и расход материалов для глинт, предназначенных для эксплуатации в умеренных климатических условиях. Для глинт, предназначенных для суровых климатических условий, геометрические параметры и расход материалов определены без изменения

3. Материал плит бетон класса В40 по прочности на сжатие и морозостойкостью F200-F300 в зависимости от климатических

условий эксплуатации, водонепроницаемостью W6.

4. Марка плиты состоит из двух буквенно-цифровых групп, разделенных дефисом. Первая группа содержит сокращенное название плиты и ее типоразмер, характеризующий ее геометрические параметры и несущую способность, вторая группа содержит указания по применению.

Например, птица из предварительно напряженного железобетона для умеренных климатических условий (горка бетона по морозостойкости F200) - ПН1-180.

ПН1-плита из предварительно напряженного железобетона длиной  
(безот арм. пучка) 1390 мм

180 - расстояние между осями стабильных (проблемных) блоков в см.

|             |          |          |  |
|-------------|----------|----------|--|
| Членчи      | Трохова  | Трохов   |  |
| Проверил    | Коен В   | Коен     |  |
| Инч. згр.   | Коен     | Коен     |  |
| Гл. инженер | Клейнер  | Клейнер  |  |
| Н.контр     | Миронова | Миронова |  |
| Инч.отд     | Ткаченко | Ткаченко |  |

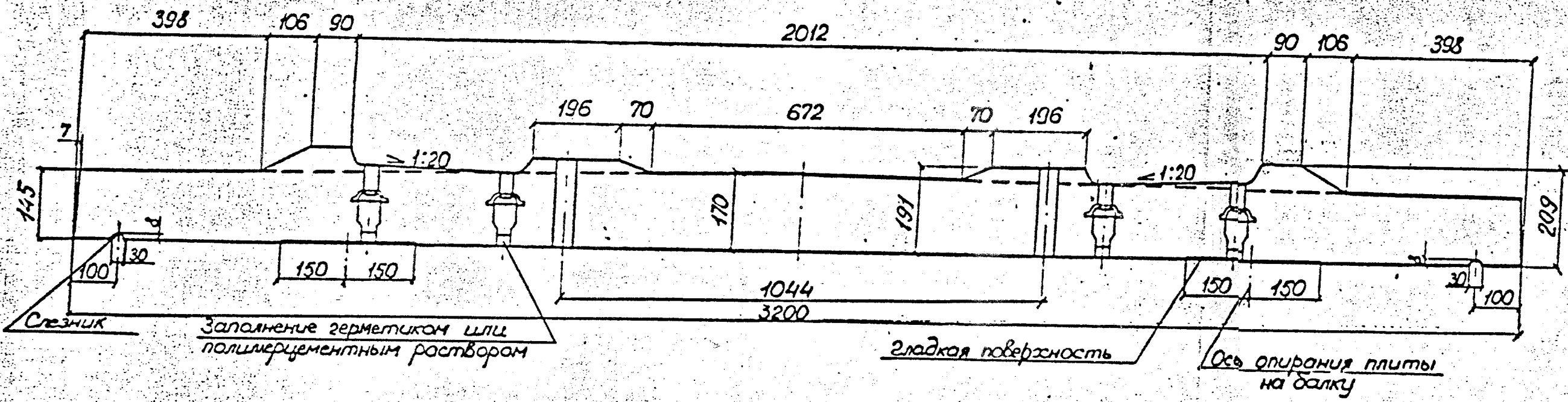
897.0 - 01

| Стадия | Лист | Листов |
|--------|------|--------|
| Р      |      | 1      |

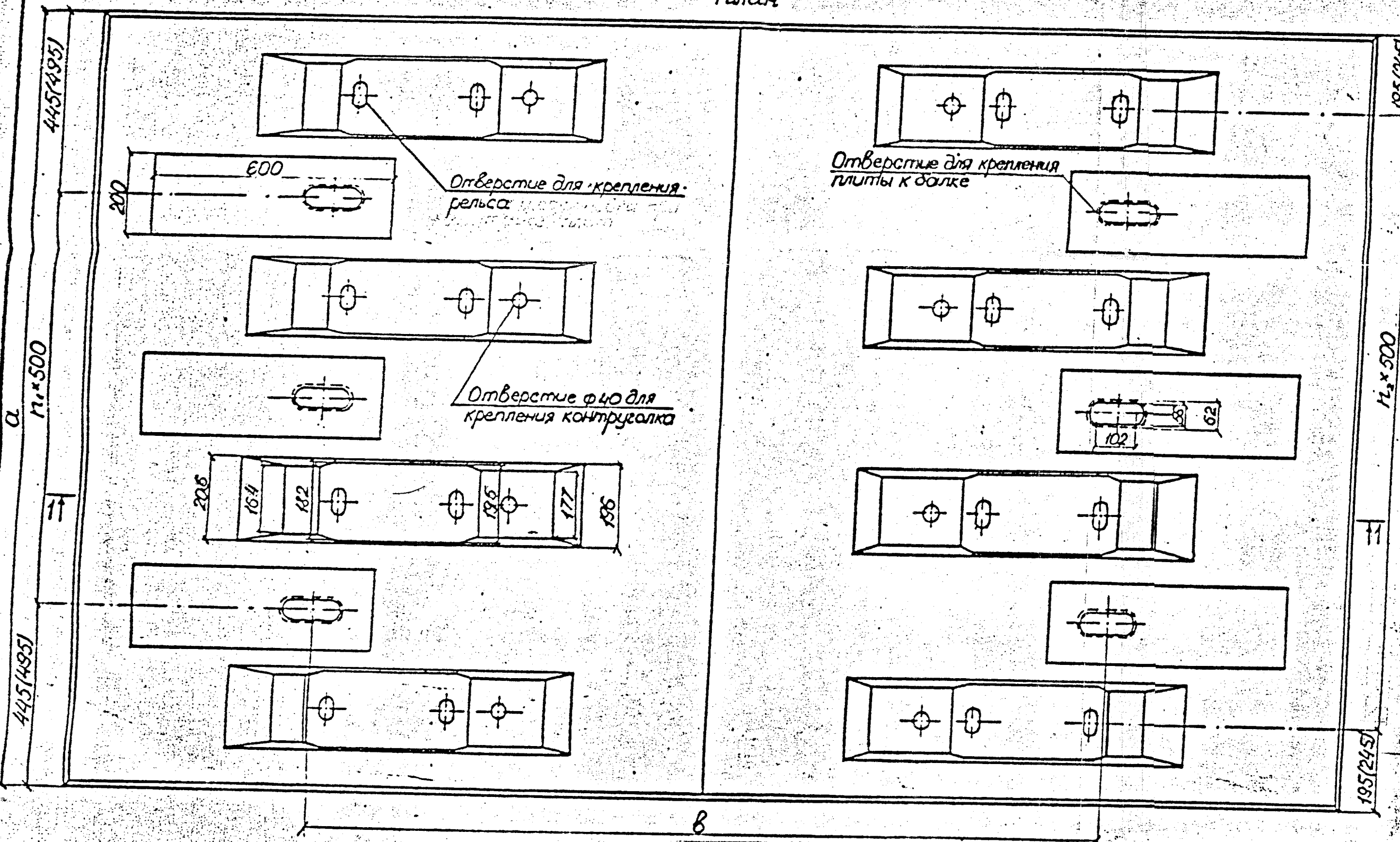
Плиты из предварительно  
напряженного железобетона.  
Номенклатура.

Ленгипротранс

1-1



120



1. Размеры в скобках приведены для плит П2-(180:240) и П4-(180:240)
  2. В ведомости основных показателей приведены геометрические параметры и расход материалов для плит, предназначенных для эксплуатации в умеренных климатических условиях. Для плит, предназначенных для суровых климатических условий, геометрические параметры и расход материалов остаются без изменения.
  3. Класс бетона плит по прочности на сжатие принят В40 - для пролетных строений с расстоянием между осями главных балок 2,0 м и менее и В50 -

| Марка<br>бланков | Габаритные<br>размеры,<br>мм | a,<br>мм | b,<br>мм | n,<br>шт. | n <sub>2</sub> ,<br>шт. | Общая ширина,<br>мм | Расход фрматуры<br>к2 |       |       | Закладная ширина<br>ДСТ 23.157-78, мм |
|------------------|------------------------------|----------|----------|-----------|-------------------------|---------------------|-----------------------|-------|-------|---------------------------------------|
|                  |                              |          |          |           |                         |                     | я-т                   | я-ii  | Всего |                                       |
| П1-180           | 3200x1390x209                | 1390     | 1900     | 1         | 2                       | 0,72                | 42,3                  | 154,3 | 196,6 | 12<br>1.8                             |
| П1-190           |                              |          | 2000     |           |                         |                     | 42,3                  | 154,3 | 196,6 |                                       |
| П1-200           |                              |          | 2100     |           |                         |                     | 42,3                  | 154,3 | 196,6 |                                       |
| П1-210           |                              |          | 2200     |           |                         |                     | 42,3                  | 353,7 | 396,0 |                                       |
| П1-220           |                              |          | 2300     |           |                         |                     | 42,3                  | 353,7 | 396,0 |                                       |
| П1-230           |                              |          | 2400     |           |                         |                     | 42,3                  | 353,7 | 396,0 |                                       |
| П1-240           |                              |          | 2500     |           |                         |                     | 42,3                  | 353,7 | 396,0 |                                       |
| П2-180           |                              |          | 1900     |           |                         |                     | 43,0                  | 170,4 | 213,4 |                                       |
| П2-190           | 3200x1490x209                | 1490     | 2000     | 1         | 2                       | 0,77                | 43,0                  | 170,4 | 213,4 | 12<br>1.9                             |
| П2-200           |                              |          | 2100     |           |                         |                     | 43,0                  | 170,4 | 213,4 |                                       |
| П2-210           |                              |          | 2200     |           |                         |                     | 43,0                  | 357,3 | 400,2 |                                       |
| П2-220           |                              |          | 2300     |           |                         |                     | 43,0                  | 357,3 | 400,2 |                                       |
| П2-230           |                              |          | 2400     |           |                         |                     | 43,0                  | 357,3 | 400,2 |                                       |
| П2-240           |                              |          | 2500     |           |                         |                     | 43,0                  | 357,3 | 400,2 |                                       |
| П3-180           | 3200x1890x209                | 1890     | 1900     | 2         | 3                       | 0,98                | 56,6                  | 206,3 | 262,9 | 16<br>2.5                             |
| П3-190           |                              |          | 2000     |           |                         |                     | 56,6                  | 206,3 | 262,9 |                                       |
| П3-200           |                              |          | 2100     |           |                         |                     | 56,6                  | 206,3 | 262,9 |                                       |
| П3-210           |                              |          | 2200     |           |                         |                     | 56,6                  | 472,3 | 528,9 |                                       |
| П3-220           |                              |          | 2300     |           |                         |                     | 56,6                  | 472,3 | 528,9 |                                       |
| П3-230           |                              |          | 2400     |           |                         |                     | 56,6                  | 472,3 | 528,9 |                                       |
| П3-240           |                              |          | 2500     |           |                         |                     | 56,6                  | 472,3 | 528,9 |                                       |
| П4-180           | 3200x2290x209                | 2290     | 1900     | 2         | 3                       | 1,03                | 57,3                  | 222,5 | 279,8 | 16<br>2.6                             |
| П4-190           |                              |          | 2000     |           |                         |                     | 57,3                  | 222,5 | 279,8 |                                       |
| П4-200           |                              |          | 2100     |           |                         |                     | 57,3                  | 222,5 | 279,8 |                                       |
| П4-210           |                              |          | 2200     |           |                         |                     | 57,3                  | 475,8 | 533,1 |                                       |
| П4-220           |                              |          | 2300     |           |                         |                     | 57,3                  | 475,8 | 533,1 |                                       |
| П4-230           |                              |          | 2400     |           |                         |                     | 57,3                  | 475,8 | 533,1 |                                       |
| П4-240           |                              |          | 2500     |           |                         |                     | 57,3                  | 475,8 | 533,1 |                                       |

для пролетных строений с расстоянием между осями главных опор от 2,1 м до 2,4 м. Морозостойкость F200-F300 в зависимости от климатических условий эксплуатации, водонепроницаемость W6

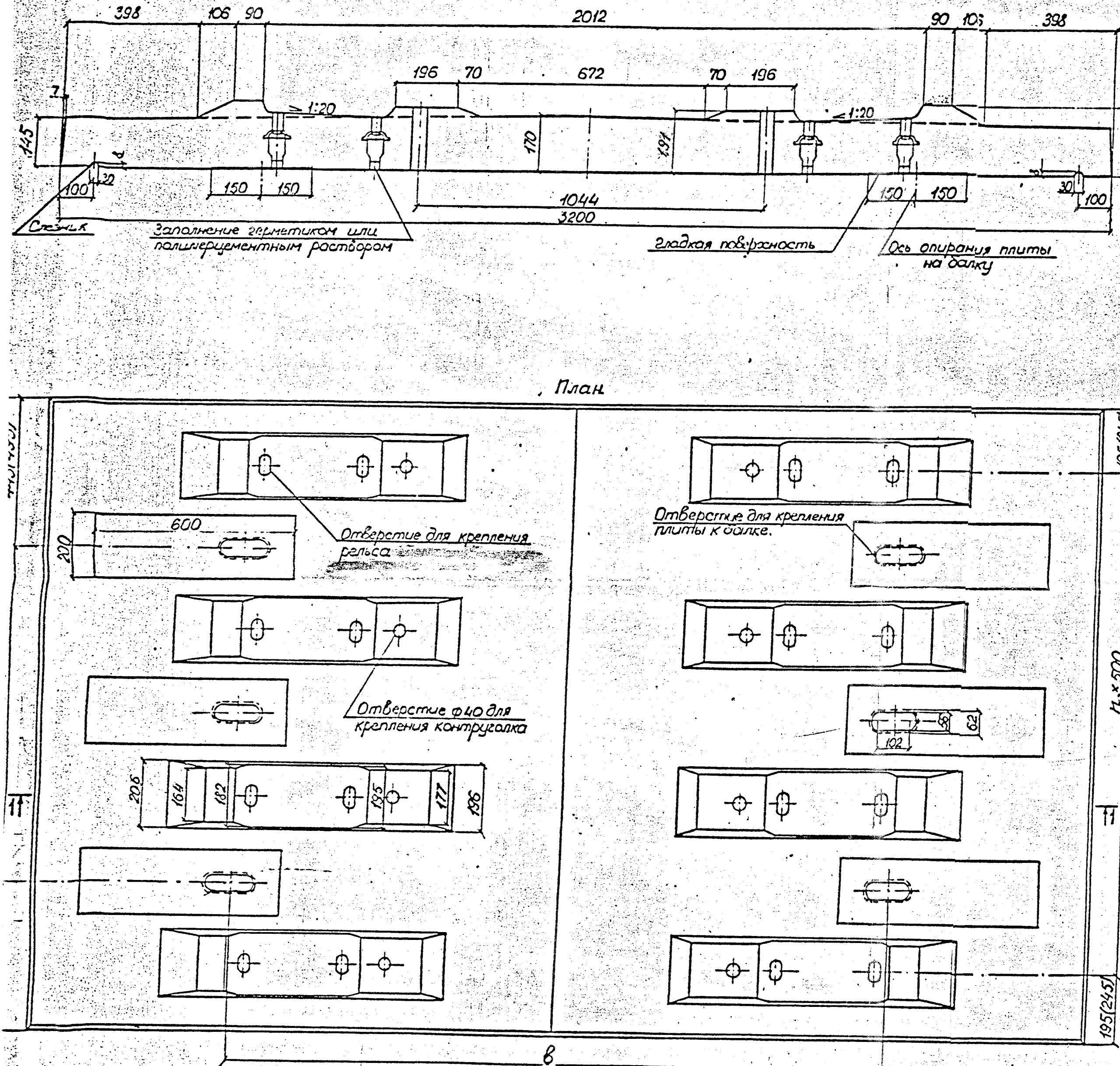
4. Марка плиты состоит из двух буквенно-цифровых групп, разделенных дефисом. Первая группа содержит сокращенное название плиты и ее типоразмер, характеризующий ее геометрические параметры и несущую способность второй группы, содержащим индекс из 2-3

- Например, плита из обычного железобетона для умеренных климатических условий (марка бетона по морозостойкости F200) - П1-180.
- П1-плита из обычного железобетона длиной (вдоль оси пути) 1390 мм (все размеры в миллиметрах).

100 - расстояние между осями глобных (продольных) балок в см.  
•Тоже для суровых климатических условий, марка бетона по морозостойкости не ниже F300) - П1-180F

|            |          |         |  |          |
|------------|----------|---------|--|----------|
| Испытания  | Проходов | Миронов |  | 897.0-02 |
| Проверка   | Коен     | Миронов |  |          |
| Нач.ер.    | Коен     | Миронов |  |          |
| Гл.инж.пр. | Клейнер  | Миронов |  |          |
| Н.контр.   | Миронова | Миронов |  |          |
| Нач.отд.   | Ткаченко | Миронов |  |          |
|            |          |         |  |          |
|            |          |         |  |          |

1-1



БЕТОННАЯ ПЛИТКА  
Плитка Енергетика  
Плитка № 4070-19  
Номер изображения № 2/3

| Марка<br>плиты | Габаритные<br>размеры,<br>мм | а,<br>мм | в,<br>мм | п,<br>шт. | п <sub>2</sub> ,<br>шт. | Общая ширина<br>плиты, м | Расход арматуры<br>к2 |       |       | Заготовка шахты<br>пост.23137-78, шт | Масса плиты,<br>тн |
|----------------|------------------------------|----------|----------|-----------|-------------------------|--------------------------|-----------------------|-------|-------|--------------------------------------|--------------------|
|                |                              |          |          |           |                         |                          | А-1                   | Ас-II | Всего |                                      |                    |
| П1-180М        | 3200x1390x209                | 1900     | 1390     | 1         | 2                       | 0,72                     | 42,3                  | 154,3 | 196,6 | 12                                   | 1,8                |
| П1-190М        |                              | 2000     |          |           |                         |                          | 42,3                  | 154,3 | 196,6 |                                      |                    |
| П1-200М        |                              | 2100     |          |           |                         |                          | 42,3                  | 154,3 | 196,6 |                                      |                    |
| П1-210М        |                              | 2200     |          |           |                         |                          | 42,3                  | 353,7 | 396,0 |                                      |                    |
| П1-220М        |                              | 2300     |          |           |                         |                          | 42,3                  | 353,7 | 396,0 |                                      |                    |
| П1-230М        |                              | 2400     |          |           |                         |                          | 42,3                  | 353,7 | 396,0 |                                      |                    |
| П1-240М        |                              | 2500     |          |           |                         |                          | 42,3                  | 353,7 | 396,0 |                                      |                    |
| П2-180М        | 3200x1490x209                | 1900     | 1490     | 1         | 2                       | 0,77                     | 43,0                  | 170,4 | 213,4 | 12                                   | 1,9                |
| П2-190М        |                              | 2000     |          |           |                         |                          | 43,0                  | 170,4 | 213,4 |                                      |                    |
| П2-200М        |                              | 2100     |          |           |                         |                          | 43,0                  | 170,4 | 213,4 |                                      |                    |
| П2-210М        |                              | 2200     |          |           |                         |                          | 43,0                  | 357,3 | 400,2 |                                      |                    |
| П2-220М        |                              | 2300     |          |           |                         |                          | 43,0                  | 357,3 | 400,2 |                                      |                    |
| П2-230М        |                              | 2400     |          |           |                         |                          | 43,0                  | 357,3 | 400,2 |                                      |                    |
| П2-240М        |                              | 2500     |          |           |                         |                          | 43,0                  | 357,3 | 400,2 |                                      |                    |
| П3-180М        | 3200x1890x209                | 1900     | 1890     | 2         | 3                       | 0,98                     | 56,6                  | 206,3 | 252,9 | 16                                   | 2,5                |
| П3-190М        |                              | 2000     |          |           |                         |                          | 56,6                  | 206,3 | 262,9 |                                      |                    |
| П3-200М        |                              | 2100     |          |           |                         |                          | 56,6                  | 206,3 | 262,9 |                                      |                    |
| П3-210М        |                              | 2200     |          |           |                         |                          | 56,6                  | 472,3 | 528,9 |                                      |                    |
| П3-220М        |                              | 2300     |          |           |                         |                          | 56,6                  | 472,3 | 528,9 |                                      |                    |
| П3-230М        |                              | 2400     |          |           |                         |                          | 56,6                  | 472,3 | 528,9 |                                      |                    |
| П3-240М        |                              | 2500     |          |           |                         |                          | 56,6                  | 472,3 | 528,9 |                                      |                    |
| П4-180М        | 3200x1990x209                | 1900     | 1990     | 2         | 3                       | 1,03                     | 57,3                  | 222,5 | 279,8 | 16                                   | 2,6                |
| П4-190М        |                              | 2000     |          |           |                         |                          | 57,3                  | 222,5 | 279,8 |                                      |                    |
| П4-200М        |                              | 2100     |          |           |                         |                          | 57,3                  | 222,5 | 279,8 |                                      |                    |
| П4-210М        |                              | 2200     |          |           |                         |                          | 57,3                  | 475,8 | 533,1 |                                      |                    |
| П4-220М        |                              | 2300     |          |           |                         |                          | 57,3                  | 475,8 | 533,1 |                                      |                    |
| П4-230М        |                              | 2400     |          |           |                         |                          | 57,3                  | 475,8 | 533,1 |                                      |                    |

- Размеры в скобках приведены для плит П2-(180-230)М и П4-(180-230)М
- Класс бетона плит по прочности на сжатие принят В40 - для пролетных строений с расстоянием между осями главных болок 2,0 м и менее и В60 - для пролетных строений с расстоянием между осями главных болок от 2,1 м до 2,3 м. Морозостойкость F300, водонепроницаемость W6.
- Мягко плиты состоят из двух буквенно-цифровых груп, разделенных дефисом. Первая группа содержит сокращенное название плиты и ее типо-размер, вторая группа содержит геометрические параметры и несущую способность, вторая группа содержит указания по применению.

Например, плита из обычного железобетона для особы суровых климатических условий П1-180М

П1-плита из обычного железобетона длиной (вдоль оси пути) 1390 мм 180-расстояние между осями главных (продольных) болок в см.

М - особо суровые климатические условия

| Исполнение | Прогрева  | Ударопр. | Стадия | Лист | Листов |
|------------|-----------|----------|--------|------|--------|
| Продвин.   | Коен      | Желез.   | P      |      |        |
| Нач.пр.    | Коен      | Желез.   |        |      |        |
| Гл.инж.пр. | Клермер   | Желез.   |        |      |        |
| Н.котр.    | Мильонова | Жел.     |        |      |        |
| Нач.отд.   | Ткаченко  | Желез.   |        |      |        |

Плиты из обычного железобетона с арматурой из стали класса Ас-II марки 10#P. 11

В. СТАДИИ И РАСЧЕТЫ

Расчеты, наклонные к продольной оси элементов

Геометрические характеристики пропорций

Формулы и обозначения

| Узел                             | Расстояние между главными балками $R$ , мм |       |       |       |       |       |       |       |           |       |           |           |       |       |       |       |       |
|----------------------------------|--------------------------------------------|-------|-------|-------|-------|-------|-------|-------|-----------|-------|-----------|-----------|-------|-------|-------|-------|-------|
|                                  | 1900                                       |       |       |       |       |       | 2200  |       |           |       |           |           |       |       |       |       |       |
|                                  | 1390                                       | 1490  | 1890  | 1990  | 1390  | 1490  | 1890  | 1990  | Сечение   | 1-1   | 2-2       | 1-1       |       |       |       |       |       |
| 1-1                              | 2-2                                        | 1-1   | 2-2   | 1-1   | 2-2   | 1-1   | 2-2   | 1-1   | 2-2       | 1-1   | 2-2       | 1-1       |       |       |       |       |       |
| $h_0$ ( $h_{01}$ )               | см                                         | 9,25  | 12,0  | 9,25  | 12,0  | 9,25  | 12,0  | 9,34  | 11,7      | 9,33  | 11,7      | 9,36      | 11,7  |       |       |       |       |
| $a_p$ ( $a'_p$ )                 | см                                         | 6,75  | 6,75  | 6,75  | 6,75  | 6,75  | 6,75  | 6,75  | 6,75      | 6,75  | 6,75      | 6,75      | 6,75  |       |       |       |       |
| $a_s$ ( $a'_s$ )                 | см                                         | 4,0   | 4,0   | 4,0   | 4,0   | 4,0   | 4,0   | 4,3   | 4,3       | 4,3   | 4,3       | 4,3       | 4,3   |       |       |       |       |
| $A_p + A_s$ ( $A_p + A'_s$ )     | см <sup>2</sup>                            | 4405  | 4405  | 4405  | 4405  | 5605  | 5605  | 6005  | 35052010  | 91605 | 104452010 | 104452010 | 12805 | 12805 | 12805 | 13205 |       |
| $A'_s$ ( $A_s$ )                 | см <sup>2</sup>                            | 8,62  | 8,62  | 8,62  | 8,62  | 10,98 | 10,98 | 11,76 | 11,76     | 18,82 | 20,38     | 25,99     | 25,99 | 25,87 | 25,87 | 25,87 | 25,87 |
| $I_{red}$                        | см <sup>4</sup>                            | 12010 | 12010 | 12010 | 12010 | 16010 | 16010 | 16010 | 124162010 | 14016 | 14016     | 16016     | 16016 | 16016 | 16016 | 16016 | 16016 |
| $y_c$                            | см                                         | 8,07  | 7,93  | 8,07  | 7,93  | 8,07  | 7,93  | 8,18  | 7,82      | 8,18  | 7,81      | 8,16      | 7,82  | 8,17  | 7,82  | 8,18  |       |
| $y_e = h - y_c$                  | см                                         | 7,93  | 8,07  | 7,93  | 8,07  | 7,93  | 8,07  | 7,82  | 8,18      | 7,82  | 8,19      | 7,84      | 8,18  | 7,83  | 8,18  |       |       |
| $J_{red}$                        | см <sup>4</sup>                            | 48590 | 48590 | 52004 | 52004 | 65026 | 65026 | 69459 | 69459     | 50098 | 50031     | 53750     | 53683 | 68052 | 67920 | 71685 | 71552 |
| $W_{red} = \frac{J_{red}}{y_c}$  | см <sup>3</sup>                            | 6021  | 6127  | 6444  | 6558  | 8182  | 8326  | 8607  | 8759      | 6124  | 63998     | 6571      | 6874  | 8340  | 8685  | 8774  | 9150  |
| $W'_{red} = \frac{J_{red}}{y_e}$ | см <sup>3</sup>                            | 6127  | 6021  | 6558  | 6444  | 8326  | 8182  | 8759  | 8607      | 6406  | 6115      | 6873      | 6555  | 8680  | 8303  | 9155  | 8747  |

M

$\Sigma y_{h_0}$

$x = \frac{R_p A_p + R_s A_s - R_{sc} A'_s}{R_e b} \leq \Sigma h_0$

$M_{np} = R_b b x (h_{01} - 0,5x) + R_{sc} A'_s (h_{01} - a'_s)$

Потери предварительного напряжения

первой

суммарные

$\sigma_{pc} = \sigma_f (\beta_{hk} - \sum \beta_{tb})$

$\sigma_{pc} = R_{pc} - \sigma_{pc}$

$x = \frac{R_b A_b - R_{pc} A'_b}{R_b b} \leq \Sigma h_0$

$M_{np} = R_b b x (h_{01} - 0,5x) + \sigma_{pc} A_p (h_{01} - a_p)$

Q

$Q^h$

S

$\sigma_Q = \frac{Q^h S}{J_{red} B} \leq R_{b,sh}$

$m = 1,3 + 0,4 (\frac{R_{b,sh}}{\sigma_a} - 1)$

$c = h_0 \operatorname{tg} 60^\circ$

$Q_b = \frac{2 R_{et} B h_0^2}{c}$

$Q_{b,np} = m R_{et} B h_0 > Q_b$

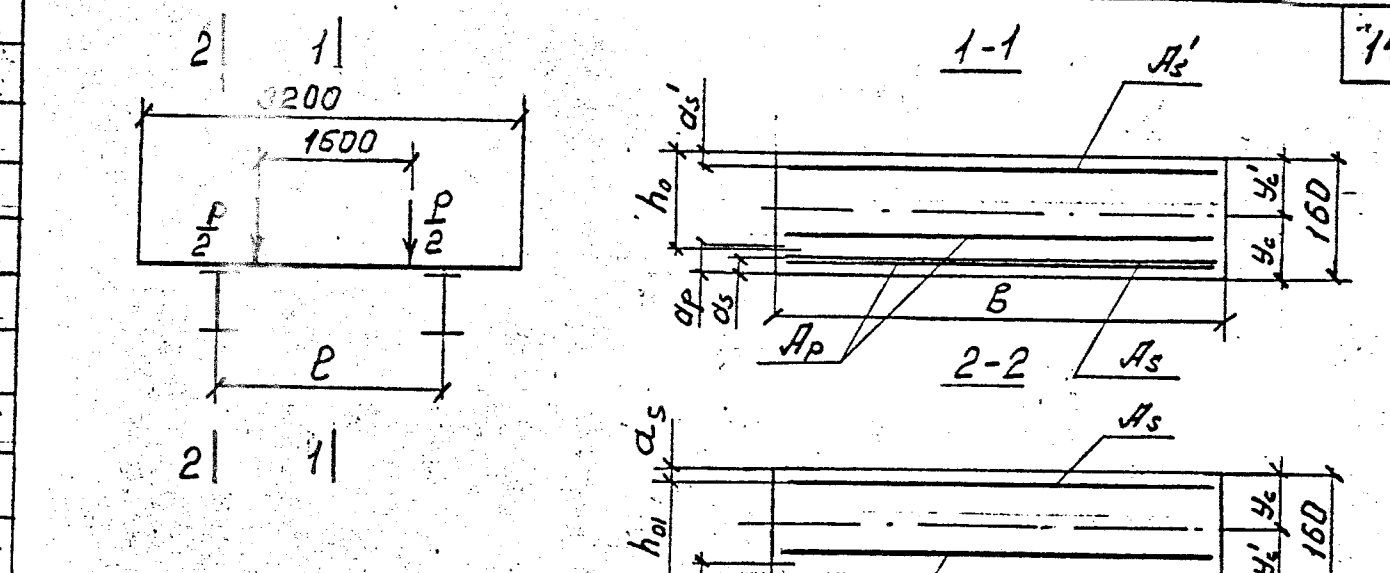
$A_{sw}$

$\sum A_{sw} = \frac{c}{a_{sw}}$

$Q_{np} = \sum m_{a4} R_{sw} A_{sw} + Q_b > Q$

Расчеты, наклонные к продольной оси элементов

Сечения, наклонные к продольной оси элементов



| Номер | Ширина плиты, мм | Узел | Нагрузки    |             |
|-------|------------------|------|-------------|-------------|
|       |                  |      | Постоянныe  | Временныe   |
| 1     | 1390             | 1-1  | $f_f = 1,0$ | $f_f = 1,0$ |
| 2     | 1490             | 2-2  | $f_f = 1,1$ | $f_f = 1,1$ |
| 3     | 1890             | 1-1  | $f_f = 1,0$ | $f_f = 1,0$ |
| 4     | 1990             | 2-2  | $f_f = 1,1$ | $f_f = 1,1$ |

1. В расчете на прочность в плитах для пролетных строений с расстоянием между главными балками 2200 мм в расчете на прочность сечения (сеч. 1-1) кроме напрягаемой арматуры учтено неизнапряженная. Расстояние от центра тяжести расстоянной и неизнапряженной арматуры до ближайшей грани сечения равно:  $a_s = 5,6$  см — для плит шириной 1390 и 1490 мм и  $a_s = 5,9$  см — для плит шириной 1890 и 1990 мм.

2. Обозначение в скобках даны для сечения 2-2.

Бланк для заполнения  
расчетного листа  
Проект № 4070  
Лист № 2/14

| Исполнитель | Члены комиссии | Стадия | Лист | Листов |
|-------------|----------------|--------|------|--------|
| Проверил    | Конструктор    | P      | 1    | 3      |
| Нач.пр.     | Конструктор    |        |      |        |
| Ген.инж.пр. | Конструктор    |        |      |        |
| Н.контр.    | Маркович       |        |      |        |
| Нач.отд.    | Ткаченко       |        |      |        |
|             |                |        |      |        |

Расчетный лист  
Плиты из предварительно напряженного железобетона  
Ленгипротрансомст

| Расчеты                                                                                                                                                  |                     | Расстояние между изгибными балками $\rho$ , мм |        |        |           |        |        |        |        |         |        |        |        |        |        |        |        |
|----------------------------------------------------------------------------------------------------------------------------------------------------------|---------------------|------------------------------------------------|--------|--------|-----------|--------|--------|--------|--------|---------|--------|--------|--------|--------|--------|--------|--------|
|                                                                                                                                                          |                     | 1900                                           |        |        |           |        |        |        |        | 2200    |        |        |        |        |        |        |        |
| Формулы и обозначения                                                                                                                                    | Узел                | Ширина плиты $b$ , мм                          |        |        |           |        |        |        |        | Сечения |        |        |        |        |        |        |        |
|                                                                                                                                                          |                     | 1390                                           | 1490   | 1890   | 1990      | 1390   | 1490   | 1890   | 1990   | 1-1     | 2-2    | 1-1    | 2-2    | 1-1    | 2-2    | 1-1    | 2-2    |
| $M_n$                                                                                                                                                    | кН·м                | 1,5                                            | 1,2    | 1,6    | 1,3       | 2,1    | 1,6    | 2,2    | 1,7    | 3,0     | 0,7    | 3,2    | 0,8    | 4,1    | 1,0    | 4,3    | 1,0    |
|                                                                                                                                                          | тс·м                | 0,16                                           | 0,12   | 0,17   | 0,13      | 0,21   | 0,16   | 0,22   | 0,17   | 0,31    | 0,07   | 0,33   | 0,08   | 0,42   | 0,10   | 0,44   | 0,10   |
| $M_{B_p}$                                                                                                                                                | кН·м                | 38,1                                           | 7,6    | 40,9   | 8,2       | 51,8   | 10,4   | 54,6   | 10,9   | 76,2    | 15,3   | 81,7   | 16,5   | 103,7  | 20,9   | 109,2  | 22,0   |
|                                                                                                                                                          | тс·м                | 3,89                                           | 0,78   | 4,17   | 0,88      | 5,29   | 1,06   | 5,57   | 1,11   | 7,78    | 1,56   | 8,34   | 1,68   | 10,58  | 2,13   | 11,14  | 2,24   |
| $G_{p_1}$                                                                                                                                                | МПа                 | 827,5                                          | 827,5  | 829,9  | 829,9     | 829,9  | 829,9  | 829,9  | 829,9  | 788,0   | 788,0  | 787,3  | 787,3  | 789,7  | 789,7  | 791,1  | 791,1  |
|                                                                                                                                                          | кес/см <sup>2</sup> | 8444                                           | 8444   | 8468   | 8468      | 8468   | 8468   | 8468   | 8468   | 8041    | 8041   | 8034   | 8034   | 8058   | 8058   | 8072   | 8072   |
| $N_p = G_{p_1} \cdot A_p$                                                                                                                                | кН                  | 713                                            | 713    | 715    | 715       | 911    | 911    | 975    | 975    | 1483    | 1483   | 1604   | 1604   | 1982   | 1982   | 2046   | 2046   |
|                                                                                                                                                          | тс                  | 72,8                                           | 72,8   | 73,0   | 73,0      | 93,0   | 93,0   | 99,5   | 99,5   | 151,3   | 151,3  | 163,7  | 163,7  | 202,2  | 202,2  | 208,8  | 208,8  |
| $G_{sp} = -\frac{N_p - N_p(y_c - \alpha_p)}{A_{red}} \left( \frac{N_p + N_p(y'_c - \alpha'_p)}{A_{red}} \right) \frac{(y_c - \alpha_p)^2}{J_{red}}$      | МПа                 | -3,3                                           | -2,3   | -3,1   | -2,2      | -3,1   | -2,2   | -3,2   | -2,2   | -6,5    | -4,4   | -6,6   | -4,5   | -6,4   | -4,4   | -6,3   | -4,3   |
|                                                                                                                                                          | кес/см <sup>2</sup> | -33,8                                          | -23,4  | -31,7  | -22,0     | -31,8  | -22,0  | -32,3  | -22,4  | -66,4   | -45,3  | -66,9  | -45,5  | -65,1  | -44,7  | -63,9  | -43,8  |
| $G_{el,c} = \pi, G_{sp}$ ( $G_s = \pi, G_{sp}$ )                                                                                                         | МПа                 | -20,1                                          | -14,6  | -18,8  | -13,7     | -18,9  | -13,7  | -19,2  | -14,0  | -39,4   | -28,2  | -39,7  | -28,4  | -38,6  | -27,9  | -37,9  | -27,3  |
|                                                                                                                                                          | кес/см <sup>2</sup> | -204,7                                         | -148,8 | -191,9 | -139,9    | -192,5 | -139,9 | -195,6 | -142,5 | -402,1  | -288,1 | -405,1 | -289,4 | -394,2 | -284,3 | -386,9 | -278,6 |
| $G_{et,g} = \frac{M_n}{W_{red}}$                                                                                                                         | МПа                 | 0,26                                           | 0,19   | 0,26   | 0,19      | 0,25   | 0,19   | 0,25   | 0,19   | 0,50    | 0,11   | 0,49   | 0,11   | 0,49   | 0,11   | 0,49   | 0,11   |
|                                                                                                                                                          | кес/см <sup>2</sup> | 2,7                                            | 2,0    | 2,6    | 2,0       | 2,6    | 1,9    | 2,6    | 1,9    | 5,1     | 1,1    | 5,0    | 1,2    | 5,0    | 1,2    | 5,0    | 1,1    |
| $G_{pg} = \pi, G_{et,g}$ ( $G_{sg} = \pi, G_{et,g}$ )                                                                                                    | МПа                 | 1,6                                            | 1,2    | 1,5    | 1,2       | 1,5    | 1,2    | 1,5    | 1,2    | 3,0     | 0,7    | 3,0    | 0,7    | 3,0    | 0,7    | 3,0    | 0,7    |
|                                                                                                                                                          | кес/см <sup>2</sup> | 16,3                                           | 12,7   | 15,7   | 12,7      | 15,7   | 12,1   | 15,7   | 12,1   | 30,9    | 7,0    | 30,3   | 7,6    | 30,3   | 7,6    | 30,3   | 7,0    |
| $G_{et,v} = \frac{M_p}{W_{red}}$                                                                                                                         | МПа                 | 6,3                                            | 1,2    | 6,3    | 1,2       | 6,3    | 1,2    | 6,3    | 1,2    | 12,5    | 2,4    | 12,4   | 2,4    | 12,4   | 2,4    | 12,4   | 2,4    |
|                                                                                                                                                          | кес/см <sup>2</sup> | 64,6                                           | 12,7   | 64,7   | 12,7      | 64,7   | 12,7   | 64,7   | 12,7   | 127,0   | 24,4   | 126,9  | 24,4   | 126,9  | 24,5   | 127,0  | 24,5   |
| $G_{pv} = \pi, G_{et,v}$ ( $G_{sy} = \pi, G_{et,v}$ )                                                                                                    | МПа                 | 38,3                                           | 7,9    | 38,4   | 7,9       | 38,4   | 7,9    | 38,4   | 7,9    | 75,4    | 15,2   | 75,3   | 15,2   | 75,3   | 15,3   | 75,4   | 15,3   |
|                                                                                                                                                          | кес/см <sup>2</sup> | 391,2                                          | 80,8   | 391,8  | 80,8      | 391,8  | 80,8   | 391,8  | 80,8   | 769,0   | 155,2  | 768,4  | 155,2  | 768,4  | 155,8  | 769,0  | 155,8  |
| $\sigma_{p,max} = (G_p - G_{el,c}) + G_{pg} + G_{pv}$<br>( $\sigma_{s,max} = G_s + G_{sg}$ )                                                             | МПа                 | 847,4                                          | -13,3  | 851,0  | -12,5     | 851,0  | -12,5  | 849,9  | -12,8  | 827,0   | -27,5  | 825,9  | -27,6  | 829,4  | -27,1  | 831,6  | -26,6  |
|                                                                                                                                                          | кес/см <sup>2</sup> | 8647                                           | -136,1 | 8684   | -127,2    | 8683   | -127,8 | 8673   | -130,4 | 8439    | -281,1 | 8428   | -281,8 | 8463   | -276,7 | 8484   | -271,6 |
| $\sigma_{p,min} = (G_p - G_{el,c}) + G_{pg}$<br>( $\sigma_{s,min} = G_s + G_{sg} + G_{sy}$ )                                                             | МПа                 | 809,1                                          | -5,4   | 812,6  | -4,5      | 812,6  | -4,6   | 811,6  | -4,9   | 751,6   | -12,3  | 750,6  | -12,4  | 754,1  | -11,8  | 756,2  | -11,3  |
|                                                                                                                                                          | кес/см <sup>2</sup> | 8256                                           | -55,3  | 8292   | -46,4     | 8292   | -47,0  | 8281   | -49,6  | 767,0   | -125,9 | 7659   | -126,6 | 7694   | -120,9 | 7715   | -113,8 |
| $\rho = \frac{\sigma_{p,max}}{\sigma_{p,min}}$ ( $\frac{\sigma_{s,max}}{\sigma_{s,min}}$ )                                                               | —                   | 0,955                                          | 0,406  | 0,955  | 0,365     | 0,955  | 0,368  | 0,955  | 0,380  | 0,909   | 0,448  | 0,909  | 0,449  | 0,909  | 0,437  | 0,909  | 0,426  |
| $\epsilon_{pp}$ ( $\epsilon_{ps}$ )                                                                                                                      | —                   | 0,96                                           | 0,874  | 0,96   | 0,842     | 0,96   | 0,844  | 0,96   | 0,854  | 0,918   | 0,904  | 0,918  | 0,904  | 0,918  | 0,896  | 0,918  | 0,888  |
| $R_{pb} = \epsilon_{pp} \cdot R_p \geq \sigma_{p,max} / (\epsilon_{ps} \cdot R_s \geq \sigma_{s,max})$                                                   | МПа                 | 903,2                                          | 218,4  | 903,2  | 210,4     | 903,2  | 210,9  | 903,2  | 213,4  | 863,7   | 225,9  | 863,7  | 225,9  | 863,7  | 223,9  | 863,7  | 221,9  |
|                                                                                                                                                          | кес/см <sup>2</sup> | 9216                                           | 2229   | 9216   | 2147      | 9216   | 2152   | 9216   | 2178   | 8813    | 2305   | 8813   | 2305   | 8813   | 2283   | 8813   | 2264   |
| $\sigma_{sc} = -\frac{N_p + N_p(y_c - \alpha_p)}{A_{red}} \left( \frac{N_p - N_p(y'_c - \alpha'_p)}{A_{red}} \right) \frac{(y_c - \alpha_p)^2}{J_{red}}$ | МПа                 | -1,5                                           | -4,6   | -1,4   | -4,3      | -1,4   | -4,3   | -1,4   | -4,4   | -2,6    | -9,4   | -2,6   | -9,5   | -2,6   | -9,3   | -2,5   | -9,1   |
|                                                                                                                                                          | кес/см <sup>2</sup> | -15,5                                          | -47,1  | -14,6  | -44,2     | -14,6  | -44,3  | -14,1  | -45,1  | -26,5   | -95,9  | -26,7  | -96,9  | -26,4  | -94,5  | -25,7  | -92,8  |
| $G_{scg} = \frac{M_n}{W_{red}}$                                                                                                                          | МПа                 | -0,26                                          | -0,20  | -0,25  | -0,20     | -0,25  | -0,19  | -0,25  | -0,19  | -0,47   | -0,11  | -0,47  | -0,12  | -0,47  | -0,12  | -0,47  | -0,11  |
|                                                                                                                                                          | кес/см <sup>2</sup> | -2,60                                          | -1,99  | -2,59  | -2,02     | -2,52  | -1,96  | -2,51  | -1,98  | -4,84   | -1,14  | -4,80  | -1,22  | -4,84  | -1,20  | -4,81  | -1,14  |
| $G_{scv} = \frac{M_p}{W_{red}}$                                                                                                                          | МПа                 | -6,2                                           | -1,3   | -6,2   | -1,3      | -6,2   | -1,3   | -6,2   | -1,3   | -11,9   | -2,5   | -11,9  | -2,5   | -11,9  | -2,5   | -11,9  | -2,5   |
|                                                                                                                                                          | кес/см <sup>2</sup> | -63,5                                          | -13,0  | -63,6  | -12,9     | -63,5  | -13,0  | -63,6  | -12,9  | -121,4  | -25,5  | -121,3 | -25,6  | -121,9 | -25,6  | -121,7 | -25,6  |
| $\sigma_{sc,max} = \sigma_{sc1} + \sigma_{scg} + \sigma_{scv}$                                                                                           | МПа                 | -8,0                                           | -6,1   | -7,9   | -5,8      | -7,9   | -5,8   | -7,9   | -5,9   | -15,0   | -12,0  | -15,0  | -12,1  | -15,0  | -11,9  | -14,9  | -11,7  |
|                                                                                                                                                          | кес/см <sup>2</sup> | -81,6                                          | -62,1  | -80,8  | -59,1     | -80,6  | -59,3  | -80,2  | -60,0  | -152,7  | -122,5 | -152,8 | -123,7 | -153,1 | -121,3 | -152,2 | -119,3 |
| $\sigma_{sc,min} = \sigma_{sc1} + \sigma_{scg}$                                                                                                          | МПа                 | -1,8                                           | -4,8   | -1,7   | -4,5      | -1,7   | -4,5   | -1,6   | -4,6   | -3,1    | -9,5   | -3,1   | -9,6   | -3,1   | -9,4   | -3,0   | -9,2   |
|                                                                                                                                                          | кес/см <sup>2</sup> | -18,1                                          | -49,1  | -17,2  | -46,2</td |        |        |        |        |         |        |        |        |        |        |        |        |

| Формулы и обозначения                |                       | Расчеты |
|--------------------------------------|-----------------------|---------|
|                                      |                       |         |
| 8 стадии предварительного напряжения | в стадии эксплуатации |         |
| по прочности                         | предельные трещины    |         |
| поперечн.                            | поперечн.             |         |
| поперечн.                            | поперечн.             |         |

| Наименование                                                                                                                            | расстояние между главными блоками, мм | расстояние между главными блоками, с, мм |       |       |       |       |       |       |       |                     |        |        |        |        |        |        |        |        |
|-----------------------------------------------------------------------------------------------------------------------------------------|---------------------------------------|------------------------------------------|-------|-------|-------|-------|-------|-------|-------|---------------------|--------|--------|--------|--------|--------|--------|--------|--------|
|                                                                                                                                         |                                       | 1900                                     |       |       |       | 2200  |       |       |       | ширина плиты, в, мм |        |        |        |        |        |        |        |        |
| потерь напряжений                                                                                                                       |                                       | 1390                                     | 1490  | 1890  | 1990  | 1390  | 1490  | 1890  | 1990  | 1390                | 1490   | 1890   | 1990   |        |        |        |        |        |
| Сечение                                                                                                                                 |                                       |                                          |       |       |       |       |       |       |       |                     |        |        |        |        |        |        |        |        |
| M <sub>бр</sub>                                                                                                                         |                                       | кн·м                                     | 28,4  | 5,9   | 30,4  | 5,9   | 39,2  | 7,8   | 41,2  | 7,8                 | 56,8   | 11,8   | 61,7   | 12,7   | 77,4   | 15,7   | 82,3   | 16,7   |
|                                                                                                                                         |                                       | тс·м                                     | 2,9   | 0,6   | 3,1   | 0,6   | 4,0   | 0,8   | 4,2   | 0,8                 | 5,8    | 1,2    | 6,3    | 1,3    | 7,9    | 1,6    | 8,4    | 1,7    |
| M = M <sub>п</sub> + M <sub>бр</sub>                                                                                                    |                                       | кн·м                                     | 30,4  | 6,9   | 32,3  | 7,8   | 41,2  | 9,8   | 43,1  | 9,8                 | 60,8   | 12,7   | 64,7   | 12,7   | 82,3   | 16,7   | 85,2   | 17,5   |
|                                                                                                                                         |                                       | тс·м                                     | 3,1   | 0,7   | 3,3   | 0,8   | 4,2   | 1,0   | 4,4   | 1,0                 | 6,2    | 1,3    | 6,6    | 1,3    | 8,4    | 1,7    | 8,8    | 1,8    |
| N <sub>р</sub> = G <sub>р1</sub> · A <sub>р</sub>                                                                                       |                                       | кн                                       | 713   | 713   | 715   | 715   | 911   | 911   | 975   | 975                 | 1483   | 1483   | 1604   | 1604   | 1982   | 1982   | 2046   | 2046   |
|                                                                                                                                         |                                       | тс                                       | 72,8  | 72,8  | 73,0  | 73,0  | 93,0  | 93,0  | 99,5  | 99,5                | 151,3  | 151,3  | 153,7  | 153,7  | 202,2  | 202,2  | 208,8  | 208,8  |
| G <sub>bx</sub> = - $\frac{N_p}{A_{red}}$ + $\frac{N_p(y_c - \alpha_p)}{W_{red}}$ - $\frac{M}{W_{red}}$ ≤ R <sub>b,mc2</sub>            |                                       | мпа                                      | -6,5  | —     | -6,4  | —     | -6,4  | —     | -6,4  | —                   | -12,1  | —      | -12,0  | —      | -12,1  | —      | -11,9  | —      |
|                                                                                                                                         |                                       | кес см <sup>2</sup>                      | -66,1 | —     | -64,9 | —     | -65,0 | —     | -65,1 | —                   | -123,3 | —      | -122,7 | —      | -123,1 | —      | -121,8 | —      |
| G <sub>bx</sub> = - $\frac{N_p}{A_{red}}$ - $\frac{N_p(y_c' - \alpha'_p)}{W_{red}}$ - $\frac{M}{W_{red}}$ ≤ R <sub>b,mc2</sub>          |                                       | мпа                                      | —     | -5,8  | —     | -5,5  | —     | -5,5  | —     | -5,6                | —      | -11,5  | —      | -11,4  | —      | -11,3  | —      | -11,1  |
|                                                                                                                                         |                                       | кес см <sup>2</sup>                      | —     | -58,8 | —     | -56,6 | —     | -56,6 | —     | -56,7               | —      | -117,1 | —      | -116,7 | —      | -114,9 | —      | -113,2 |
| G <sub>by</sub> = - $\frac{N_p}{A_{red}}$ - $\frac{N_p(y_c - \alpha_p)}{W_{red}}$ + $\frac{M}{W_{red}}$ ≤ 0,4R <sub>bt,ser</sub>        |                                       | мпа                                      | 0,4   | —     | 0,7   | —     | 0,7   | —     | 0,5   | —                   | 0,6    | —      | 0,4    | —      | 0,7    | —      | 0,83   | —      |
|                                                                                                                                         |                                       | кес см <sup>2</sup>                      | 4,4   | —     | 7,0   | —     | 7,0   | —     | 6,0   | —                   | 5,7    | —      | 4,1    | —      | 7,3    | —      | 8,44   | —      |
| G <sub>by</sub> = - $\frac{N_p}{A_{red}}$ + $\frac{N_p(y_c' - \alpha'_p)}{W_{red}}$ + $\frac{M}{W_{red}}$ ≤ 0,4R <sub>bt,ser</sub>      |                                       | мпа                                      | —     | -0,4  | —     | -0,2  | —     | -0,3  | —     | -0,3                | —      | -0,6   | —      | -0,8   | —      | -0,7   | —      | -0,6   |
|                                                                                                                                         |                                       | кес см <sup>2</sup>                      | —     | -4,1  | —     | -2,4  | —     | -2,6  | —     | -3,4                | —      | -6,2   | —      | -7,7   | —      | -6,8   | —      | -6,0   |
| M <sub>cb</sub>                                                                                                                         |                                       | кн·м                                     | 6,9   | 4,9   | 7,8   | 4,9   | 9,8   | 5,9   | 9,8   | 6,9                 | 6,9    | 3,9    | 7,8    | 3,9    | 9,8    | 4,9    | 9,8    | 4,9    |
|                                                                                                                                         |                                       | тс·м                                     | 0,7   | 0,5   | 0,8   | 0,5   | 1,0   | 0,6   | 1,0   | 0,7                 | 0,7    | 0,4    | 0,8    | 0,4    | 1,0    | 0,5    | 1,0    | 0,5    |
| N <sub>р</sub> = [G <sub>нк</sub> - (0,56 <sub>1</sub> + G <sub>3</sub> + G <sub>5</sub> + G <sub>6</sub> )] · A <sub>р</sub>           |                                       | кн                                       | 817   | 817   | 818   | 818   | 1041  | 1041  | 1115  | 1115                | 1768   | 1768   | 1914   | 1914   | 2357   | 2357   | 2432   | 2432   |
|                                                                                                                                         |                                       | тс                                       | 83,4  | 83,4  | 83,4  | 83,4  | 106,3 | 106,3 | 113,8 | 113,8               | 180,4  | 180,4  | 195,3  | 195,3  | 240,6  | 240,6  | 248,2  | 248,2  |
| G <sub>bx</sub> = - $\frac{N_p}{A_{red}}$ - $\frac{N_p(y_c - \alpha_p)}{W_{red}}$ + $\frac{M_{cb}}{W_{red}}$ ≤ R <sub>b,mc2</sub>       |                                       | мпа                                      | -4,2  | -4,5  | -3,7  | -4,2  | -3,8  | -4,2  | -3,9  | -4,3                | -10,0  | -10,6  | -10,1  | -10,7  | -9,7   | -10,4  | -9,6   | -10,2  |
|                                                                                                                                         |                                       | кес см <sup>2</sup>                      | -42,4 | -45,7 | -38,1 | -42,7 | -38,5 | -43,3 | -40,0 | -43,4               | -102,5 | -107,8 | -102,8 | -109,5 | -99,1  | -106,4 | -97,8  | -104,4 |
| G <sub>by</sub> = - $\frac{N_p}{A_{red}}$ + $\frac{N_p(y_c' - \alpha'_p)}{W_{red}}$ - $\frac{M_{cb}}{W_{red}}$ ≤ 0,8R <sub>bt,ser</sub> |                                       | мпа                                      | -2,9  | -2,5  | -2,8  | -2,4  | -2,8  | -2,3  | -2,8  | -2,4                | -4,2   | -3,7   | -4,3   | -3,7   | -4,2   | -3,6   | -4,1   | -3,5   |
|                                                                                                                                         |                                       | кес см <sup>2</sup>                      | -29,2 | -25,9 | -28,8 | -24,3 | -28,7 | -23,9 | -28,4 | -25,0               | -42,5  | -38,1  | -43,4  | -37,7  | -42,9  | -37,1  | -41,4  | -36,2  |

Потери предварительного напряжения в арматуре, мпа

| Наименование                  | расстояние между главными блоками, мм | расстояние между главными блоками, с, мм |      |       |      |      |      |       |      |                     |      |      |      |
|-------------------------------|---------------------------------------|------------------------------------------|------|-------|------|------|------|-------|------|---------------------|------|------|------|
|                               |                                       | 1900                                     |      |       |      | 2200 |      |       |      | ширина плиты, в, мм |      |      |      |
| потерь напряжений             |                                       | 1390                                     | 1490 | 1890  | 1990 | 1390 | 1490 | 1890  | 1990 | 1390                | 1490 | 1890 | 1990 |
| Релаксация напряжений         |                                       |                                          |      |       |      |      |      |       |      |                     |      |      |      |
|                               | б <sub>1</sub>                        |                                          |      | 101,5 |      |      |      | 101,5 |      |                     |      |      |      |
| Деформация анкеров*           | б <sub>3</sub>                        |                                          |      | 61,3  |      |      |      | 61,3  |      |                     |      |      |      |
| Деформация формы              | б <sub>5</sub>                        |                                          |      | 30,0  |      |      |      | 30,0  |      |                     |      |      |      |
| Быстро протекающая ползучесть | б <sub>6</sub>                        | 8,0                                      | 7,5  | 7,5   | 7,6  | 16,5 | 16,6 | 16,1  | 15,8 |                     |      |      |      |
| Усадка бетона                 | б <sub>7</sub>                        |                                          |      | 40,0  |      |      |      | 40,0  |      |                     |      |      |      |
| Ползучесть бетона             | б <sub>8</sub>                        | 29,7                                     | 27,8 | 27,8  | 28,4 | 60,7 | 61,3 | 59,4  | 58,3 |                     |      |      |      |

\* анкеров, расположенных у напряженных устройств. Потери определены для технологии, предусматривающей одновременное изоготовление двух плит с напряжением с одной стороны.

1. Нагрузки и несущая способность сечений плиты определены в соответствии со СНиП 2.05.03-84 с учетом дополнений и изменений, изложенных в проекте, изменений к СНиП (письмо ЦНИИС от 20.01.89 № 31116/35). Временная нагрузка С14.

2. Коэффициенты надежности по нагрузке (Y<sub>f</sub>) приняты равными:

Y<sub>f</sub> = 1,1 - для постоянных нагрузок;

Y<sub>f</sub> = 1,3 - для временной подвижной нагрузки.

3. Динамический коэффициент принят равным:

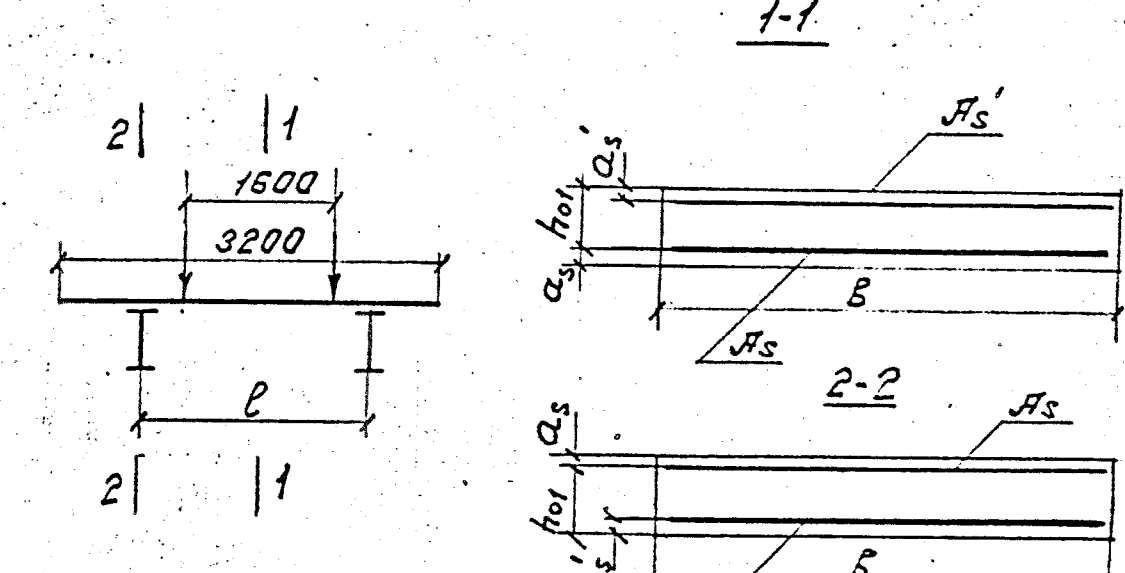
1 + μ = 1,5 - при расчете на прочность;

1 +  $\frac{2}{3} \mu$  = 1,33 - при расчете на выносливость.

4. Класс бетона по прочности на сжатие принят равным

8.40. Расчетные сопротивления:

| Расчетные формулы и обозначения                                                                                                                |                    | Расстояние между главными балками $B$ , мм |                |                |                |                |                |                |                |                |                |                 |                 |                 |                 |       |              |  |  |  |  |  |
|------------------------------------------------------------------------------------------------------------------------------------------------|--------------------|--------------------------------------------|----------------|----------------|----------------|----------------|----------------|----------------|----------------|----------------|----------------|-----------------|-----------------|-----------------|-----------------|-------|--------------|--|--|--|--|--|
|                                                                                                                                                |                    | 2000                                       |                |                |                |                |                |                | 2400           |                |                |                 |                 |                 |                 |       |              |  |  |  |  |  |
|                                                                                                                                                |                    | Ширина плиты $B$ , мм                      |                |                |                |                |                |                |                |                |                |                 |                 |                 |                 |       |              |  |  |  |  |  |
| Сечения                                                                                                                                        |                    |                                            |                |                |                |                |                |                |                |                |                |                 |                 |                 |                 |       |              |  |  |  |  |  |
|                                                                                                                                                |                    | 1-1                                        | 2-2            | 1-1            | 2-2            | 1-1            | 2-2            | 1-1            | 2-2            | 1-1            | 2-2            | 1-1             | 2-2             | 1-1             | 2-2             |       |              |  |  |  |  |  |
| h <sub>01</sub>                                                                                                                                | см                 | 12.0                                       | 11.9           | 12.0           | 11.9           | 12.0           | 11.9           | 12.0           | 11.9           | 11.3           | 11.6           | 11.3            | 11.6            | 11.3            | 11.6            |       |              |  |  |  |  |  |
| a <sub>s</sub> (a' <sub>s</sub> )                                                                                                              | см                 | 4.0                                        | 4.0            | 4.0            | 4.0            | 4.0            | 4.0            | 4.0            | 4.0            | 4.7            | 4.7            | 4.7             | 4.7             | 4.7             | 4.7             |       |              |  |  |  |  |  |
| a' <sub>s</sub> (a <sub>s</sub> )                                                                                                              | см                 | 4.1                                        | 4.1            | 4.1            | 4.1            | 4.1            | 4.1            | 4.1            | 4.4            | 4.4            | 4.4            | 4.4             | 4.4             | 4.4             | 4.4             |       |              |  |  |  |  |  |
| A <sub>s</sub> (A' <sub>s</sub> )                                                                                                              | см <sup>2</sup>    | 12818<br>30,48                             | 12818<br>35,56 | 14818<br>35,56 | 14818<br>40,64 | 16818<br>40,64 | 16818<br>45,72 | 18818<br>45,72 | 12932<br>96,48 | 12932<br>96,48 | 12932<br>96,48 | 12932<br>102,16 | 12932<br>102,16 | 12932<br>102,16 | 12932<br>102,16 |       |              |  |  |  |  |  |
| A' <sub>s</sub> (A <sub>s</sub> )                                                                                                              | см <sup>2</sup>    | 12810<br>9,42                              | 12810<br>9,42  | 12810<br>9,42  | 12810<br>12,56 | 16810<br>12,56 | 16810<br>12,56 | 18810<br>12,56 | 12916<br>24,12 | 12916<br>24,12 | 12916<br>24,12 | 12916<br>32,16  | 12916<br>32,16  | 12916<br>32,16  | 12916<br>32,16  |       |              |  |  |  |  |  |
| M                                                                                                                                              | кНм                | 76                                         | 17             | 82             | 18             | 104            | 22             | 109            | 23             | 153            | 31             | 164             | 33              | 208             | 42              | 219   | 44           |  |  |  |  |  |
| X <sub>r1</sub>                                                                                                                                | см                 | 7,8                                        | 1,7            | 8,4            | 1,8            | 10,6           | 2,2            | 11,1           | 2,3            | 15,6           | 3,2            | 16,7            | 3,4             | 21,2            | 4,3             | 22,3  | 4,5          |  |  |  |  |  |
| X <sub>r2</sub> = $\frac{R_s A_s}{R_b B}$                                                                                                      | см                 | 3,6                                        | 1,1            | 3,9            | 1,0            | 3,5            | 1,1            | 3,8            | 1,0            | 7,5            | 1,9            | 7,1             | 1,8             | 7,5             | 1,9             | 7,1   | 1,8          |  |  |  |  |  |
| M <sub>np</sub> = R <sub>b</sub> B X <sub>r1</sub> (h <sub>01</sub> - 0,5 X <sub>r1</sub> )                                                    | кНм                | 102,9                                      | 35,3           | 117,6          | 34,3           | 136,2          | 47,0           | 153,9          | 46,1           | 237,2          | 84,3           | 245,1           | 86,2            | 319,9           | 114,7           | 327,3 | 114,7        |  |  |  |  |  |
| X <sub>2</sub> = $\frac{R_s A_s - R_{sc} A'_s}{R_b B}$                                                                                         | см                 | —                                          | —              | —              | —              | —              | —              | —              | —              | —              | —              | —               | —               | —               | —               | —     |              |  |  |  |  |  |
| K = 1 - $\frac{2a'_s - X_2}{a'_s}$                                                                                                             | —                  | —                                          | —              | —              | —              | —              | —              | —              | —              | —              | —              | —               | —               | —               | —               | —     |              |  |  |  |  |  |
| X <sub>2</sub> ' = $\frac{R_s A_s - K R_{sc} A'_s}{R_b B}$                                                                                     | см                 | —                                          | —              | —              | —              | —              | —              | —              | —              | —              | —              | —               | —               | —               | —               | —     |              |  |  |  |  |  |
| M <sub>np</sub> = R <sub>b</sub> B X <sub>2</sub> ' (h <sub>01</sub> - 0,5 X <sub>2</sub> ') + K R <sub>sc</sub> A'_s (h <sub>01</sub> - a'_s) | кНм                | —                                          | —              | —              | —              | —              | —              | —              | —              | —              | —              | —               | —               | —               | —               | —     |              |  |  |  |  |  |
| Q <sup>H</sup>                                                                                                                                 | кН                 | —                                          | 195            | —              | 209            | —              | 266            | —              | 279            | —              | 196            | —               | 211             | —               | 268             | —     | 281          |  |  |  |  |  |
| Q <sup>C</sup>                                                                                                                                 | тс                 | —                                          | 19,9           | —              | 21,3           | —              | 27,1           | —              | 28,5           | —              | 20,0           | —               | 21,5            | —               | 27,3            | —     | 28,7         |  |  |  |  |  |
| S = $\frac{b h_0^2}{8}$                                                                                                                        | см <sup>3</sup>    | —                                          | 2502           | —              | 2682           | —              | 3402           | —              | 3582           | —              | 2219           | —               | 2378            | —               | 3047            | —     | 3176         |  |  |  |  |  |
| J = $\frac{b h_0^3}{12}$                                                                                                                       | см <sup>4</sup>    | —                                          | 20016          | —              | 21456          | —              | 27216          | —              | 28656          | —              | 16714          | —               | 17916           | —               | 22726           | —     | 23928        |  |  |  |  |  |
| Z <sub>a</sub> = $\frac{Q^H \cdot S}{J \cdot b} \leq R_{b,sh}$                                                                                 | МПа                | —                                          | 1,8            | —              | 1,8            | —              | 1,8            | —              | 1,8            | —              | 1,9            | —               | 1,9             | —               | 1,9             | —     | 1,9          |  |  |  |  |  |
| Z <sub>a</sub> = $\frac{R_c^H \cdot S}{J \cdot b} \leq R_{b,sh}$                                                                               | кн/см <sup>2</sup> | —                                          | 17,9           | —              | 17,9           | —              | 17,9           | —              | 17,9           | —              | 19,1           | —               | 19,1            | —               | 19,1            | —     | 19,1         |  |  |  |  |  |
| J <sub>sw</sub>                                                                                                                                | см <sup>2</sup>    | —                                          | 1288<br>6,04   | —              | 1288<br>6,04   | —              | 1648<br>8,05   | —              | 1648<br>8,05   | —              | 1288<br>6,04   | —               | 1288<br>6,04    | —               | 1648<br>8,05    | —     | 1648<br>8,05 |  |  |  |  |  |
| S <sub>w</sub>                                                                                                                                 | см                 | —                                          | 8              | —              | 8              | —              | 8              | —              | 8              | —              | 8              | —               | 8               | —               | 8               | —     | 8            |  |  |  |  |  |
| C = h <sub>01</sub> · tg 45°                                                                                                                   | см                 | —                                          | 12,0           | —              | 12,0           | —              | 12,0           | —              | 12,0           | —              | 11,3           | —               | 11,3            | —               | 11,3            | —     | 11,3         |  |  |  |  |  |
| m = 1,3 + 0,4 ( $\frac{R_{b,sh}}{Z_a} - 1$ )                                                                                                   | —                  | —                                          | 1,73           | —              | 1,73           | —              | 1,73           | —              | 1,73           | —              | 1,67           | —               | 1,67            | —               | 1,67            | —     | 1,67         |  |  |  |  |  |
| Q <sub>b,np</sub> = m R <sub>b,t</sub> B h <sub>01</sub>                                                                                       | кН                 | —                                          | 368            | —              | 394            | —              | 500            | —              | 526            | —              | 399            | —               | 427             | —               | 542             | —     | 570          |  |  |  |  |  |
| Q <sub>b,np</sub>                                                                                                                              | тс                 | —                                          | 37,5           | —              | 40,2           | —              | 51,0           | —              | 53,7           | —              | 40,7           | —               | 43,6            | —               | 55,3            | —     | 58,2         |  |  |  |  |  |
| Q <sub>b</sub> = $\frac{2R_{b,t} B h_0^2}{C} \leq Q_{b,np}$                                                                                    | кН                 | —                                          | 425            | —              | 456            | —              | 578            | —              | 609            | —              | 477            | —               | 512             | —               | 649             | —     | 683          |  |  |  |  |  |
| Q <sub>b</sub> = $\frac{2R_{b,t} B h_0^2}{C} \leq Q_{b,np}$                                                                                    | тс                 | —                                          | 43,4           | —              | 46,5           | —              | 59,0           | —              | 62,1           | —              | 48,7           | —               | 52,2            | —               | 66,2            | —     | 69,7         |  |  |  |  |  |
| m <sub>04</sub> R <sub>s</sub> A <sub>sw</sub> = R <sub>sw</sub> A <sub>sw</sub>                                                               | кН                 | —                                          | 97             | —              | 97             | —              | 129            | —              | 129            | —              | 97             | —               | 97              | —               | 129             | —     | 129          |  |  |  |  |  |
| Q <sub>np</sub> = R <sub>sw</sub> A <sub>sw</sub> + Q <sub>b,np</sub> ≥ Q                                                                      | тс                 | —                                          | 9,9            | —              | 9,9            | —              | 13,2           | —              | 13,2           | —              | 9,9            | —               | 9,9             | —               | 13,2            | —     | 13,2         |  |  |  |  |  |
| Q                                                                                                                                              | кН                 | —                                          | 465            | —              | 491            | —              | 629            | —              | 656            | —              | 496            | —               | 524             | —               | 671             | —     | 700          |  |  |  |  |  |
| Q                                                                                                                                              | тс                 | —                                          | 47,4           | —              | 50,1           | —              | 64,2           | —              | 66,9           | —              | 50,6           | —               | 53,5            | —               | 68,5            | —     | 71,4         |  |  |  |  |  |
| Q                                                                                                                                              | кН                 | —                                          | 377            | —              | 405            | —              | 513            | —              | 540            | —              | 378            | —               | 406             | —               | 515             | —     | 542          |  |  |  |  |  |
| Q                                                                                                                                              | тс                 | —                                          | 38,5           | —              | 41,3           | —              | 52,3           | —              | 55,1           | —              | 38,6           | —               | 41,4            | —               | 52,5            | —     | 55,3         |  |  |  |  |  |



1. Нагрузки и несущая способность сечений плиты определены в соответствии со СНиП 2.05.03-84 с учетом дополнений и изменений, изложенных в проекте „Узменный“ СНиП (письмо ЦНИИС от 20.01.89 № 53116/35), методика определения усилий в сечениях плиты принята по „Инструкции по применению безбалластного мостового полотна на железобетонных плитах на металлических пролетных строениях железнодорожных постов“ утвержденной ЦП МПС 23.08.79г и заданию на разработку документации.
2. Расчетные нагрузки на плиту приведены на листе 897.0-04.
3. Класс бетона плит по прочности на сжатие принят В40 – для пролетных строений с расстоянием между осями главных балок 2,0 м и менее и В60 – для пролетных строений с расстоянием между осями главных балок от 2,1 м до 2,4 м.

- Расчетные сопротивления:
- для бетона класса В40  $R_b = 20 \text{ МПа} (205 \text{ кес}/\text{см}^2)$  – приземная прочность;
  - $R_{b,sh} = 3,6 \text{ МПа} (37 \text{ кес}/\text{см}^2)$  – скатывание при изгибе;
  - $R_{b,t} = 19,6 \text{ МПа} (200 \text{ кес}/\text{см}^2)$  – при изгибе;
  - для бетона класса В60  $R_b = 30 \text{ МПа} (305 \text{ кес}/\text{см}^2)$  – приземная прочность;
  - $R_{b,sh} = 4,75 \text{ МПа} (48,5 \text{ кес}/\text{см}^2)$  – скатывание при изгибе;
  - $R_{b,t} = 36,2 \text{ МПа} (370 \text{ кес}/\text{см}^2)$  – при изгибе;
  - $R_{b,mc} = 30 \text{ МПа} (305 \text{ кес}/\text{см}^2)$  – в стадии эксплуатации.

| Исполнит | Коен В | Коен  | 897.0-05 |
|----------|--------|-------|----------|
| Проверил | Борук  | Авер  |          |
| Науч.ёр. | Коен В | Борук |          |
| Дир.инж  | Коен В | Борук |          |
| Лаб.ин   |        |       |          |

| Расчеты                                                                                                                   |  | Формулы и обозначения | 1390  | 1490  | 1890  | 1990  | 1390  | 1490  | 1890  | 1990  | Расстояние между гибкими болтами $B$ , мм |       |       |       |       |
|---------------------------------------------------------------------------------------------------------------------------|--|-----------------------|-------|-------|-------|-------|-------|-------|-------|-------|-------------------------------------------|-------|-------|-------|-------|
|                                                                                                                           |  |                       |       |       |       |       |       |       |       |       | 2000 2400                                 |       |       |       |       |
|                                                                                                                           |  | Ширина плиты $B$ , мм |       |       |       |       |       |       |       |       |                                           |       |       |       |       |
|                                                                                                                           |  | 1390                  | 1490  | 1890  | 1990  | 1390  | 1490  | 1890  | 1990  |       | Сечения                                   |       |       |       |       |
| 1-1 2-2 1-1 2-2 1-1 2-2 1-1 2-2 1-1 2-2 1-1 2-2 1-1 2-2                                                                   |  |                       |       |       |       |       |       |       |       |       |                                           |       |       |       |       |
| $M_w = \frac{F_{sw}}{S_{sw}}$                                                                                             |  | -                     | -     | 0,005 | -     | 0,005 | -     | 0,005 | -     | 0,005 | -                                         | 0,005 | -     | 0,005 |       |
| $\varphi_{w_1} = 1 + 1/2 \gamma, M_w$                                                                                     |  | -                     | -     | 1,16  | -     | 1,16  | -     | 1,16  | -     | 1,16  | -                                         | 1,16  | -     | 1,16  |       |
| $\varphi_{\beta_1} = 1 - 0,01 R_s$                                                                                        |  | -                     | -     | 0,8   | -     | 0,8   | -     | 0,8   | -     | 0,7   | -                                         | 0,7   | -     | 0,7   |       |
| $Q_{np} = 0,3 \varphi_{w_1} \varphi_{\beta_1} R_s B h_{01} \geq Q$                                                        |  | KH                    | -     | 933   | -     | 1000  | -     | 1268  | -     | 1336  | -                                         | 1444  | -     | 1226  |       |
|                                                                                                                           |  | TC                    | -     | 95,2  | -     | 102,0 | -     | 129,4 | -     | 136,3 | -                                         | 116,7 | -     | 125,1 |       |
|                                                                                                                           |  |                       |       |       |       |       |       |       |       |       |                                           |       |       |       |       |
| $M_{max}$                                                                                                                 |  | KHM                   | 52,9  | 11,6  | 56,8  | 12,4  | 71,5  | 15,7  | 75,5  | 16,7  | 105,8                                     | 21,6  | 113,7 | 23,1  | 144,1 |
|                                                                                                                           |  | TCM                   | 5,40  | 1,18  | 5,80  | 1,27  | 7,30  | 1,60  | 7,70  | 1,70  | 10,80                                     | 2,20  | 11,60 | 2,36  | 14,70 |
| $M_{min}$                                                                                                                 |  | KHM                   | 1,76  | 1,00  | 1,86  | 1,08  | 2,55  | 1,37  | 2,55  | 1,47  | 3,53                                      | 0,39  | 3,72  | 0,49  | 4,99  |
|                                                                                                                           |  | TCM                   | 0,18  | 0,10  | 0,19  | 0,11  | 0,26  | 0,14  | 0,26  | 0,15  | 0,36                                      | 0,04  | 0,38  | 0,05  | 0,51  |
| $x' = -\frac{n'(A_s + A_s')}{6} + \sqrt{\left(\frac{n'(A_s + A_s')}{6}\right)^2 + \frac{2n'}{6}(A_s h_{01} + A_s' a_s')}$ |  | cm                    | 5,28  | 3,60  | 5,44  | 3,56  | 5,25  | 3,58  | 5,37  | 3,55  | 7,05                                      | 4,77  | 6,94  | 4,71  | 7,02  |
| $J_{red} = \frac{6(x')^3}{3} + n'A_s(h_{01} - x')^2 + n'A_s'(x' - a_s')^2$                                                |  | cm <sup>4</sup>       | 20716 | 8651  | 23468 | 8793  | 27800 | 11585 | 30573 | 11706 | 35356                                     | 16280 | 36500 | 16640 | 47567 |
| $G_{s,min} = \frac{n'M_{min}}{J_{red}} \cdot (h - a_s - x') \leq m_{s1} R_s$                                              |  | MПа                   | 5,7   | 9,4   | 5,2   | 10,2  | 6,2   | 9,8   | 5,5   | 10,5  | 4,2                                       | 1,6   | 4,4   | 2,0   | 4,5   |
|                                                                                                                           |  | $\frac{K_{2C}}{cm^2}$ | 58,4  | 95,9  | 53,1  | 104,3 | 63,1  | 100,5 | 56,4  | 107,0 | 43,3                                      | 16,8  | 45,4  | 20,7  | 45,9  |
| $G_{s,max} = \frac{n'M_{max}}{J_{red}} \cdot (h - a_s - x') \leq m_{s1} R_s$                                              |  | MПа                   | 171,7 | 110,9 | 150,8 | 118,1 | 173,7 | 112,6 | 163,7 | 118,9 | 127,4                                     | 90,5  | 135,8 | 95,7  | 129,7 |
|                                                                                                                           |  | $\frac{K_{2C}}{cm^2}$ | 1752  | 1132  | 1621  | 1205  | 1772  | 1149  | 1670  | 1213  | 1300                                      | 92,3  | 1386  | 97,7  | 1323  |
| $\rho_s = \frac{G_{s,min}}{G_{s,max}}$                                                                                    |  | -                     | 0,033 | 0,085 | 0,033 | 0,087 | 0,036 | 0,087 | 0,034 | 0,088 | 0,033                                     | 0,018 | 0,033 | 0,021 | 0,034 |
| $m_{s1} R_s = E_{ps} \beta_{pw} R_s$                                                                                      |  | MПа                   | 180,6 | 185,6 | 180,6 | 185,8 | 180,9 | 185,8 | 180,7 | 185,9 | 180,6                                     | 117,2 | 180,6 | 117,4 | 180,8 |
|                                                                                                                           |  | $\frac{K_{2C}}{cm^2}$ | 1843  | 1894  | 1843  | 1896  | 1846  | 1896  | 1844  | 1897  | 1843                                      | 1196  | 1843  | 1198  | 1845  |
| $G_{s,min} = \frac{M_{min}}{J_{red}} \cdot x' \leq m_{s1} R_s$                                                            |  | MПа                   | 0,5   | 0,4   | 0,4   | 0,4   | 0,5   | 0,4   | 0,5   | 0,4   | 0,7                                       | 0,1   | 0,7   | 0,1   | 0,7   |
|                                                                                                                           |  | $\frac{K_{2C}}{cm^2}$ | 4,6   | 4,2   | 4,4   | 4,4   | 4,9   | 4,3   | 4,6   | 4,5   | 7,2                                       | 1,2   | 7,2   | 1,4   | 7,5   |
| $G_{s,max} = \frac{M_{max}}{J_{red}} \cdot x' \leq m_{s1} R_s$                                                            |  | MПа                   | 13,5  | 4,8   | 13,2  | 5,0   | 13,5  | 4,8   | 13,2  | 5,1   | 21,1                                      | 6,3   | 21,6  | 6,5   | 21,3  |
|                                                                                                                           |  | $\frac{K_{2C}}{cm^2}$ | 137,6 | 49,1  | 134,4 | 51,4  | 137,9 | 49,4  | 135,2 | 51,6  | 215,4                                     | 64,5  | 220,0 | 66,8  | 216,9 |
| $\rho_s = \frac{G_{s,min}}{G_{s,max}}$                                                                                    |  | -                     | 0,033 | 0,085 | 0,033 | 0,086 | 0,036 | 0,087 | 0,034 | 0,087 | 0,033                                     | 0,019 | 0,033 | 0,021 | 0,035 |
| $m_{s1} R_s = 0,5 \beta_s E_s R_s$                                                                                        |  | MПа                   | 15,2  | 15,2  | 15,2  | 15,2  | 15,2  | 15,2  | 15,2  | 15,2  | 21,6                                      | 21,6  | 21,6  | 21,6  | 21,6  |
|                                                                                                                           |  | $\frac{K_{2C}}{cm^2}$ | 155   | 155   | 155   | 155   | 155   | 155   | 155   | 155   | 220                                       | 220   | 220   | 220   | 220   |

4. Ароматурд по ГОСТ 5781-82 периодического профилия из стали класса А-III марки 25Г2С, расчетное сопротивление 330 МПа (3350 кгс/см<sup>2</sup>). Гладкая из стали класса А-I марки 25СП2, расчетное сопротивление 200 МПа (2050 кгс/см<sup>2</sup>).

5. Обозначения в скобках даны для сечения 2-2.

Лист 2/18  
Бланк № 4070 19 г.  
Справочник № 897.0 - 05

|                                     |  | Расстояние между главными балками $P$ , мм                                              |                       |       |       |       |       |       |       |                        |       |       |       |       |       |       |       |       |       |
|-------------------------------------|--|-----------------------------------------------------------------------------------------|-----------------------|-------|-------|-------|-------|-------|-------|------------------------|-------|-------|-------|-------|-------|-------|-------|-------|-------|
|                                     |  | 2000                                                                                    |                       |       |       | 2400  |       |       |       | Ширина панели $b$ , мм |       |       |       |       |       |       |       |       |       |
|                                     |  | 1390                                                                                    |                       | 1490  |       | 1890  |       | 1990  |       | 1390                   |       | 1490  |       | 1890  |       |       |       |       |       |
|                                     |  | 1-1                                                                                     | 2-2                   | 1-1   | 2-2   | 1-1   | 2-2   | 1-1   | 2-2   | 1-1                    | 2-2   | 1-1   | 2-2   | 1-1   | 2-2   |       |       |       |       |
| <b><i>Формулы и обозначения</i></b> |  |                                                                                         |                       |       |       |       |       |       |       |                        |       |       |       |       |       |       |       |       |       |
| Расчеты                             |  | <b>Сечения</b>                                                                          |                       |       |       |       |       |       |       |                        |       |       |       |       |       |       |       |       |       |
| по методу<br>предельного состояния  |  | 1-1                                                                                     | 2-2                   | 1-1   | 2-2   | 1-1   | 2-2   | 1-1   | 2-2   | 1-1                    | 2-2   | 1-1   | 2-2   | 1-1   | 2-2   |       |       |       |       |
| из условия прочности сечения        |  | M                                                                                       | KНм                   | 40    | 9     | 43    | 10    | 54    | 12    | 57                     | 13    | 80    | 16    | 86    | 18    | 109   | 22    | 114   | 23    |
| из условия прочности сечения        |  |                                                                                         | Tсм                   | 4,1   | 0,9   | 4,4   | 1,0   | 5,5   | 1,2   | 5,8                    | 1,3   | 8,2   | 1,6   | 8,8   | 1,8   | 11,1  | 2,2   | 11,6  | 2,3   |
| из условия прочности сечения        |  | $Z = h_{or} - 0,5x$                                                                     | см                    | 10,2  | 11,4  | 10,1  | 11,4  | 10,3  | 11,4  | 10,1                   | 11,4  | 7,5   | 10,7  | 7,7   | 10,7  | 7,5   | 10,7  | 7,7   | 10,7  |
| из условия прочности сечения        |  | $G_s = \frac{M}{J_s Z}$                                                                 | MПа                   | 129,3 | 82,1  | 120,1 | 91,2  | 128,8 | 82,1  | 123,1                  | 89,0  | 106,8 | 60,8  | 113,2 | 68,3  | 108,4 | 62,6  | 111,8 | 65,5  |
| из условия прочности сечения        |  | $A_z = (a_s + 6d)/b$ ; $a_s + 6d \leq h$                                                | см <sup>2</sup>       | 2057  | 1404  | 2205  | 1505  | 2797  | 1909  | 2945                   | 2010  | 2224  | 1946  | 2384  | 2086  | 3024  | 2646  | 3184  | 2786  |
| из условия прочности сечения        |  | $R_z = \frac{A_z}{\beta \pi d}$                                                         | см                    | 95,2  | 117,0 | 87,5  | 125,4 | 97,1  | 119,3 | 90,9                   | 125,6 | 57,9  | 101,4 | 62,9  | 108,6 | 59,7  | 103,4 | 62,2  | 108,8 |
| из условия прочности сечения        |  | $\Psi = 1,5 \sqrt{R_z}$                                                                 | -                     | 14,6  | 16,2  | 14,0  | 16,8  | 14,8  | 16,4  | 14,3                   | 16,8  | 11,4  | 15,1  | 17,8  | 15,6  | 11,5  | 15,2  | 11,8  | 15,6  |
| из условия прочности сечения        |  | $\alpha_{cz} = \frac{G_s}{E_s} \Psi \leq \Delta_{cz} = 0,03$                            | см                    | 0,010 | 0,007 | 0,009 | 0,008 | 0,010 | 0,007 | 0,009                  | 0,008 | 0,006 | 0,005 | 0,007 | 0,007 | 0,005 | 0,005 | 0,007 | 0,005 |
| из условия прочности сечения        |  | Q                                                                                       | KН                    | -     | 195   | -     | 209   | -     | 266   | -                      | 279   | -     | 196   | -     | 211   | -     | 268   | -     | 281   |
| из условия прочности сечения        |  |                                                                                         | TC                    | -     | 19,9  | -     | 21,3  | -     | 27,1  | -                      | 28,5  | -     | 20,0  | -     | 21,5  | -     | 27,3  | -     | 28,7  |
| из условия прочности сечения        |  | $P_c = \frac{f_{ck}}{5 \ln d}$                                                          | см                    | -     | 16,8  | -     | 16,8  | -     | 16,8  | -                      | 16,8  | -     | 16,4  | -     | 16,4  | -     | 16,4  | -     | 16,4  |
| из условия прочности сечения        |  | $J_z = 8 P_c$                                                                           | см <sup>2</sup>       | -     | 2335  | -     | 2503  | -     | 3175  | -                      | 3343  | -     | 2280  | -     | 2444  | -     | 3100  | -     | 3264  |
| из условия прочности сечения        |  | $\sum \beta_w n_w d_w \cos \delta$                                                      | см                    | -     | 6,8   | -     | 6,8   | -     | 9,0   | -                      | 9,0   | -     | 6,9   | -     | 6,8   | -     | 9,0   | -     | 9,0   |
| из условия прочности сечения        |  | $\sum \beta_w n_w d_w \sin \delta$                                                      | см                    | -     | 15,3  | -     | 17,8  | -     | 20,4  | -                      | 22,9  | -     | 27,1  | -     | 27,1  | -     | 36,2  | -     | 36,2  |
| из условия прочности сечения        |  | $R_z = \frac{A_z}{\sum \beta_w n_w d_w \cos \delta + \sum \beta_w n_w d_w \sin \delta}$ | см                    | -     | 105,7 | -     | 101,7 | -     | 108,0 | -                      | 104,8 | -     | 57,3  | -     | 72,7  | -     | 68,6  | -     | 72,2  |
| из условия прочности сечения        |  | $\Psi = 1,5 \sqrt{R_z}$                                                                 | -                     | -     | 15,4  | -     | 15,1  | -     | 15,6  | -                      | 15,4  | -     | 12,3  | -     | 12,7  | -     | 12,4  | -     | 12,7  |
| из условия прочности сечения        |  | $M = \frac{\sum J_w \cos \delta + \sum J_s \sin \delta}{8 P_c}$                         | -                     | -     | 0,011 | -     | 0,012 | -     | 0,011 | -                      | 0,011 | -     | 0,032 | -     | 0,030 | -     | 0,031 | -     | 0,030 |
| из условия прочности сечения        |  | $\delta = \frac{1}{1 + 0,5 / P_c M} \geq 0,75$                                          | -                     | -     | 0,75  | -     | 0,75  | -     | 0,75  | -                      | 0,75  | -     | 0,75  | -     | 0,75  | -     | 0,75  | -     | 0,75  |
| из условия прочности сечения        |  | $G_{st} = 1,5 \frac{Q}{6 h_{or}}$                                                       | MПа                   | -     | 1,8   | -     | 1,8   | -     | 1,8   | -                      | 1,8   | -     | 1,9   | -     | 1,9   | -     | 1,9   | -     | 1,9   |
| из условия прочности сечения        |  |                                                                                         | $\frac{K_{sc}}{cm^2}$ | -     | 17,9  | -     | 17,9  | -     | 17,9  | -                      | 17,9  | -     | 19,1  | -     | 19,2  | -     | 19,2  | -     | 19,1  |
| из условия прочности сечения        |  | $G_s = \delta \frac{G_{st}}{M}$                                                         | MПа                   | -     | 119,6 | -     | 109,7 | -     | 119,6 | -                      | 119,6 | -     | 43,9  | -     | 47,0  | -     | 45,6  | -     | 46,8  |
| из условия прочности сечения        |  |                                                                                         | $\frac{K_{sc}}{cm^2}$ | -     | 1220  | -     | 1119  | -     | 1220  | -                      | 1220  | -     | 443   | -     | 480   | -     | 465   | -     | 478   |
| из условия прочности сечения        |  | $\alpha_{cz} = \frac{G_s}{E_s} \Psi \leq \Delta_{cz} = 0,03$                            | см                    | -     | 0,009 | -     | 0,008 | -     | 0,010 | -                      | 0,009 | -     | 0,003 | -     | 0,003 | -     | 0,003 | -     | 0,003 |
| из условия прочности сечения        |  | $G_{bx} = \frac{M}{J_{zed}} x' \leq R_{b,mc2}$                                          | MПа                   | 10,2  | 3,7   | 10,0  | 4,0   | 10,2  | 3,6   | 10,0                   | 3,9   | 16,0  | 4,6   | 16,4  | 5,0   | 16,1  | 4,7   | 16,2  | 4,8   |
| из условия прочности сечения        |  |                                                                                         | $\frac{K_{sc}}{cm^2}$ | 104,5 | 37,5  | 102,0 | 40,5  | 103,9 | 37,1  | 101,9                  | 39,4  | 163,5 | 46,9  | 167,3 | 50,9  | 163,8 | 47,8  | 165,3 | 48,8  |

РЕКОМЕНДОВАНО  
ЧИСЛЕННОМ МЕТОДОМ  
4070 19 г.  
2/18

Расчеты

## Формулы и обозначения

| Расстояние между опорами $\ell$ , мм | 2300 |
|--------------------------------------|------|
| Ширина панели $b$ , мм               | 1890 |

2

1

3200

1500

2

1

As



|                                                                                            |  | Расстояние между главными балками Р, мм |       |       |       |       |       |       |       |       |       |       |       |       |
|--------------------------------------------------------------------------------------------|--|-----------------------------------------|-------|-------|-------|-------|-------|-------|-------|-------|-------|-------|-------|-------|
|                                                                                            |  | 2000                                    |       |       |       |       |       | 2300  |       |       |       |       |       |       |
|                                                                                            |  | Ширина панели в, мм                     |       |       |       |       |       |       |       |       |       |       |       |       |
|                                                                                            |  | 1390                                    | 1490  | 1890  | 1990  | 1390  | 1490  | 1890  | 1990  | 1390  | 1490  | 1890  | 1990  |       |
| Сечения                                                                                    |  |                                         |       |       |       |       |       |       |       |       |       |       |       |       |
|                                                                                            |  | 1-1                                     | 2-2   | 1-1   | 2-2   | 1-1   | 2-2   | 1-1   | 2-2   | 1-1   | 2-2   | 1-1   | 2-2   |       |
| <i>M</i>                                                                                   |  | KНм                                     | 40,2  | 8,8   | 43,1  | 9,8   | 53,9  | 11,8  | 56,8  | 12,7  | 70,3  | 14,6  | 75,3  | 15,7  |
| <i>Tсм</i>                                                                                 |  | TCM                                     | 4,1   | 0,9   | 4,4   | 1,0   | 5,5   | 1,2   | 5,8   | 1,3   | 7,2   | 1,5   | 7,7   | 1,6   |
| <i>Z = h_0 - 0,5x</i>                                                                      |  | cm                                      | 10,2  | 11,4  | 10,1  | 11,4  | 10,3  | 11,4  | 10,1  | 11,4  | 7,5   | 10,7  | 7,7   | 10,7  |
| <i>G_s = \frac{M}{A_s Z}</i>                                                               |  | MПa                                     | 129,3 | 82,1  | 120,1 | 91,2  | 128,8 | 82,1  | 123,1 | 89,0  | 97,5  | 56,9  | 101,5 | 60,8  |
| <i>\frac{K_{2c}}{c^2}</i>                                                                  |  | c <sup>2</sup>                          | 1319  | 838   | 1225  | 931   | 1314  | 838   | 1256  | 908   | 995   | 581   | 1036  | 620   |
| <i>A_z = (a_s + 6d) b ; a_s + 6d \leq h</i>                                                |  | cm <sup>2</sup>                         | 2057  | 1404  | 2205  | 1505  | 2797  | 1909  | 2945  | 2010  | 2224  | 1946  | 2384  | 2086  |
| <i>R_z = \frac{A_z}{\beta \pi d}</i>                                                       |  | cm                                      | 95,2  | 117,0 | 87,5  | 125,4 | 97,1  | 119,3 | 90,9  | 125,6 | 57,9  | 101,4 | 62,1  | 108,6 |
| <i>\Psi = 1,5 \sqrt{R_z}</i>                                                               |  | -                                       | 14,6  | 16,2  | 14,0  | 16,8  | 14,8  | 16,4  | 14,3  | 16,8  | 11,4  | 15,1  | 11,8  | 15,6  |
| <i>a_{cz} = \frac{G_s}{E_s} ; \Psi \leq \Delta_{cz} = 0,03</i>                             |  | cm                                      | 0,009 | 0,006 | 0,008 | 0,007 | 0,009 | 0,007 | 0,009 | 0,007 | 0,005 | 0,004 | 0,006 | 0,005 |
| <i>Q</i>                                                                                   |  | KН                                      | -     | 195   | -     | 209   | -     | 266   | -     | 279   | -     | 196   | -     | 24    |
| <i>Tс</i>                                                                                  |  | TC                                      | -     | 19,9  | -     | 21,3  | -     | 27,1  | -     | 28,5  | -     | 20,0  | -     | 21,5  |
| <i>P_c = \frac{h_0}{sin \alpha}</i>                                                        |  | cm                                      | -     | 16,8  | -     | 16,8  | -     | 16,8  | -     | 16,8  | -     | 16,4  | -     | 16,4  |
| <i>H_c = 8 P_c</i>                                                                         |  | cm <sup>2</sup>                         | -     | 2335  | -     | 2503  | -     | 3175  | -     | 3343  | -     | 2380  | -     | 2444  |
| <i>\sum \beta_w n_w d_w cos \alpha</i>                                                     |  | cm                                      | -     | 6,8   | -     | 6,8   | -     | 9,0   | -     | 9,0   | -     | 6,8   | -     | 6,8   |
| <i>\sum \beta_w n_w d_w sin \alpha</i>                                                     |  | cm                                      | -     | 15,3  | -     | 17,8  | -     | 20,4  | -     | 22,9  | -     | 27,1  | -     | 36,2  |
| <i>R_z = \frac{A_z}{\sum \beta_w n_w d_w cos \alpha + \sum \beta_w n_w d_w sin \alpha}</i> |  | cm                                      | -     | 105,7 | -     | 101,7 | -     | 108,0 | -     | 104,8 | -     | 67,3  | -     | 72,1  |
| <i>\Psi = 1,5 \sqrt{R_z}</i>                                                               |  | -                                       | -     | 15,4  | -     | 15,1  | -     | 15,6  | -     | 15,4  | -     | 12,3  | -     | 12,7  |
| <i>M = \frac{\sum R_w n_w cos \alpha + \sum \beta_s n_s sin \alpha}{8 P_c}</i>             |  | -                                       | -     | 0,011 | -     | 0,012 | -     | 0,011 | -     | 0,011 | -     | 0,032 | -     | 0,030 |
| <i>\delta = \frac{1}{1 + 0,5 / P_c M} \geq 0,75</i>                                        |  | -                                       | -     | 0,75  | -     | 0,75  | -     | 0,75  | -     | 0,75  | -     | 0,75  | -     | 0,75  |
| <i>G_{st} = 1,5 \frac{Q}{6 h_0}</i>                                                        |  | MПa                                     | -     | 1,8   | -     | 1,8   | -     | 1,8   | -     | 1,8   | -     | 1,9   | -     | 1,9   |
| <i>\frac{K_{2c}}{c^2}</i>                                                                  |  | c <sup>2</sup>                          | -     | 17,9  | -     | 17,9  | -     | 17,9  | -     | 17,9  | -     | 19,1  | -     | 19,2  |
| <i>G_s = \delta \frac{G_{st}}{M}</i>                                                       |  | MПa                                     | -     | 119,6 | -     | 109,7 | -     | 119,6 | -     | 119,6 | -     | 43,9  | -     | 47,0  |
| <i>\frac{K_{2c}}{c^2}</i>                                                                  |  | c <sup>2</sup>                          | -     | 122,0 | -     | 1119  | -     | 1220  | -     | 1220  | -     | 44,8  | -     | 480   |
| <i>a_{cz} = \frac{G_s}{E_s} ; \Psi \leq \Delta_{cz} = 0,03</i>                             |  | cm                                      | -     | 0,009 | -     | 0,008 | -     | 0,009 | -     | 0,009 | -     | 0,003 | -     | 0,003 |
| <i>G_{bx} = \frac{M}{J_{red}} ; x' \leq R_{bx, mc2}</i>                                    |  | MПa                                     | 10,2  | 3,7   | 10,0  | 4,0   | 10,2  | 3,6   | 10,0  | 3,9   | 14,1  | 4,3   | 14,3  | 4,4   |
|                                                                                            |  | K <sub>2c</sub>                         | 104,5 | 37,5  | 102,0 | 40,5  | 103,9 | 37,1  | 101,9 | 39,4  | 143,6 | 43,9  | 146,4 | 45,3  |

Проект № 4070  
Изменение № 2/22

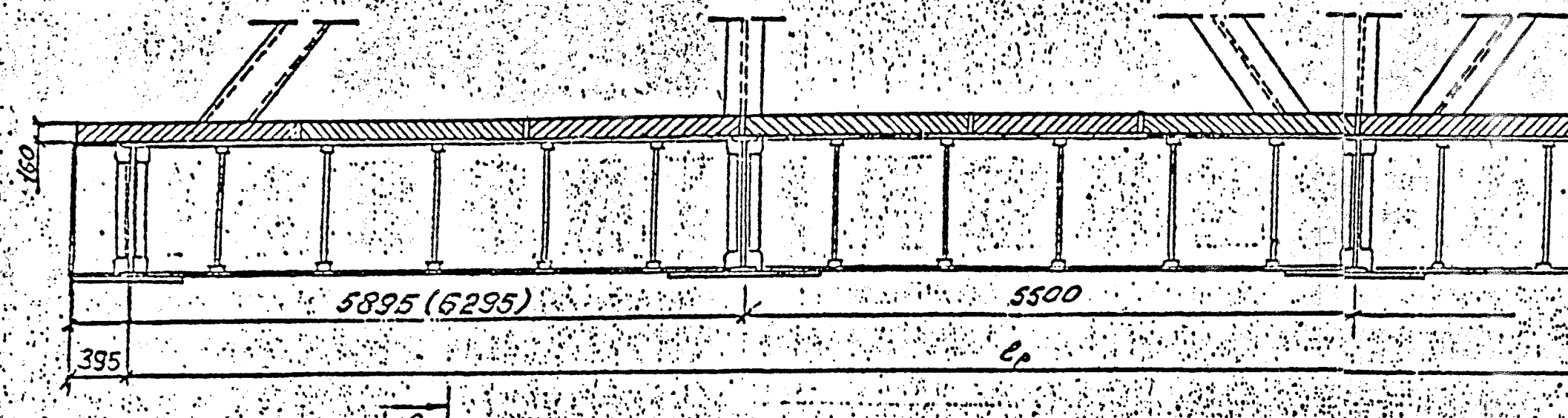
三

(верхнее строение путей не показано)

3

2

1



3-3  
заполнение швов не показано

The diagram illustrates a bridge girder section with a height of 1250 mm. It shows six different reinforcement layouts for the top flange, each labeled with its corresponding identification code:

- (1490) 1990
- (10) 1890 (2x1390)
- 10 1990
- 10 1990
- 10 1990
- 10 1990

Below the top flange, there are two rows of reinforcement. The bottom row consists of rectangular bars, and the middle row consists of square bars. The reinforcement details are as follows:

- Top Flange Reinforcement:**
  - (1490) 1990: 4x500 mm²
  - (10) 1890 (2x1390): 2x500 mm² + 2x900 mm²
  - 10 1990: 500 mm² (500) mm²
- Bottom Flange Reinforcement:**
  - (1490) 1990: 4x500 mm²
  - (10) 1890 (2x1390): 4x500 mm²
  - 10 1990: 4x500 mm²
- Middle Row Reinforcement:**
  - (1490) 1990: 4x500 mm²
  - (10) 1890 (2x1390): 4x500 mm²
  - 10 1990: 4x500 mm²

Спецификация методов скреплений на пролетное строение

| Н/п | Наименование                       | Кол. на пакет. стр. |       |       |       |       | Обозначение | Масса<br>ед.,<br>кг |
|-----|------------------------------------|---------------------|-------|-------|-------|-------|-------------|---------------------|
|     |                                    | 33,79               | 34,59 | 44,79 | 45,59 | 55,79 |             |                     |
| 1   | Шпилька М22×370                    | 100                 | 100   | 132   | 132   | 164   | 897.0-12    | 1,1                 |
| 2   | Шайба 200×110×20                   | 100                 | 100   | 132   | 132   | 164   | 897.0-12    | 3,4                 |
| 3   | Резиновая шайба 9-220×120          | 100                 | 100   | 132   | 132   | 164   | 897.0-12    | 0,22                |
| 4   | Шайба пружинная 22<br>ГОСТ 6402-70 | 200                 | 200   | 264   | 264   | 328   |             | 0,02                |
| 5   | Гайка М22-110 ГОСТ 22354-77        | 200                 | 200   | 264   | 264   | 328   |             | 0,1                 |

**Спецификация** — **пункт** на пролетное строение

| Марка плиты | Наименование | Кол. на прол-стр. |       |       |       |       | Масса<br>ед.<br>п/: |
|-------------|--------------|-------------------|-------|-------|-------|-------|---------------------|
|             |              | 33,75             | 34,59 | 44,79 | 45,55 | 55,79 |                     |
| ПН1-190     | П1-190       | Плиты             |       | 4     | 4     | 4     | 1,8                 |
| ПН2-190     | П2-190       | Плиты             |       | 4     | 6     | 6     | 1,9                 |
| ПН3-190     | П3-190       | Плиты             |       | 2     | 2     | 2     | 2,5                 |
| ПН4-190     | П4-190       | Плиты             |       | 12    | 10    | 16    | 20                  |

## Спецификация плит на панель

| Марка плиты | Наименование | Кв.на панель |      |       | Масса<br>ед.,<br>т |
|-------------|--------------|--------------|------|-------|--------------------|
|             |              | 5,5          | 5895 | 6,295 |                    |
| ПН1-190     | П1-190       | Плитка       |      |       | 2 1,8              |
| ПН2-190     | П2-190       | Плитка       |      | 1     | 1 1,9              |
| ПН3-190     | П3-190       | Плитка       |      | 1     | 2,5                |
| ПН4-190     | П4-190       | Плитка       | 2    | 2     | 1 2,6              |

1. На листе приведена раскладка плит безбалластного мостового полотна для пролетных строений по типовой документации серии 3.501, 2-139.

2.8 скобках указаны марки пилит и размеры для пролетных стро-  
ений длиной 34,59 и 45,59 м.

3. Узлы А и В приведены на листах 12 и 13.

Проект № 4070 19  
Чкаловский № 2/23

897.0-07

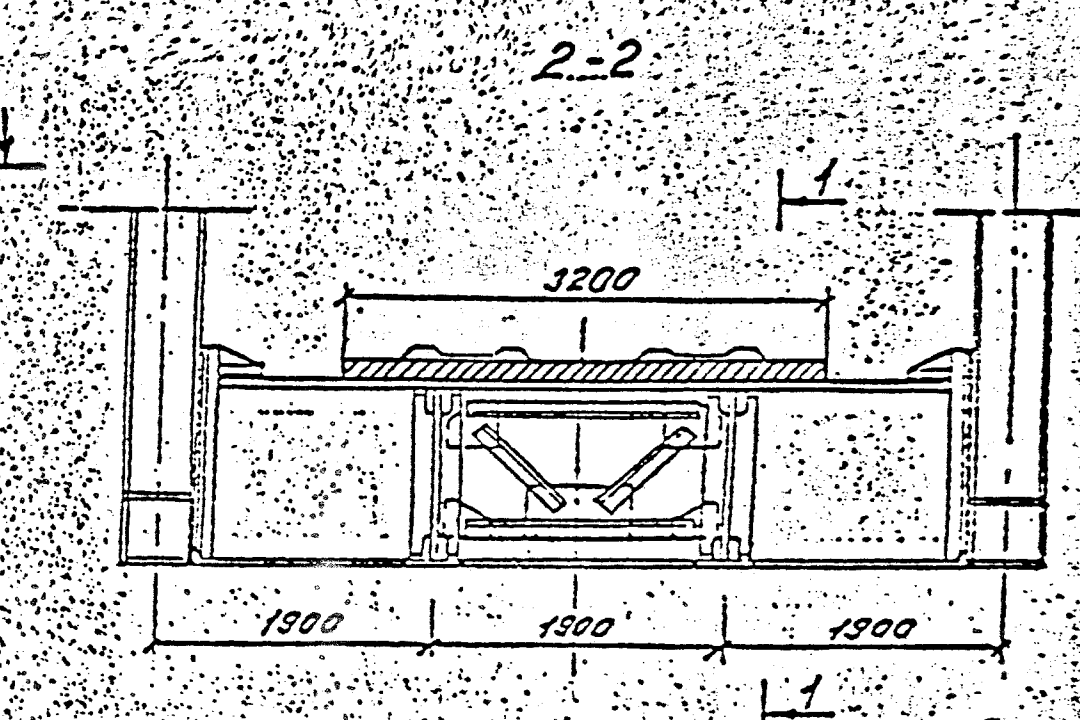
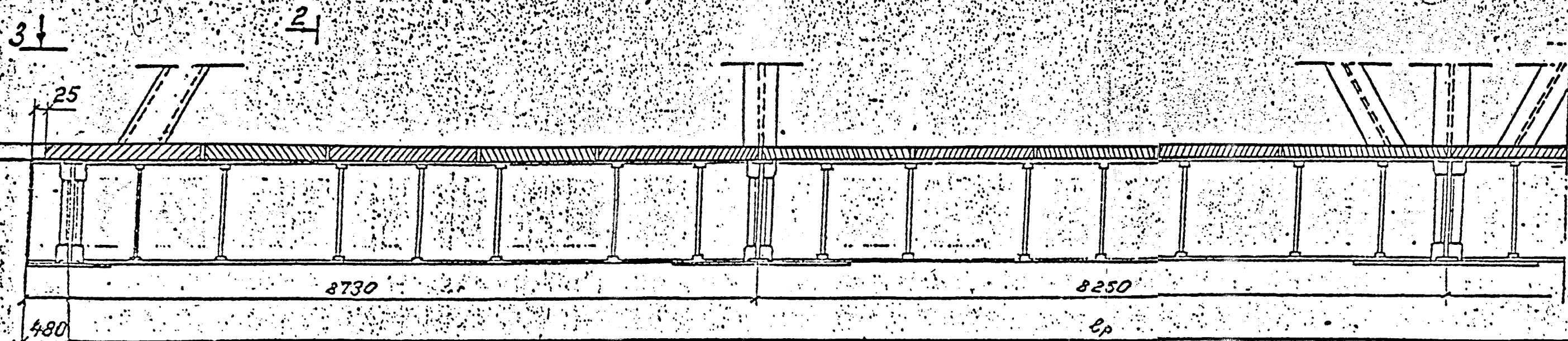
|            |          |       |
|------------|----------|-------|
| Іскандер   | Пургіндо | Фуць  |
| Пробеда    | Коен В   | Роєкт |
| Нач.зр.    | Коен     | Фарб  |
| Гл.инж.про | Клусінер | Фарб  |
| Н.Гонія    | Миронова | Фарб  |
| Нач.отд.   | Трученко | Фарб  |

раскладка плит на  
пролетных строениях  
ездой понизу.  
Панель 5,5 м.

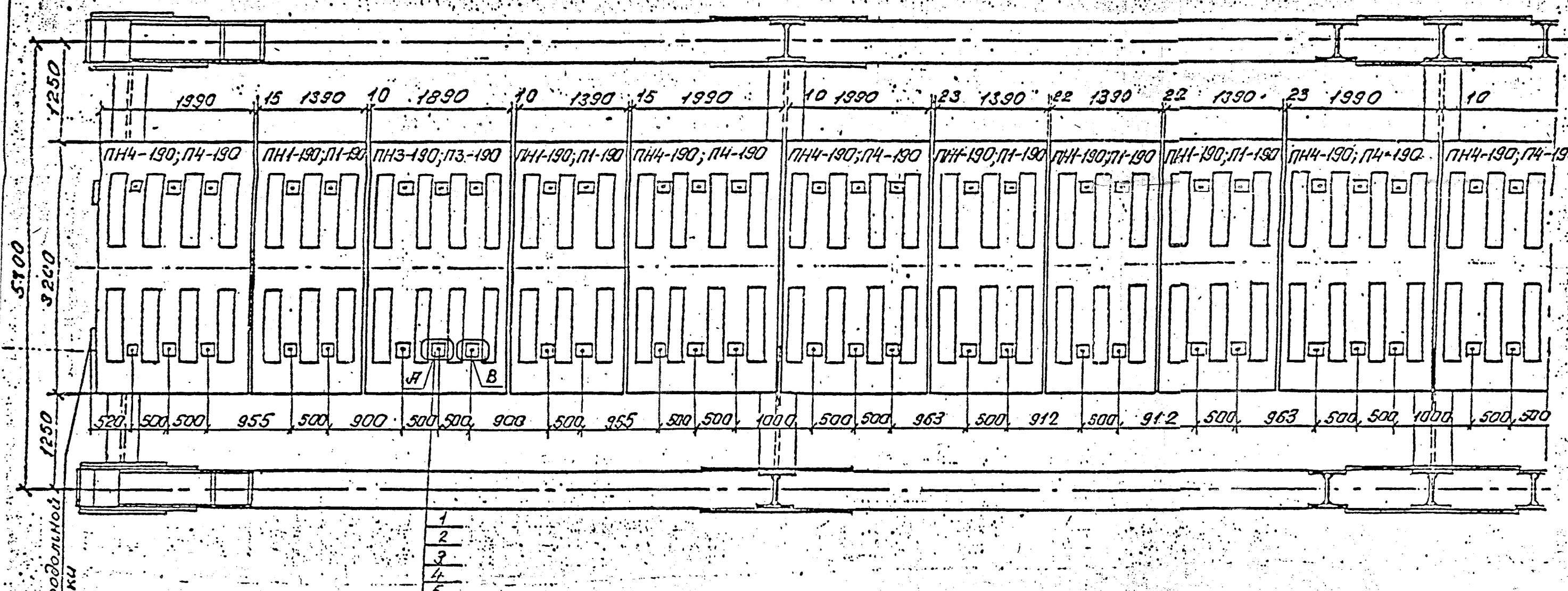
| Стадия | Лист | Листов |
|--------|------|--------|
| P      |      | 1      |

*Легендротрансмост*

1-1  
(верхнее строение пути не показано)



3-3  
(заполнение швов не показано)



Спецификация плит на панель

| Марка плиты | Наименование | Кол. на панель | Масса сд., т |
|-------------|--------------|----------------|--------------|
| ПН1-190     | П1-190       | Плиты          | 22 22 1,8    |
| ПН3-190     | П3-190       | Плиты          | 2 2 2,5      |
| ПН4-190     | П4-190       | Плиты          | 16 20 2,6    |

Горизонтальные силы

| Марка плиты | Наименование | Кол. плит |       | Масса сд., т |
|-------------|--------------|-----------|-------|--------------|
|             |              | 66,9      | 77,95 |              |
| ПН1-190     | П1-190       | Плиты     | 22 22 | 1,8          |
| ПН2-190     | П2-190       | Плиты     | 2 2   | 1,9          |
| ПН3-190     | П3-190       | Плиты     | 2 2   | 2,5          |
| ПН4-190     | П4-190       | Плиты     | 16 20 | 2,6          |

Спецификация металла скреплений на пролетное строение

| Поз. | Наименование                    | Кол.пред. |       | Масса сд., кг |
|------|---------------------------------|-----------|-------|---------------|
|      |                                 | 66,9      | 77,95 |               |
| 1    | Шпилька М22x310                 | 196       | 228   | 897.0-12 1,1  |
| 2    | Шайба 200x110x20                | 196       | 228   | 897.0-12 3,4  |
| 3    | Резиновая шайба 7-220x20        | 196       | 228   | 897.0-12 0,22 |
| 4    | Шайба пружинная 22 ГОСТ 6402-70 | 392       | 456   | 0,02          |
| 5    | Гайка М22-10 ГОСТ 22354-71      | 392       | 456   | 0,1           |

1. На листе приведена раскладка плит безбалластного постового полотна для пролетных строений по типовой документации серии 3.501.2-139.

Раскладка плит на панели длиной 5,5м приведена на листе 897.0-07.

2. Узлы А и В приведены на листах 12 и 13.

РАБОЧИЙ  
ДОКУМЕНТ  
СЕРИЯ 4070  
ПРОЕКТ 19  
Изменение 2/24

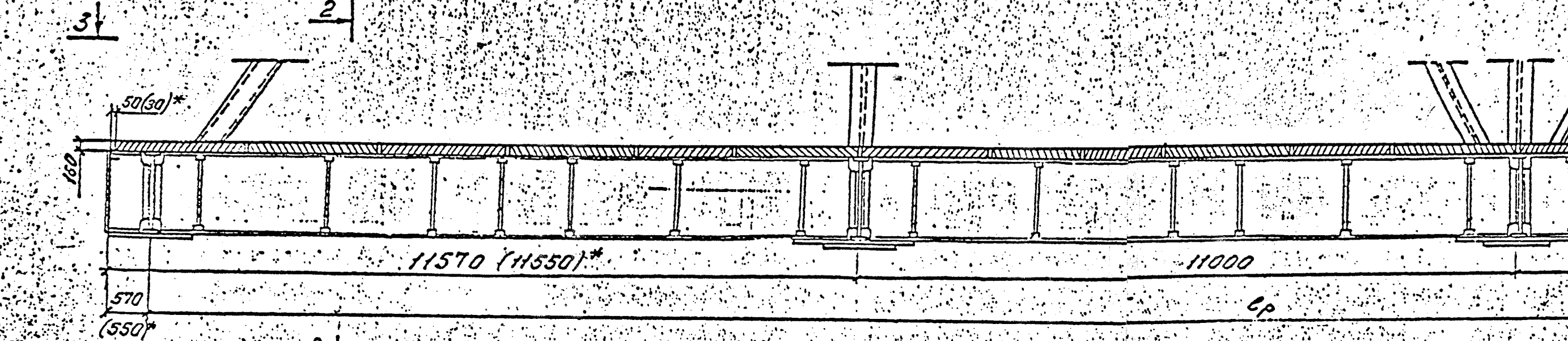
| Столбик  | Пурпурно  | Фиол  |
|----------|-----------|-------|
| Проверил | Крен В    | Колес |
| Ноч.гр.  | Крен      | Колес |
| Служебн. | Клеинер   | Колес |
| Н.контр. | Миронова  | Колес |
| Ноч.спд  | Тюческого | Колес |

897.0-08

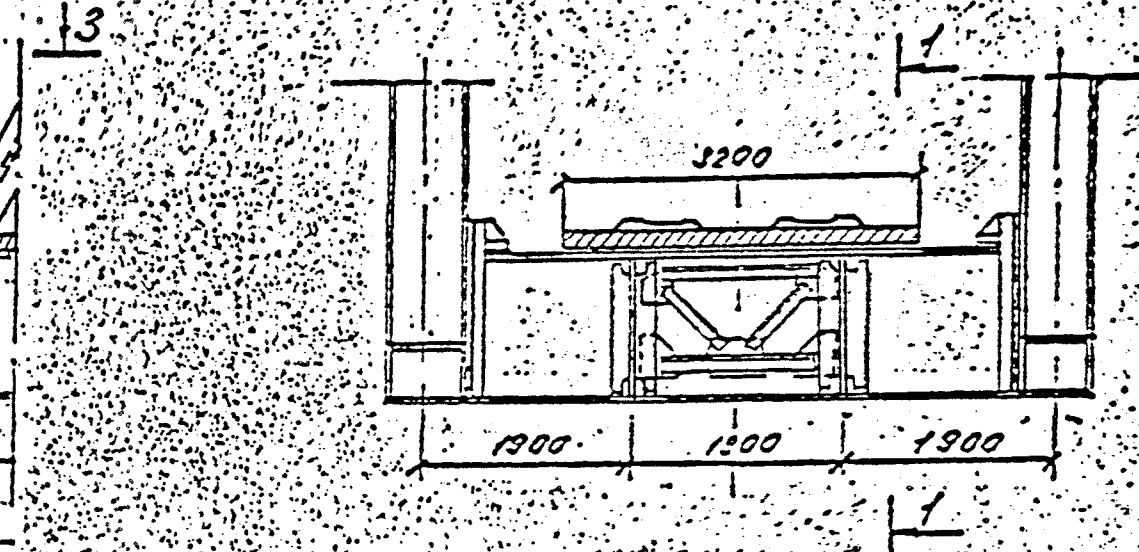
Раскладка плит на пролетных строениях с ездой понизу.  
Панель 8,25M  
Ленэнерготрансмост

四

Верхнее строение ныне не показано



2-2



\* Длж. пролетных строений Элиной 89,10 и 114,10м

3-3  
заполнение швов не показано

## Спецификация поим. на панель

| Марка плиты | Наименование | Кол. на пачке | Масса<br>ед.,<br>т |     |
|-------------|--------------|---------------|--------------------|-----|
| ПН2-190     | П2-190       | Плитка        | 2                  | 1,9 |
| ПН3-190     | П3-190       | Плитка        | 5                  | 2,5 |
| ПН4-190     | П4-190       | Плитка        | 4                  | 2,6 |

## Спецификация плит на пролетное строение

| Марка плиты | Наименование | Кол. на пролет. стр. |        |       |        | Масса<br>ед.,<br>т |
|-------------|--------------|----------------------|--------|-------|--------|--------------------|
|             |              | 89,14                | III,14 | 89,10 | III,10 |                    |
| ПН2-190     | Плиты        | 12                   | 16     | 12    | 16     | 1,9                |
| ПН3-190     | Плиты        | 10                   | 10     | 10    | 10     | 2,5                |
| ПН4-190     | Плиты        | 26                   | 34     | 26    | 34     | 2,6                |

Спецификация методов скреплений на пролетное строение

| Поз. | Наименование                       | Кол. на прол. стр. |       |       |        | Обозначение | Масса<br>ед.,<br>т |
|------|------------------------------------|--------------------|-------|-------|--------|-------------|--------------------|
|      |                                    | 89.14              | 91.14 | 89.10 | 111.10 |             |                    |
| 1    | Шпилька М22x370                    | 264                | 328   | 264   | 328    | 897.0-12    | 1,1                |
| 2    | Шайба 200x110x20                   | 264                | 328   | 264   | 328    | 897.0-12    | 3,4                |
| 3    | Резиновая шайба 7-220.120          | 264                | 328   | 264   | 328    | 897.0-12    | 0,22               |
| 4    | Шайба пружинная 22<br>ГОСТ 6402-70 | 528                | 656   | 528   | 656    | -           | 0,02               |
| 5    | Бойко М22-110 ГОСТ 22354-77        | 528                | 656   | 528   | 656    | -           | 0,1                |

1. На участке приведена раскладка плит безбалластного  
мостового полотна для пролетных строений по типовой  
документации серии 3.501.2-13.9

2. Узлы Я и В приведены на листах 12 и 13.

4078

2/25

297.0-09

|                |          |         |  |  |
|----------------|----------|---------|--|--|
| Исполнитель    | Пургинов | Мурзин  |  |  |
| Проверка       | Коен В   | Коен    |  |  |
| Науч.рук.      | Коен     | Фишер   |  |  |
| Гл.инж.проекта | Клейнер  | Суло    |  |  |
| Н.контр.       | Миронова | Логинов |  |  |
| Науч.отв.      | Ткаченко | Логинов |  |  |
|                |          |         |  |  |

897.0-09

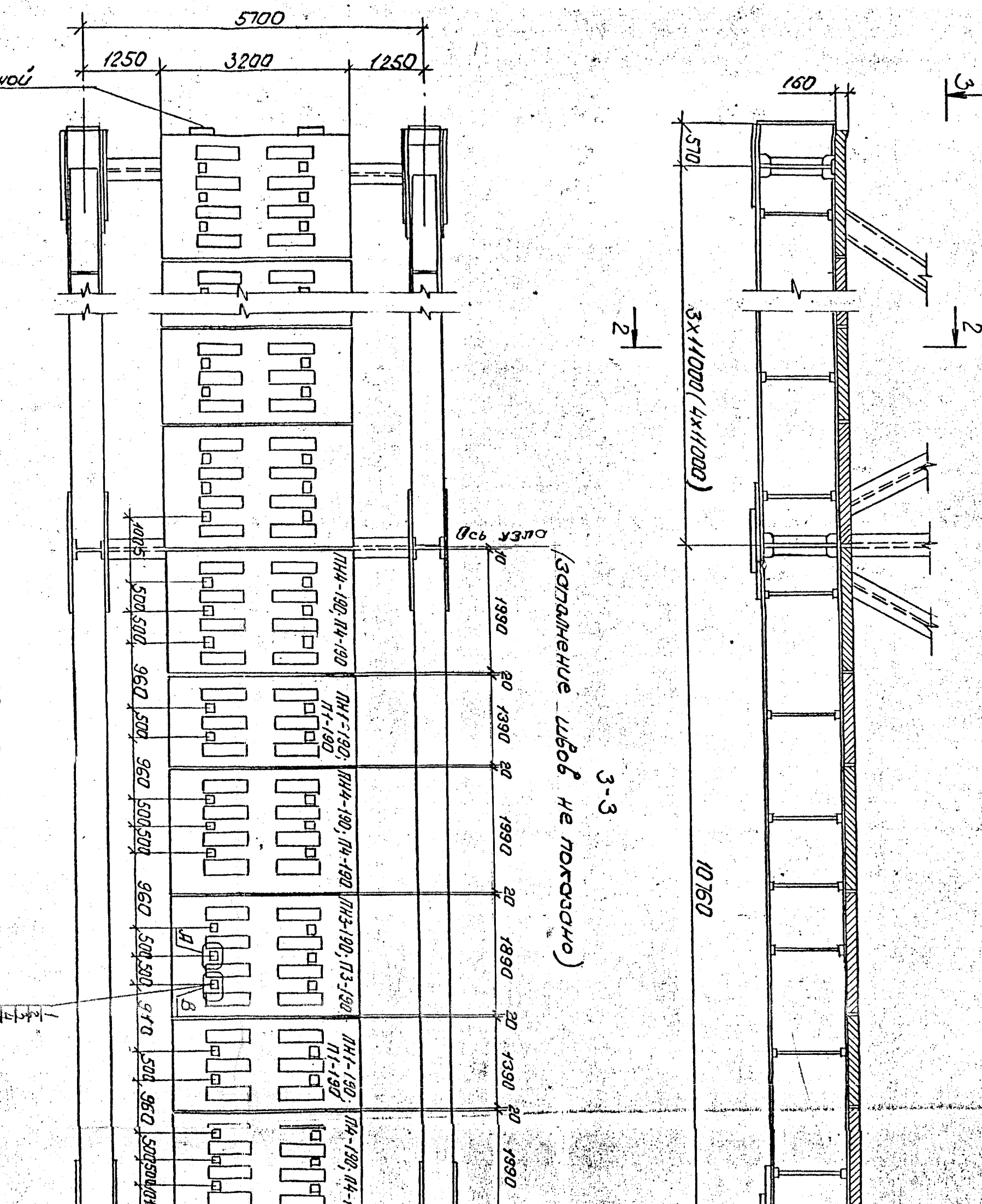
раскладка плит на  
пролетных строениях  
с ездой понизу.  
Панель 11,0 м.

| Стадия            | Лист | Листов |
|-------------------|------|--------|
| P                 | 1    | 2      |
| Ленгипротрансмост |      |        |

1-1  
Верхнее строение пути не покосено)

2-2

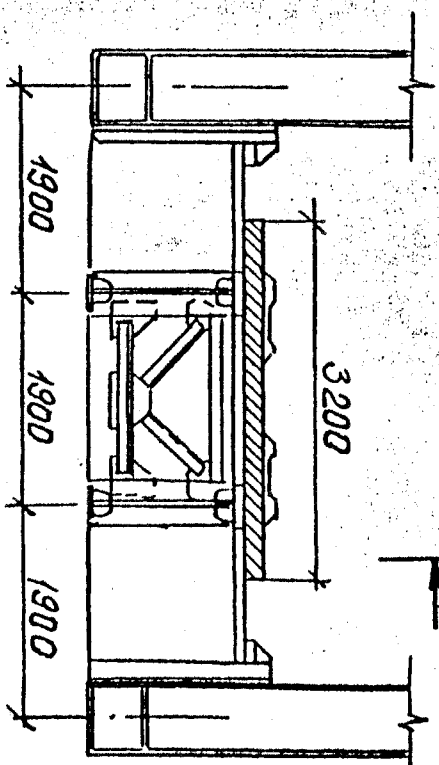
25



3

Спецификация плит на панель 10,76 м.

| Марка плиты | Наименование | Кол-во | Масса |
|-------------|--------------|--------|-------|
|             |              | шт.    | ед.,  |
| ПН1-190     | Плиты        | 4      | 1,8   |
| ПН2-190     | Плиты        | 8      | 1,9   |
| ПН3-190     | Плиты        | 12     | 2,5   |
| ПН4-190     | Плиты        | 3      | 2,6   |



1

Спецификация плит на пролетное строение

| Марка плиты | Наименование | Кол-во | Масса |
|-------------|--------------|--------|-------|
|             |              | шт.    | ед.,  |
| ПН1-190     | Плиты        | 4      | 1,8   |
| ПН2-190     | Плиты        | 8      | 1,9   |
| ПН3-190     | Плиты        | 12     | 2,5   |
| ПН4-190     | Плиты        | 3      | 2,6   |

Спецификация плит на скрепленный на пролетные строение

| Марка | Наименование                | Кол-во | Масса      |
|-------|-----------------------------|--------|------------|
|       |                             | шт.    | ед.,       |
| 1     | Шпунт М 22x370              | 264    | 328        |
| 2     | Шайба 200x110x20            | 254    | 328        |
| 3     | Резиновая шайба 220x100 254 | 328    | 897,0 - 12 |
| 4     | Шайба пружинная             | 328    | 897,0 - 12 |
| 5     | Гайка M22-10 ГОСТ 22354-71  | 328    | 636        |

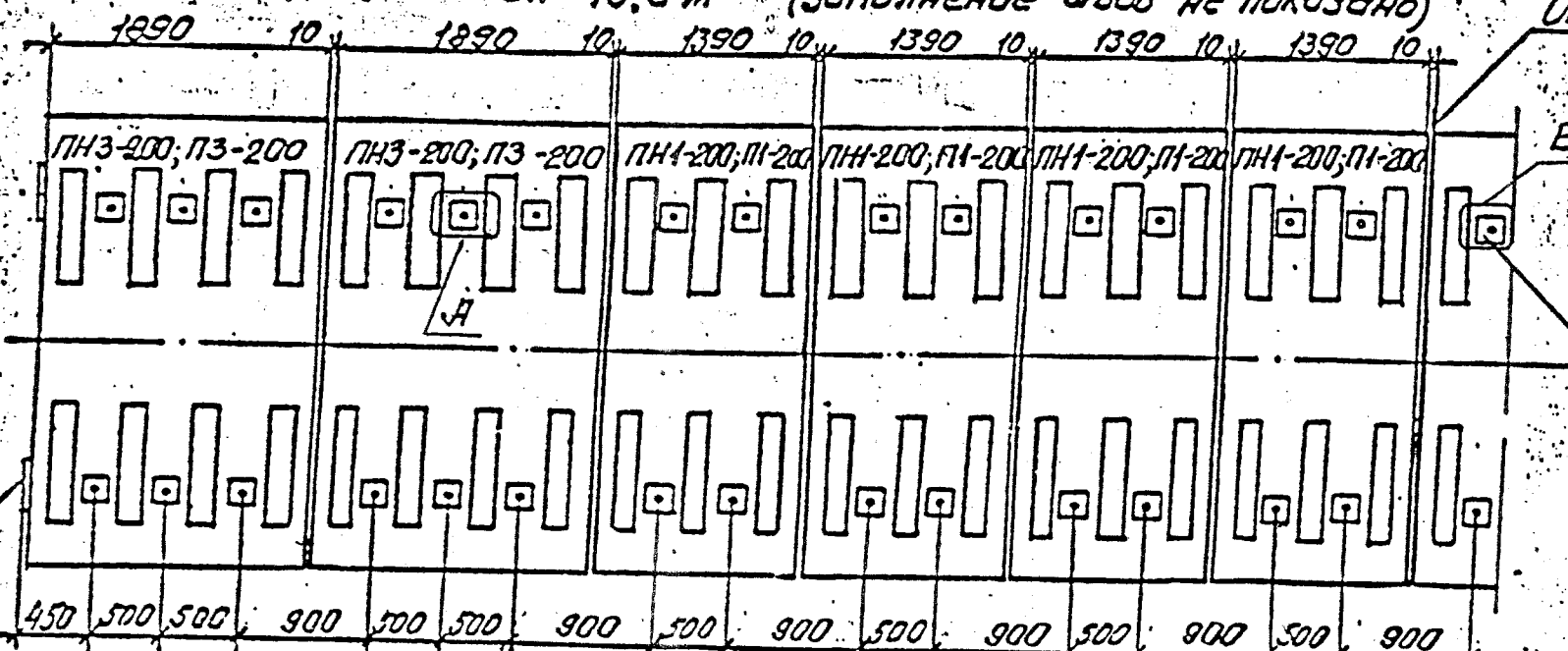
Форма № 19  
Составленный в 2/26

|              |                |              |
|--------------|----------------|--------------|
| Инв. № подл. | Подпись и дата | Взам. инв. № |
|--------------|----------------|--------------|

897,0 - 09

2

Торец продольной балки

 $R_p = 18,8 \text{ м}$  (заполнение швов не показано)

Ось пролетного строения

Расход  
(верхнее строение пути не показано)

Боковой вид

3200

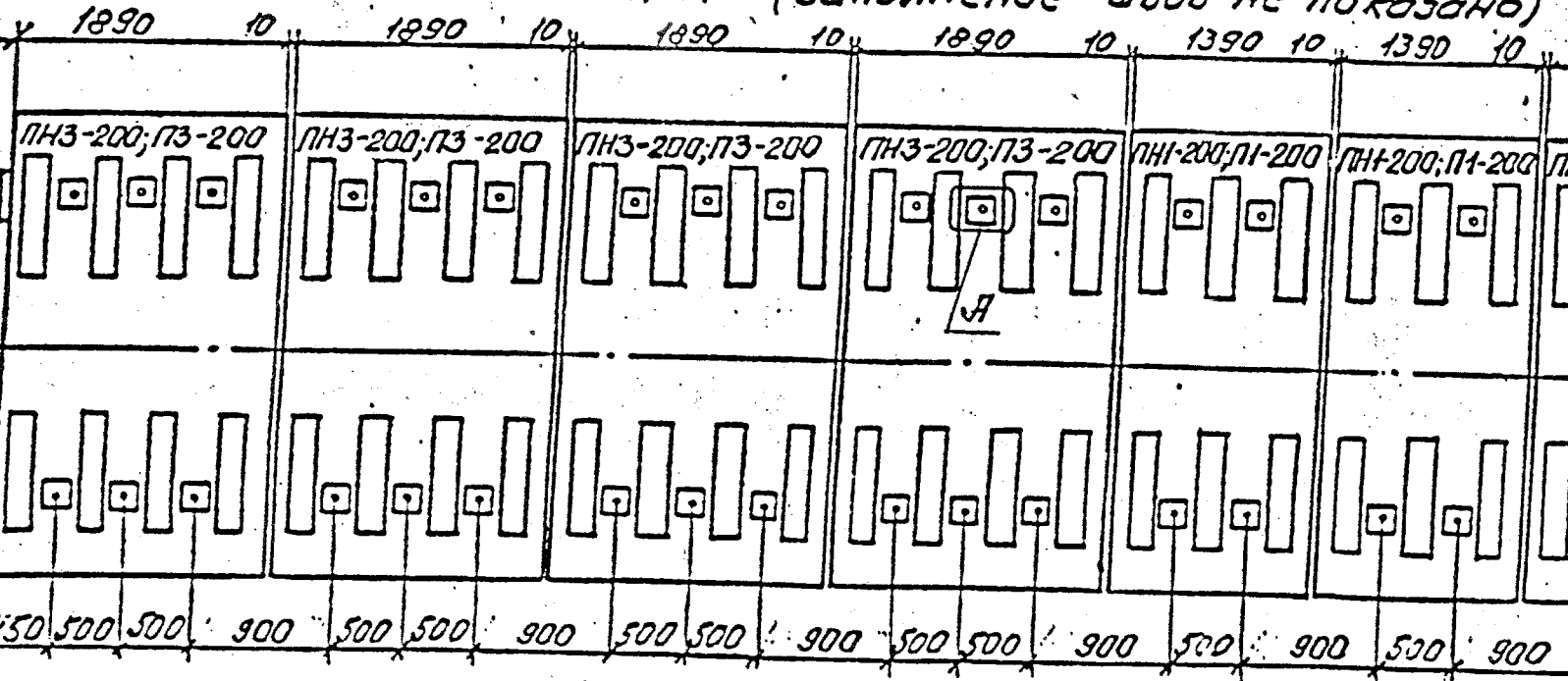
1600

1600

2000

Ось пути

Торец продольной балки

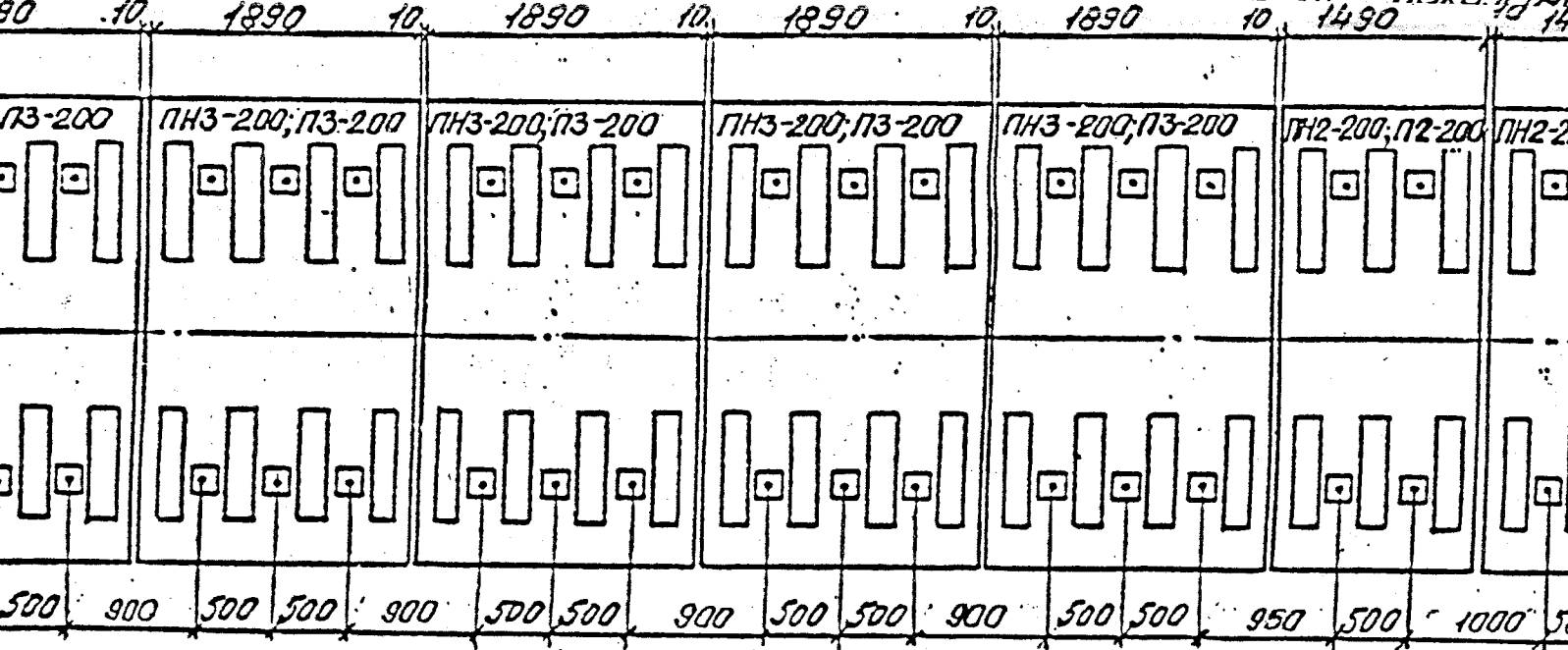
 $R_p = 23,6 \text{ м}$  (заполнение швов не показано)

Ось пролетного строения

Спецификация плит - на пролетное строение

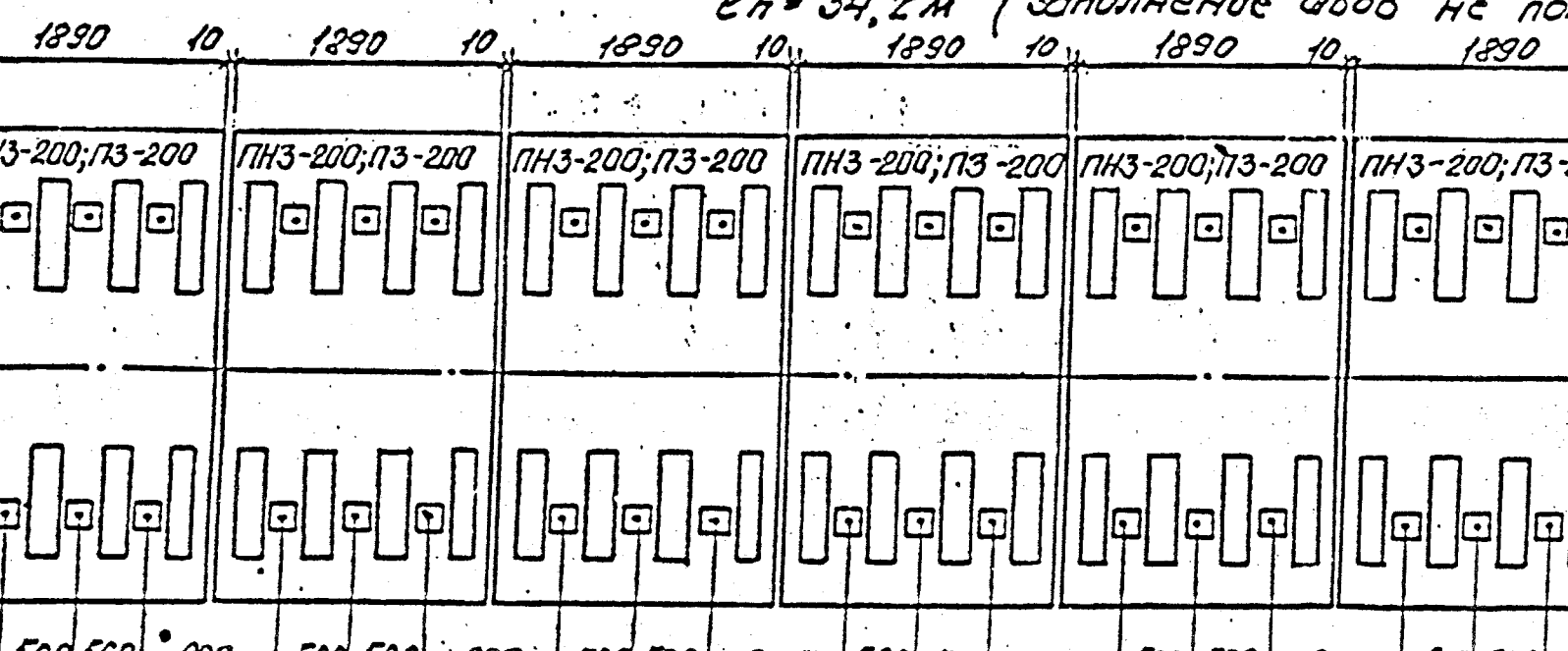
| Марка плиты | Наименование | Кол.но плаш.стр. | Масса ед., кг |
|-------------|--------------|------------------|---------------|
| ПН1-200     | П1-200       | Плиты            | 8 6 1,8       |
| ПН2-210     | П2-200       | Плиты            | 7 1,9         |
| ПН3-200     | П3-200       | Плиты            | 4 8 9 18 2,5  |

Торец продольной балки

 $R_p = 27,6 \text{ м}$  (заполнение швов не показано)

Ось пролетного строения

Торец продольной балки

 $R_p = 34,2 \text{ м}$  (заполнение швов не показано)

Ось пролетного строения

1 На листе приведена раскладка плит безбалластного мостового пакета для пролетных строений по типовому проекту ЧНБ. № 821-ЧИ  
2 Узлы А и В приведены на листах 12 и 13

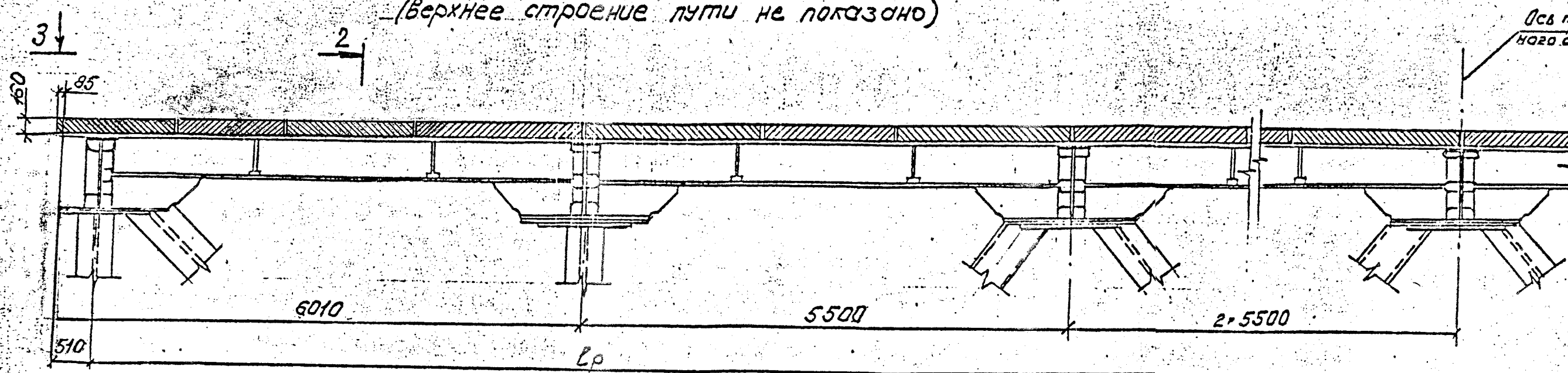
| Исполнитель | Проверка | Фот. | Стадия | Лист | Листов |
|-------------|----------|------|--------|------|--------|
| Проверка    | Коен В   | Коен |        |      |        |
| Ноч.гр.     | Коен     | Фот. |        |      |        |
| Глиник пр.  | Клейнер  | Фот. |        |      |        |
| Н.контр.    | Миронова | Фот. |        |      |        |
| Ноч.отд.    | Тюченко  | Фот. |        |      |        |

Раскладка плит на пролетных строениях с 2300-й поверхью (балки со сплошной стенкой). Межпротяжемость

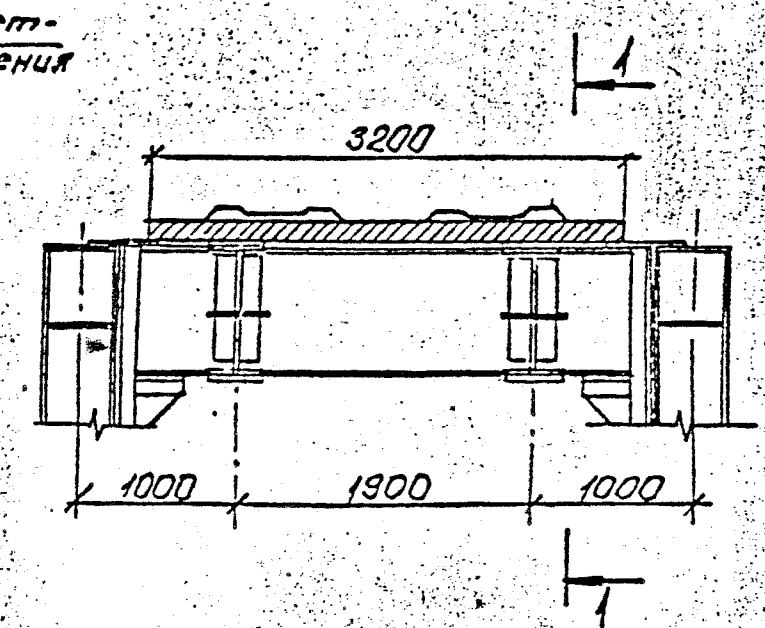
897.0-10

1-1

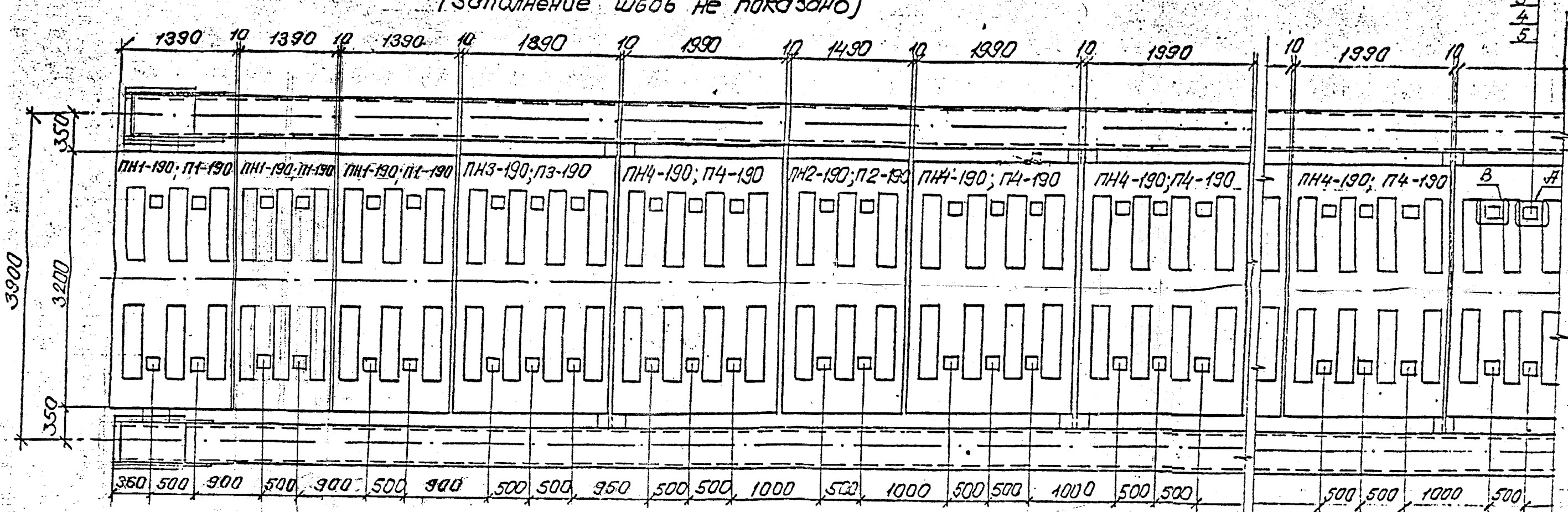
(Верхнее строение пути не показано)



2-2



(заполнение щебнем не показано)



Спецификация плит на панель

| Марка плиты | Наименование | Кол. на панель | Масса<br>ед.,<br>т |
|-------------|--------------|----------------|--------------------|
| ПН1-190     | П1-190       | Плиты          | 1 3 1,8            |
| ПН2-190     | П2-190       | Плиты          | 1 5 3,9            |
| ПН3-190     | П3-190       | Плиты          | 1 2,5              |
| ПН4-190     | П4-190       | Плиты          | 2 2 2,6            |

Спецификация плит на пролетное строение

| Марка плиты | Наименование | Кол. на пр. стр. | Масса<br>ед.,<br>т |
|-------------|--------------|------------------|--------------------|
| ПН1-190     | П1-190       | Плиты            | 6 6 6 1,8          |
| ПН2-190     | П2-190       | Плиты            | 6 8 10 1,9         |
| ПН3-190     | П3-190       | Плиты            | 2 2 2 2,5          |
| ПН4-190     | П4-190       | Плиты            | 12 16 20 2,6       |

Спецификация металла скреплений на пролетное строение

| Поз. | Наименование                    | Кол. на пр. стр. | Обозначение | Масса<br>ед.,<br>кг |
|------|---------------------------------|------------------|-------------|---------------------|
| 1    | Шпилька M22x370                 | 132 164 196      | 897.0-12    | 1,1                 |
| 2    | Шайба 200x110x20                | 132 164 196      | 897.0-12    | 3,4                 |
| 3    | резиновая шайба 7220x120        | 132 164 196      | 897.0-12    | 0,22                |
| 4    | шайба пружинная 22 ГОСТ 6402-70 | 264 328 392      |             | 0,02                |
| 5    | Гайка М22-110 ГОСТ 22354-77     | 264 328 392      |             | 0,1                 |

1 На листе приведена раскладка плит безбалластного мостового полотна для пролетных строений по типовой документации серии 3.501-103.

2 Ходы А и В приведены на листах 12 и 13.

4070

2/28

|          |           |           |
|----------|-----------|-----------|
| Чекалин  | Пирогина  | Руд.      |
| Профтех  | Коен В    | Коен      |
| Ночев    | Коен      | Борис     |
| Глинищ   | Клейнер   | Борис     |
| Н. Сокта | Миронова  | Лев-      |
| Куч. ср. | Григорьев | Константи |

Раскладка плит на пролетных строениях с ездой поверху.  
Панель 5,5 м

|        |      |        |
|--------|------|--------|
| Стадия | Лист | Листов |
| Р      |      | 1      |

Денегпротрансмост

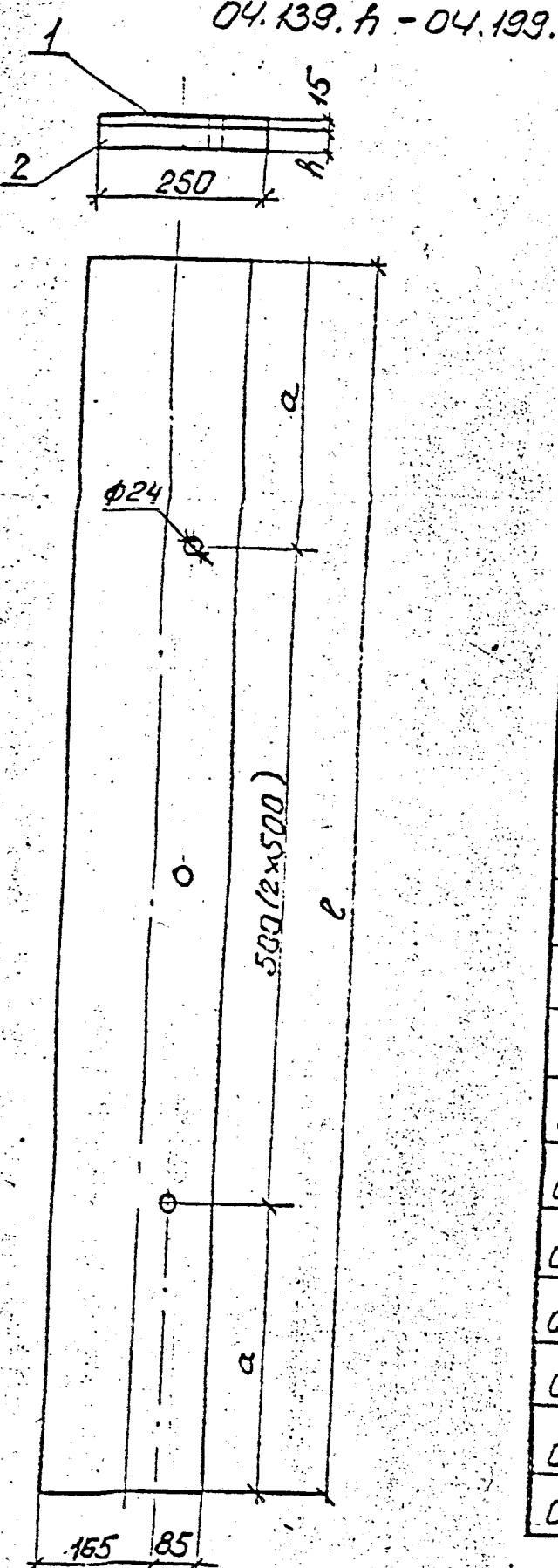
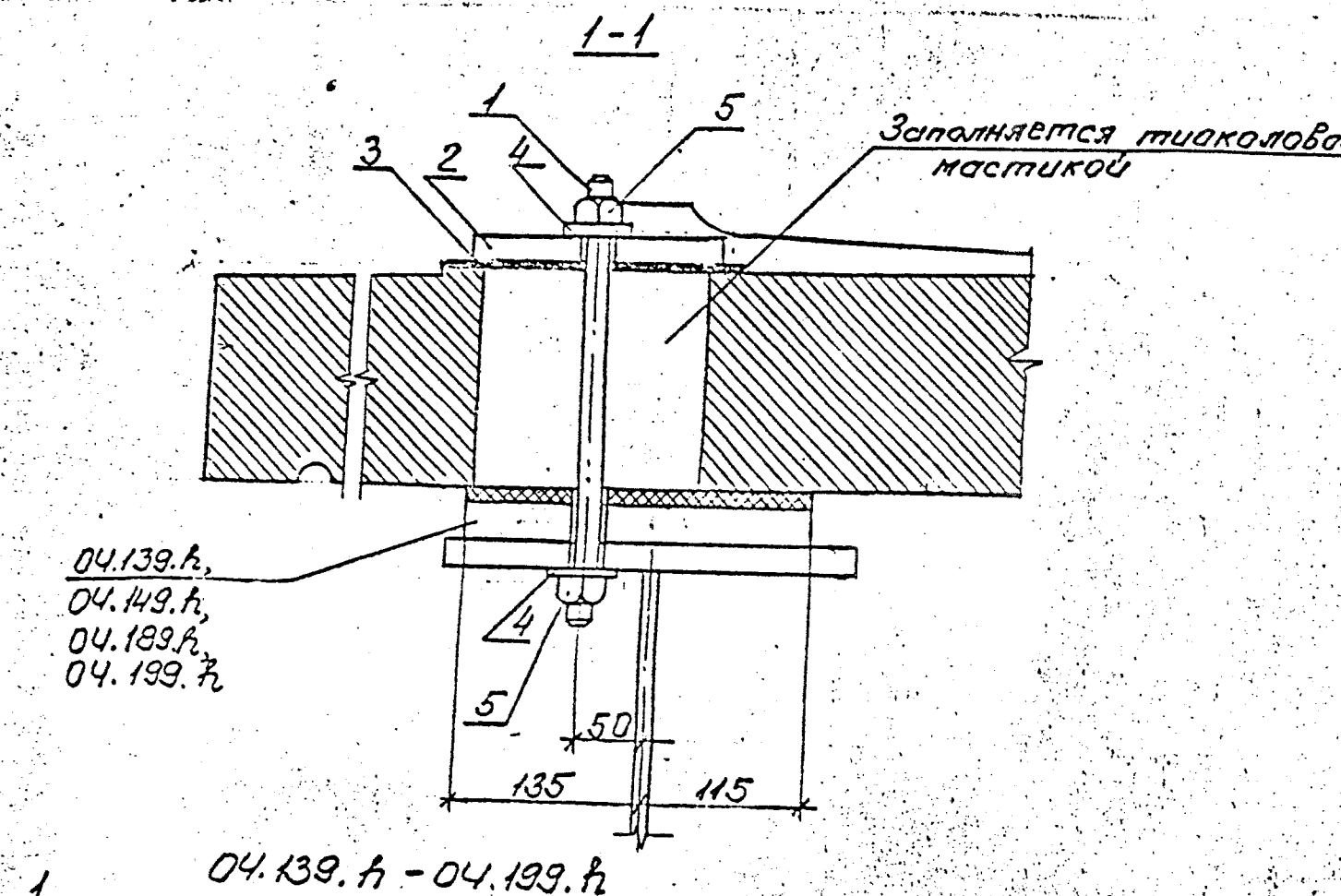


Таблица 1

| Марка опоры | Размеры, мм | Масса кг |         |
|-------------|-------------|----------|---------|
| a           | b           | h        | k2      |
| 04.139.3    |             | 30       | 14,1    |
| 04.139.4    |             | 40       | 16,7    |
| 04.139.5    | 445         | 1390     | 50 19,3 |
| 04.139.6    |             | 60       | 21,9    |
| 04.139.7    |             | 70       | 24,6    |
| 04.149.3    |             | 30       | 15,2    |
| 04.149.4    |             | 40       | 17,9    |
| 04.149.5    | 495         | 1490     | 50 20,7 |
| 04.149.6    |             | 60       | 23,5    |
| 04.149.7    |             | 70       | 26,3    |
| 04.189.3    |             | 30       | 19,2    |
| 04.189.4    |             | 40       | 22,8    |
| 04.189.5    | 445         | 1890     | 50 26,3 |
| 04.189.6    |             | 60       | 29,8    |
| 04.189.7    |             | 70       | 33,4    |
| 04.199.3    |             | 30       | 20,2    |
| 04.199.4    |             | 40       | 24,0    |
| 04.199.5    | 495         | 1990     | 50 27,7 |
| 04.199.6    |             | 60       | 31,4    |
| 04.199.7    |             | 70       | 35,2    |

Размер в скобках приведен для опор 04.189.к; 04.199.к

Спецификация элементов опор. Таблица 2

| Марка опорной части | поз. | Наименование                                      | Кол. шт. | Масса кг |
|---------------------|------|---------------------------------------------------|----------|----------|
| 04.139.3            | 1    | Пластина I, рулон ТМКШ-С-15x250x1390 ГОСТ 7338-90 | 1        | 6,3      |
|                     | 2    | Доска 250x30, L = 1390                            | 1        | 7,8      |
| 04.149.3            | 1    | Пластина I, рулон ТМКШ-С-15x250x1490 ГОСТ 7338-90 | 1        | 6,8      |
|                     | 2    | Доска 250x30, L = 1490                            | 1        | 8,4      |
| 04.189.3            | 1    | Пластина I, рулон ТМКШ-С-15x250x1890 ГОСТ 7338-90 | 1        | 8,6      |
|                     | 2    | Доска 250x30, L = 1890                            | 1        | 10,6     |
| 04.199.3            | 1    | Пластина I, рулон ТМКШ-С-15x250x1990 ГОСТ 7338-90 | 1        | 9,0      |
|                     | 2    | Доска 250x30, L = 1990                            | 1        | 11,2     |

Доска сосновая по ГОСТ 24454-80 и ГОСТ 8486-86

\* Спецификация приведена для опоры высотой 30мм, для опор большей высоты количество элементов остается без изменения.

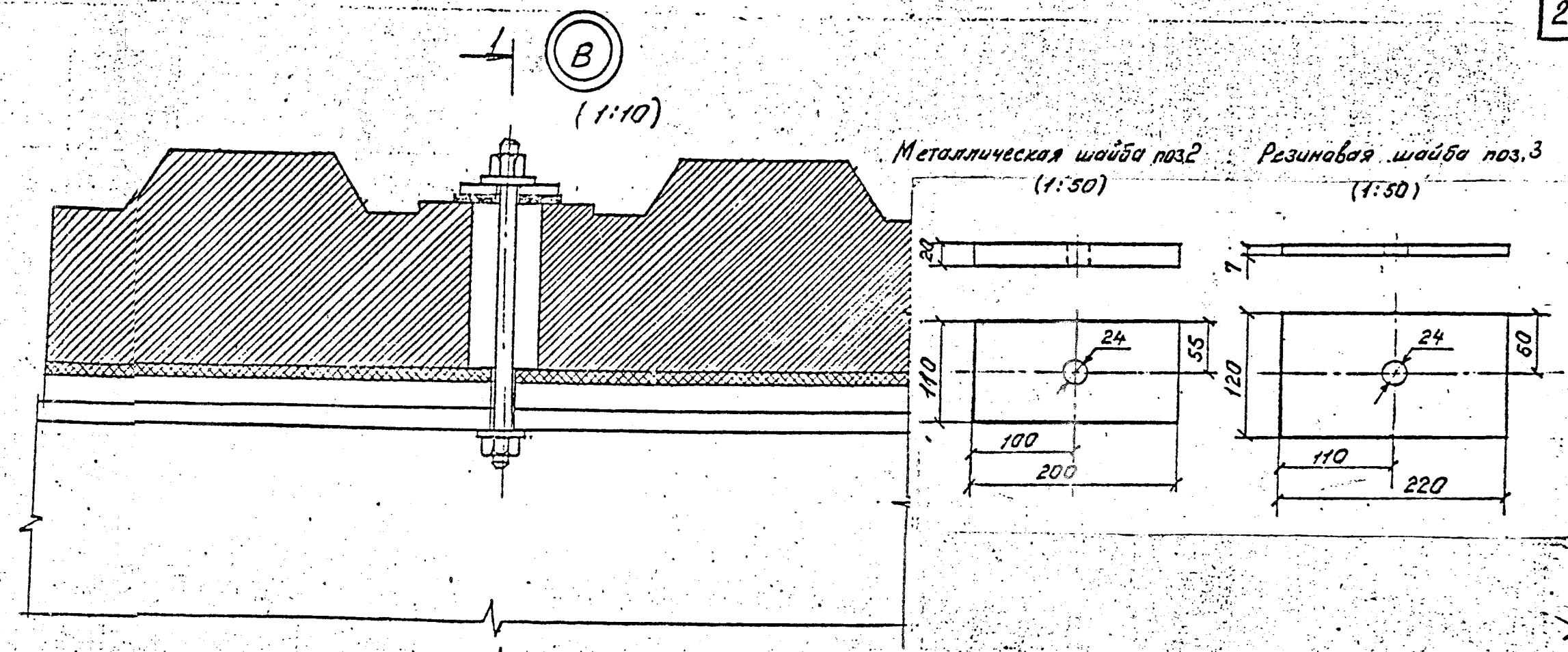


Схема расположения опор под плитами\* (скрепление на болтах)

ПН1-180; ПН2-180; ПН3-180; ПН4-180  
П1-180; П2-180; П3-180; П4-180

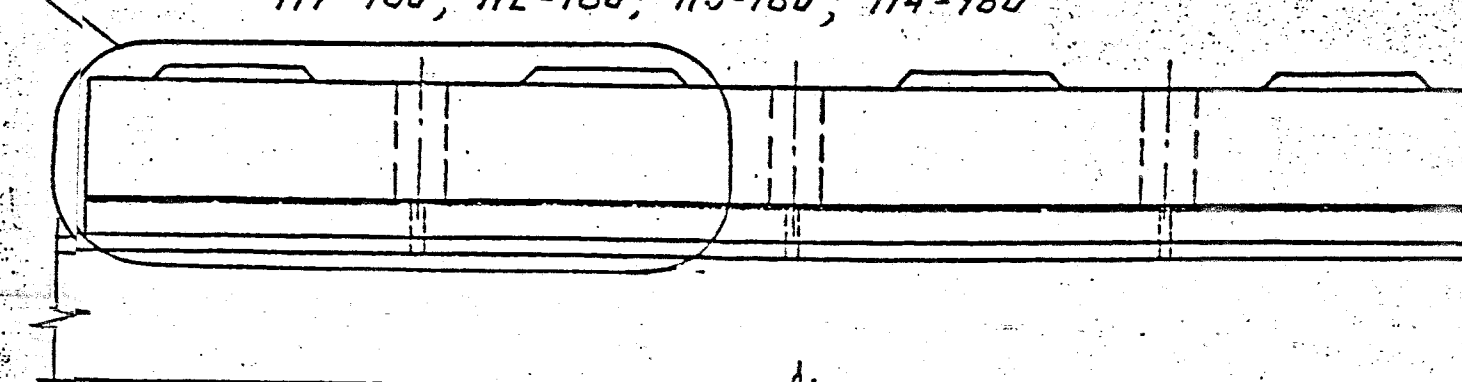
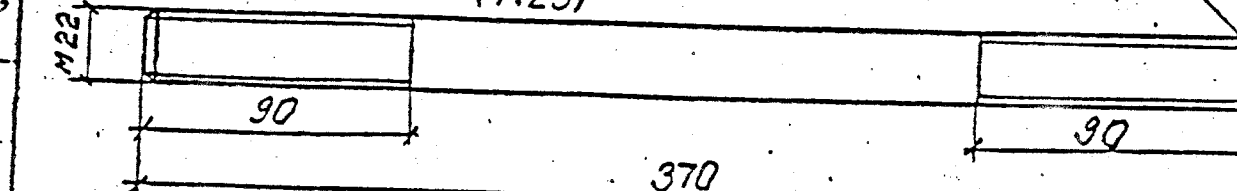


Таблица 3

| Марка плиты | * Опорная часть | Марка    | Кол. шт. |
|-------------|-----------------|----------|----------|
| ПН1-180     | П1-180          | 04.139.к | 2        |
| ПН2-180     | П2-180          | 04.149.к | 2        |
| ПН3-180     | П3-180          | 04.189.к | 2        |
| ПН4-180     | П4-180          | 04.199.к | 2        |

\*) Для пролетных строений с расстояниями между продольными балками 190÷240 см количество опор и схема расположения опор неизменны.

Высокопрочная шпилька поз.1 (1:25)



1. Технология устройства безбалластного мостового полотна приведена в пояснительной записке.
2. Спецификация металла скреплений приведена на паспортах 07; 08; 09; 10; 11.

3. Шпилька изготавливается из круглого проката по ГОСТ 2591-88 марки 40Х по ГОСТ 4543-71 с последующей термообработкой, металлическая шайба – из полосы по ГОСТ 103-76 марки Ст3сп по ГОСТ 535-88, резиновая шайба – из пластины марки ТМКШ-С по ГОСТ 7338-90.

| Страница | Пургинко   | Фул  | Ленгипротрансмост |
|----------|------------|------|-------------------|
| Проверка | Коен В     | Коен |                   |
| Нач.гр.  | Коен       | Фул  |                   |
| Генерал  | Коендер    | Фул  |                   |
| И.конс.  | Милюкова   | Фул  |                   |
| Нач.ст.  | Ткачев НКО | Фул  |                   |
|          |            |      | Ленгипротрансмост |

897.0-12

Узлы опирания плит.  
Архитектурно-резиновые  
опоры

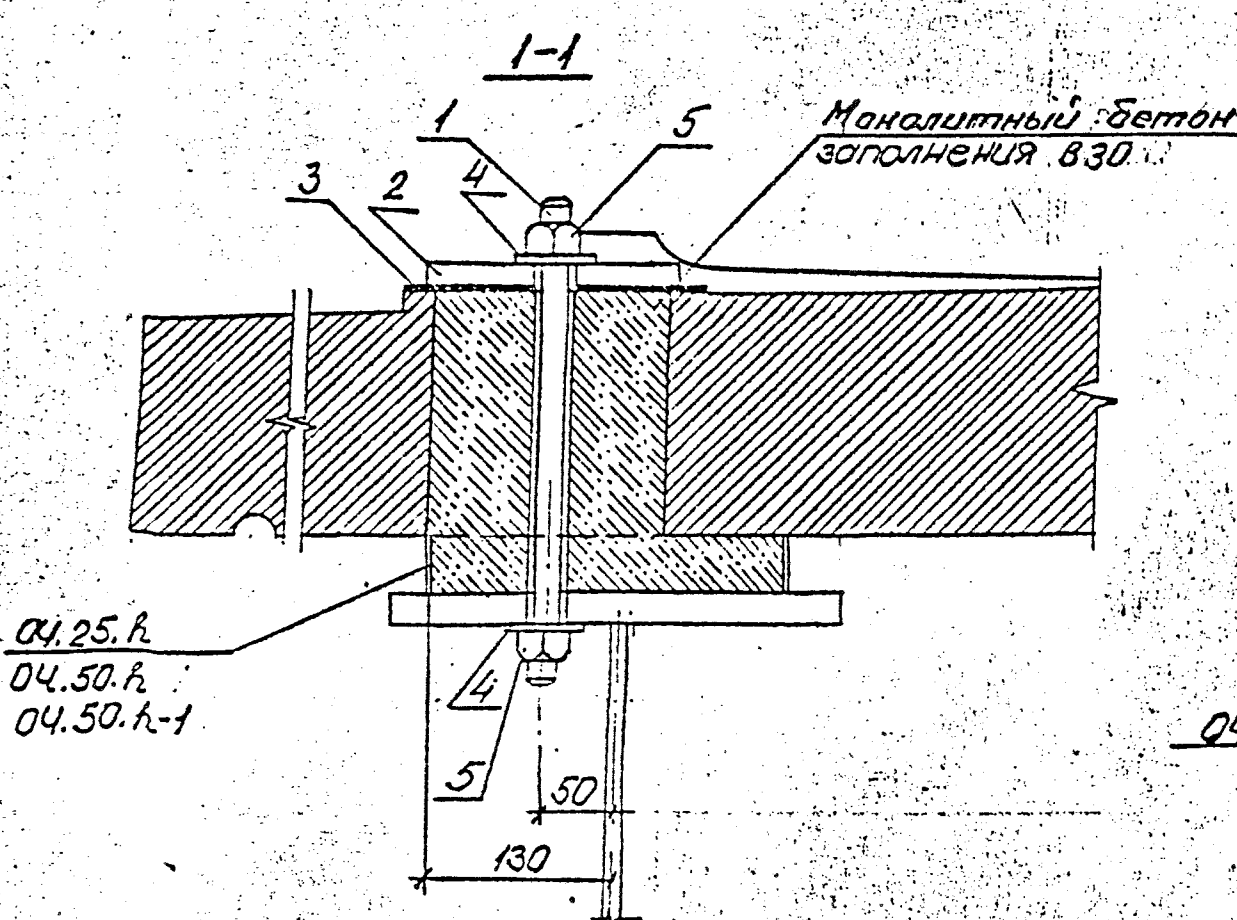
Стадия

Лист

Листов

Р

1



Конструкция опор 04.25.к, 04.50.к-1; 04.50.к-2

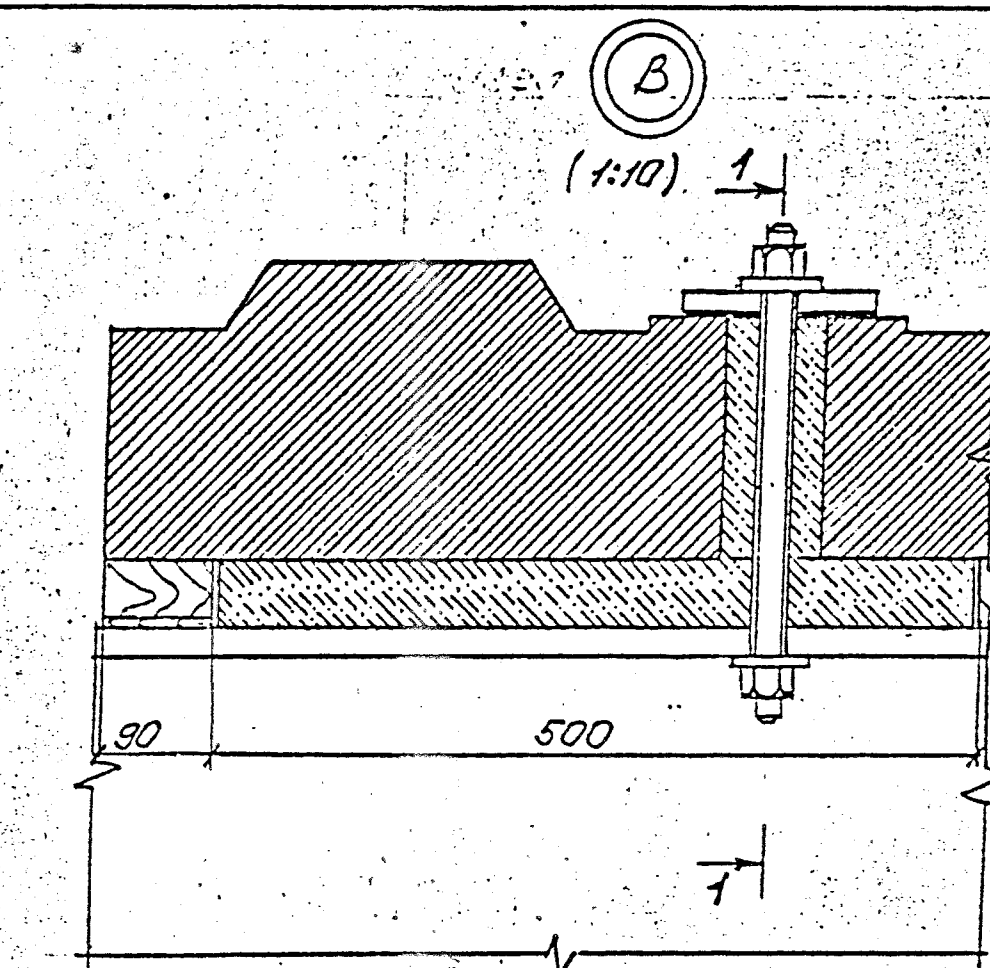
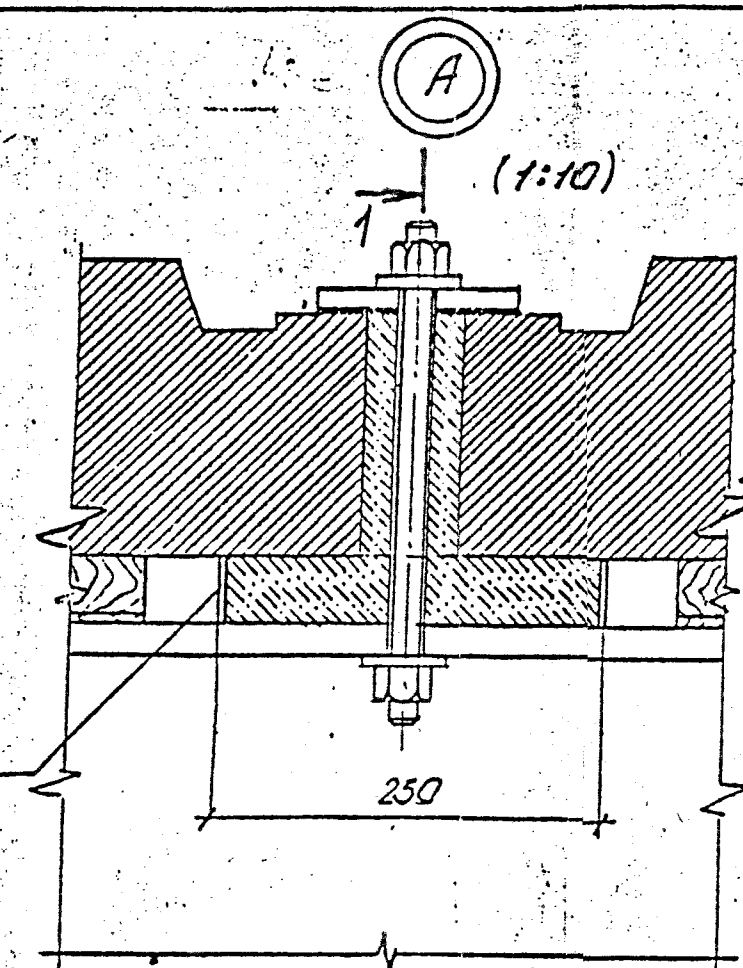


Схема расположения опор под плитами\* (скрепления не показаны)

ПН1-180; ПН2-180;

П1-180; П2-180.

ПН3-180; ПН4-180;

П3-180; П4-180.

04.50.к; 04.50.к-1

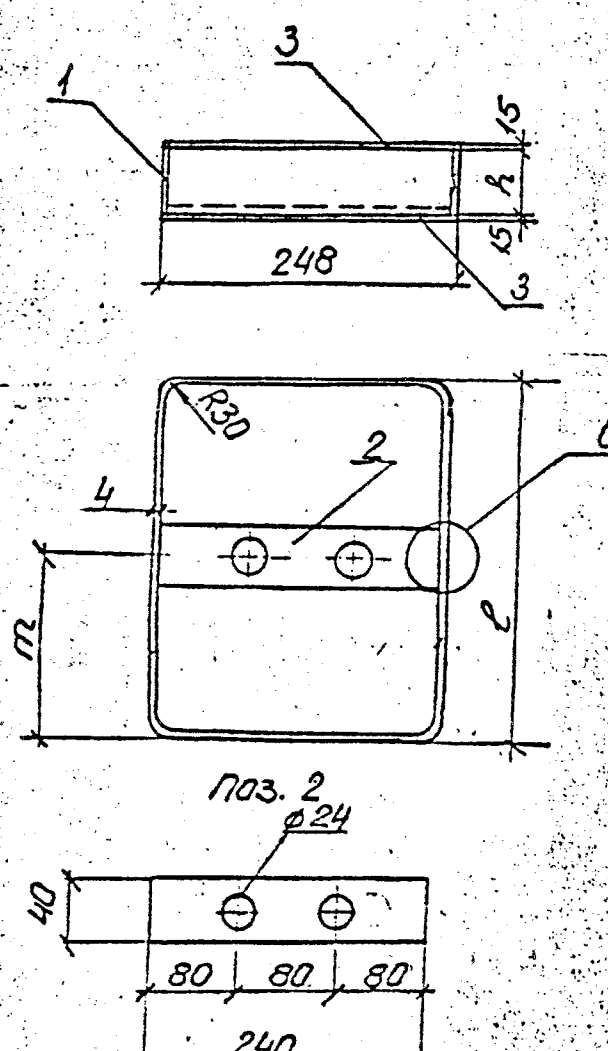
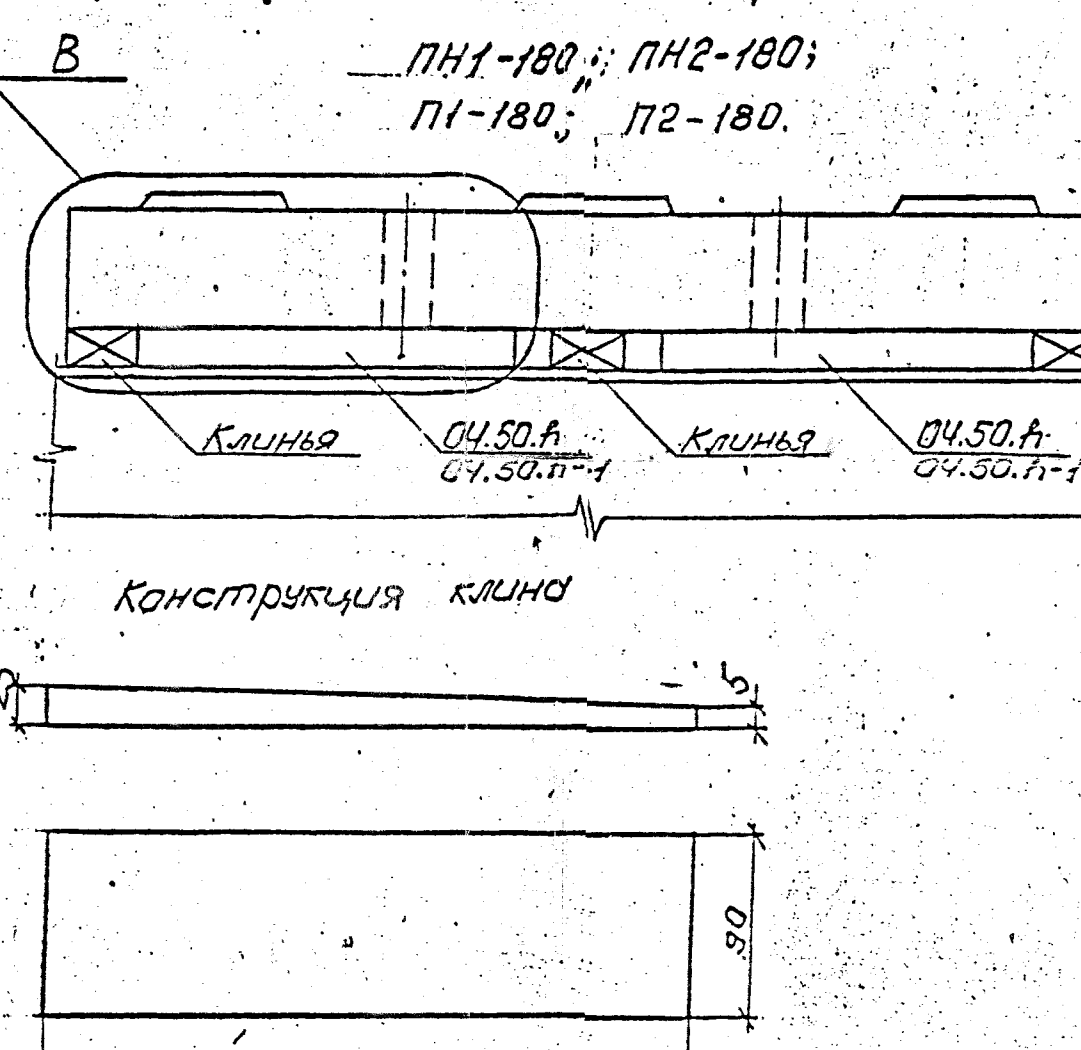


Таблица 1

| Марка     | Размеры, мм |     |    | Объем<br>заполнения<br>бетоном<br>м <sup>3</sup> |
|-----------|-------------|-----|----|--------------------------------------------------|
|           | в           | т   | h  |                                                  |
| 04.25.3   |             |     | 30 | 1,19 0,0026                                      |
| 04.25.4   |             |     | 40 | 1,50 0,0032                                      |
| 04.25.5   | 250         | 125 | 50 | 1,80 0,0038                                      |
| 04.25.6   |             |     | 60 | 2,07 0,0044                                      |
| 04.25.7   |             |     | 70 | 2,37 0,0049                                      |
| 04.50.3   |             |     | 30 | 1,66 0,0053                                      |
| 04.50.4-1 |             |     | 40 | 2,11 0,0063                                      |
| 04.50.5   | 500         | 355 | 50 | 2,56 0,0071                                      |
| 04.50.6   |             |     | 60 | 3,01 0,0080                                      |
| 04.50.7   |             |     | 70 | 3,47 0,010                                       |
| 04.50.3-1 |             |     | 30 | 1,66 0,0053                                      |
| 04.50.4-1 |             |     | 40 | 2,11 0,0063                                      |
| 04.50.5-1 | 500         | 405 | 50 | 2,55 0,0071                                      |
| 04.50.6-1 |             |     | 60 | 3,01 0,0080                                      |
| 04.50.7-1 |             |     | 70 | 3,47 0,010                                       |



Конструкция клина

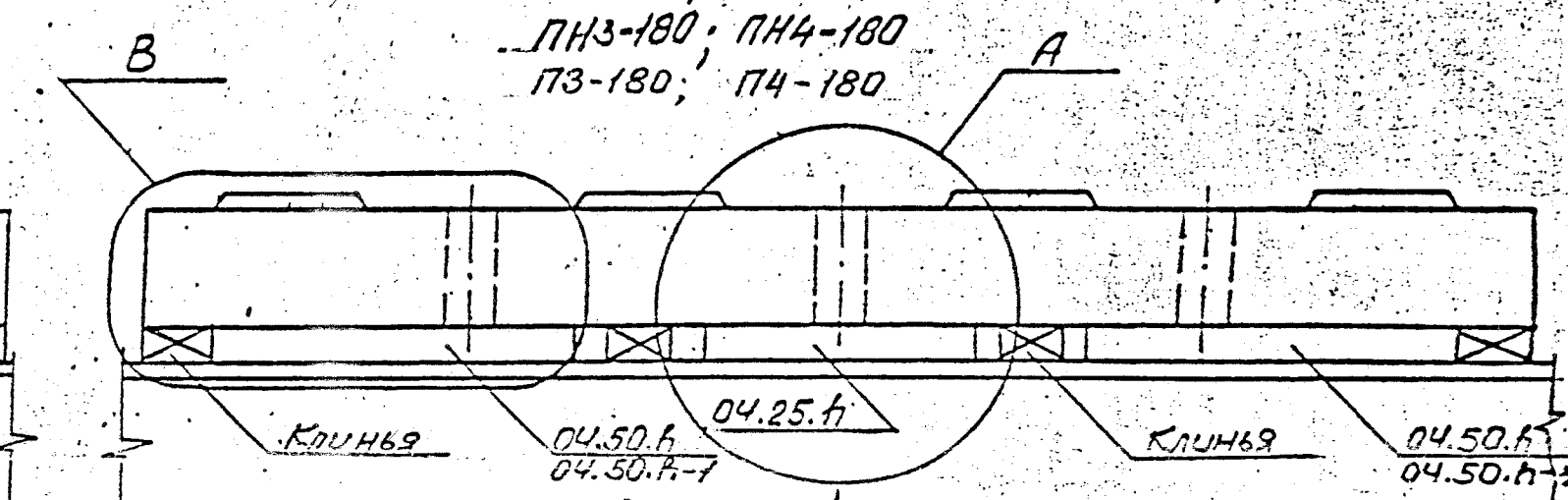


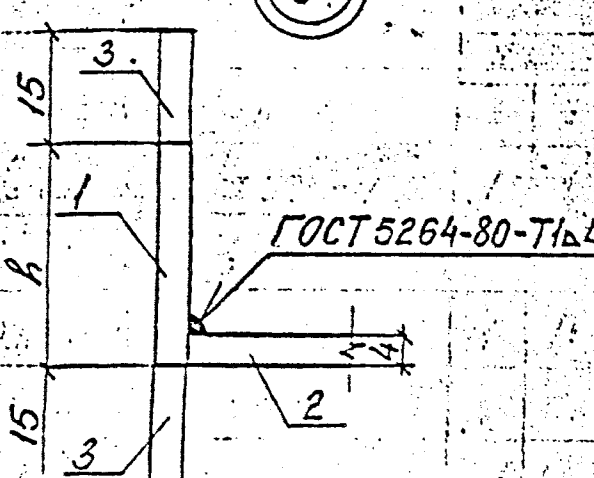
Таблица 3

| Марка плиты* | Опорная часть |          |
|--------------|---------------|----------|
|              | Марка         | Кол. шт. |
| ПН1-180      | П1-180        | 4        |
|              | КЛИН          | 12       |
| ПН2-180      | П2-180        | 4        |
|              | КЛИН          | 12       |
| ПН3-180      | П3-180        | 4        |
|              | КЛИН          | 16       |
| ПН4-180      | П4-180        | 4        |
|              | КЛИН          | 16       |

\* для право  
ных строек  
с расстоянием  
между продол  
ными блоками  
190-240 см ко  
личество опор  
и схема распо  
ложения аналоги  
чески

Спецификация элементов опор. Таблица 2

| Марка<br>опорной<br>части | Поз. | Наименование                                         | Кол.<br>шт. | Масса<br>шт.,<br>кг. |
|---------------------------|------|------------------------------------------------------|-------------|----------------------|
| 04.25.3                   | 1    | Полоса 64х30 ГОСТ 103-76 L=940<br>ст3сп ГОСТ 535-88  | 1           | 0,92                 |
|                           | 2    | Полоса 64х40 ГОСТ 103-76 L=240<br>ст3сп ГОСТ 535-88  | 1           | 0,27                 |
|                           | 3    | Ленополиуретановая накладка<br>15x8x940              | 2           | -                    |
| 04.50.3                   | 1    | Полоса 64х30 ГОСТ 103-76<br>ст3сп ГОСТ 535-88 L=1440 | 1           | 1,40                 |
|                           | 2    | Полоса 64х40 ГОСТ 103-76<br>ст3сп ГОСТ 535-88 L=240  | 1           | 0,27                 |
|                           | 3    | Ленополиуретановая накладка<br>15x8x1440             | 2           | -                    |



ГОСТ 5264-80-ТБ4

1. Технология устройства безбалластного мостового полотна приведена в пояснительной записке
2. При неполном заполнении обоймы бетоном она извлекается, производится очистка ее и отверстия в пиле, очищенная обойма устанавливается в проектное положение и заново заполняется бетоном.
3. Объем заполнения опоры монолитным бетоном приведен при высоте опоры равной  $h + 15\text{ mm}$

4. Спецификация местного скреплений приведена на листах 07; 08; 09; 10; 11, конструкция шпильки и шайбы приведена на листе 12

Столбчатая  
плита  
ГОСТ 1070  
Министерство  
штампований № 2/30

| Узлы опирания плиты                                           | Стадия | Лист | Листов |
|---------------------------------------------------------------|--------|------|--------|
| Опоры из металлических обойм с заполнением монолитным бетоном | D      | 1    |        |
|                                                               |        |      |        |
|                                                               |        |      |        |

897.0-13

| Площадь пролетного строения<br>вн. м <sup>2</sup> | Бетон в 40, м <sup>3</sup> | Листы для умеренных и сухих условий   |              |              |                     |              |              | Листы для особо сухих условий |                 | Судорожник, м <sup>2</sup> | Вспомогательное оборудование, л.м | Методы скрепления |           |                         | Древесно-резиновые опоры * |                          | Опоры из металлических обойм с бетонным заполнением |                                |                                           |                                              |      |  |
|---------------------------------------------------|----------------------------|---------------------------------------|--------------|--------------|---------------------|--------------|--------------|-------------------------------|-----------------|----------------------------|-----------------------------------|-------------------|-----------|-------------------------|----------------------------|--------------------------|-----------------------------------------------------|--------------------------------|-------------------------------------------|----------------------------------------------|------|--|
|                                                   |                            | предварительнонапряженный железобетон |              |              | обычный железобетон |              |              | обычный железобетон           |                 |                            |                                   |                   |           |                         |                            |                          |                                                     |                                |                                           |                                              |      |  |
|                                                   |                            | Армоподкладка, т                      |              |              |                     |              |              |                               |                 |                            |                                   |                   |           |                         |                            |                          |                                                     |                                |                                           |                                              |      |  |
|                                                   |                            | ГОСТ 7348-81                          | ГОСТ 5781-82 | ГОСТ 5781-82 | ГОСТ 5781-82        | ГОСТ 5781-82 | ГОСТ 5781-82 | Шайбы 200x10x20               | Шайбы прокладки |                            |                                   | Шайбы, кг         | Доска, кг | Резиновая подстилка, кг | Доска, кг                  | Металлические обоймы, кг | Объем заполнения монол. бетоном, м <sup>3</sup>     | Береговой киль, м <sup>3</sup> | Лечапацуритонова накладка, м <sup>3</sup> | Заполнение отверстий бетоном, м <sup>3</sup> |      |  |
|                                                   |                            | Bр                                    | A-I          | A-II         | A-I                 | A-II         | A-I          | A-II                          | л.м             |                            |                                   |                   |           |                         |                            |                          |                                                     |                                |                                           |                                              |      |  |
| 48,8                                              | 9,7                        | 0,67                                  | 0,55         | 1,54         | 0,56                | 2,06         | 0,56         | 2,06                          | 65,8            | 35,2                       | 61,6                              | 190,4<br>2,2      | 11,2      | 12,3                    | 169,6                      | 0,28                     | 89,2                                                | 0,28                           | 0,11                                      | 0,018                                        | 0,08 |  |
| 23,6                                              | 12,2                       | 0,84                                  | 0,68         | 1,92         | 0,71                | 2,58         | 0,71         | 2,58                          | 82,6            | 44,6                       | 79,2                              | 244,8<br>2,9      | 14,4      | 15,8                    | 213,2                      | 0,35                     | 112,0                                               | 0,34                           | 0,14                                      | 0,023                                        | 0,10 |  |
| 27,6                                              | 14,2                       | 0,98                                  | 0,79         | 2,26         | 0,81                | 3,05         | 0,81         | 3,05                          | 96,6            | 48,0                       | 90,2                              | 278,8<br>3,3      | 16,4      | 18,0                    | 250,0                      | 0,41                     | 127,7                                               | 0,39                           | 0,15                                      | 0,026                                        | 0,11 |  |
| 33,79                                             | 17,4                       | 0,53                                  | 0,97         | 1,95         | 0,97                | 3,76         | 0,97         | 3,76                          | 117,9           | 54,4                       | 110,0                             | 340,0<br>4,0      | 20,0      | 22,0                    | 304,8                      | 0,50                     | 152,8                                               | 0,45                           | 0,18                                      | 0,031                                        | 0,14 |  |
| 34,2                                              | 17,6                       | 1,20                                  | 0,98         | 2,73         | 1,02                | 3,71         | 1,02         | 3,71                          | 119,4           | 54,4                       | 118,8                             | 367,2<br>4,3      | 21,6      | 23,8                    | 309,6                      | 0,53                     | 162,4                                               | 0,48                           | 0,19                                      | 0,033                                        | 0,15 |  |
| 34,59                                             | 17,8                       | 0,54                                  | 1,00         | 2,00         | 1,00                | 3,86         | 1,00         | 3,86                          | 120,7           | 50,8                       | 110,0                             | 340,0<br>4,0      | 20,0      | 22,0                    | 312,0                      | 0,52                     | 156,6                                               | 0,48                           | 0,19                                      | 0,032                                        | 0,14 |  |
| 44,79                                             | 23,1                       | 0,70                                  | 1,29         | 2,58         | 1,29                | 5,00         | 1,29         | 5,00                          | 156,3           | 73,6                       | 145,2                             | 448,8<br>5,3      | 26,4      | 29,0                    | 404,0                      | 0,67                     | 202,2                                               | 0,60                           | 0,24                                      | 0,041                                        | 0,18 |  |
| 45,02                                             | 23,3                       | 0,71                                  | 1,31         | 2,62         | 1,31                | 5,03         | 1,31         | 5,03                          | 157,1           | 73,6                       | 145,2                             | 448,8<br>5,3      | 26,4      | 29,0                    | 405,6                      | 0,67                     | 202,2                                               | 0,60                           | 0,24                                      | 0,041                                        | 0,18 |  |
| 45,59                                             | 23,5                       | 0,72                                  | 1,32         | 2,63         | 1,32                | 5,10         | 1,32         | 5,10                          | 159,1           | 80,0                       | 145,2                             | 448,8<br>5,3      | 26,4      | 29,0                    | 411,2                      | 0,68                     | 206,0                                               | 0,62                           | 0,25                                      | 0,042                                        | 0,18 |  |
| 55,79                                             | 28,7                       | 0,87                                  | 1,60         | 3,21         | 1,60                | 6,23         | 1,60         | 6,23                          | 194,7           | 92,8                       | 180,4                             | 557,5<br>6,6      | 32,8      | 36,1                    | 503,2                      | 0,83                     | 251,6                                               | 0,75                           | 0,30                                      | 0,051                                        | 0,23 |  |
| 56,02                                             | 28,9                       | 0,88                                  | 1,63         | 3,25         | 1,63                | 6,26         | 1,63         | 6,26                          | 195,5           | 92,8                       | 180,4                             | 557,5<br>6,6      | 32,8      | 36,1                    | 504,8                      | 0,84                     | 251,6                                               | 0,75                           | 0,30                                      | 0,051                                        | 0,23 |  |
| 66,96                                             | 34,3                       | 1,07                                  | 1,96         | 3,88         | 1,93                | 7,37         | 1,96         | 7,37                          | 233,7           | 124,8                      | 215,6                             | 666,4<br>7,8      | 39,2      | 43,1                    | 599,6                      | 0,99                     | 308,4                                               | 0,94                           | 0,37                                      | 0,063                                        | 0,27 |  |
| 67,02                                             | 34,6                       | 1,05                                  | 1,95         | 3,88         | 1,94                | 7,49         | 1,94         | 7,49                          | 233,9           | 112,0                      | 215,6                             | 666,4<br>7,8      | 39,2      | 43,1                    | 604,0                      | 1,00                     | 300,9                                               | 0,90                           | 0,36                                      | 0,061                                        | 0,27 |  |
| 77,96                                             | 39,9                       | 1,24                                  | 2,28         | 4,52         | 2,23                | 8,60         | 2,28         | 8,60                          | 272,1           | 144,0                      | 250,8                             | 775,2<br>9,1      | 45,6      | 50,2                    | 698,8                      | 1,16                     | 357,8                                               | 1,09                           | 0,43                                      | 0,074                                        | 0,43 |  |
| 88,66                                             | 45,5                       | 1,38                                  | 2,56         | 5,11         | 2,57                | 9,80         | 2,57         | 9,80                          | 309,4           | 150,4                      | 290,4                             | 897,6<br>10,6     | 52,8      | 58,1                    | 797,6                      | 1,32                     | 404,4                                               | 1,20                           | 0,49                                      | 0,083                                        | 0,37 |  |
| 89,10                                             | 45,8                       | 1,39                                  | 2,57         | 5,13         | 2,57                | 9,89         | 2,57         | 9,89                          | 311,0           | 150,4                      | 290,4                             | 897,6<br>10,6     | 52,8      | 58,1                    | 803,2                      | 1,33                     | 404,4                                               | 1,20                           | 0,49                                      | 0,083                                        | 0,37 |  |
| 89,14                                             | 45,8                       | 1,39                                  | 2,57         | 5,13         | 2,57                | 9,89         | 2,57         | 9,89                          | 311,1           | 150,4                      | 290,4                             | 897,6<br>10,6     | 52,8      | 58,1                    | 803,2                      | 1,33                     | 404,4                                               | 1,20                           | 0,49                                      | 0,083                                        | 0,37 |  |
| 110,66                                            | 56,8                       | 1,72                                  | 3,20         | 6,37         | 3,23                | 12,26        | 3,20         | 12,26                         | 386,2           | 188,8                      | 360,8                             | 1115,2<br>13,1    | 65,6      | 72,2                    | 996,0                      | 1,65                     | 503,1                                               | 1,50                           | 0,60                                      | 0,103                                        | 0,46 |  |
| 111,10                                            | 57,1                       | 1,73                                  | 3,20         | 6,40         | 3,20                | 12,35        | 3,20         | 12,35                         | 387,7           | 188,8                      | 360,8                             | 1115,2<br>13,1    | 65,6      | 72,2                    | 1001,6                     | 1,66                     | 503,1                                               | 1,50                           | 0,60                                      | 0,103                                        | 0,46 |  |
| 111,14                                            | 57,1                       | 1,73                                  | 3,20         | 6,40         | 3,20                | 12,35        | 3,20         | 12,35                         | 387,9           | 188,8                      | 360,8                             | 1115,2<br>13,1    | 65,6      | 72,2                    | 1001,6                     | 1,66                     | 503,1                                               | 1,50                           | 0,60                                      | 0,103                                        | 0,46 |  |

\* Осьмые отверстия плиты заполняются тиксотовой

массой. Объем заполнения принимается как 819

отпор из металлических обойм.

- На листе приведен расход материалов (без учета веса рельсов и скреплений к ним) на сооружение бесбалластного мостового полотна из железобетонных плит на металлических пролетных строениях железнодорожных мостов по типовой документации серии 3.501.2-189; 3.501-103 и ИНФ. N 821-ИИ.
- Расход материалов приведен при высоте опор, равной 30 мм.

3. Конструкция опор и крепежных элементов приведена на листах 12 и 13.

4. Расслоека плиты приведена на листах 07, 08, 09, 10, 11.

1. КОНСТРУКТОРСТВО  
ИСПОЛНИТЕЛЬСТВО  
Проект № 4070-19 г.  
Исполнитель № 2/31

| Стадия            | Лист | Листов |
|-------------------|------|--------|
| Проект            | 1    | 1      |
| Исполнитель       | 1    | 1      |
| Ленгипротрансмост |      |        |

897,0-14

Ведомость расхода материалов на мостовое полотно